



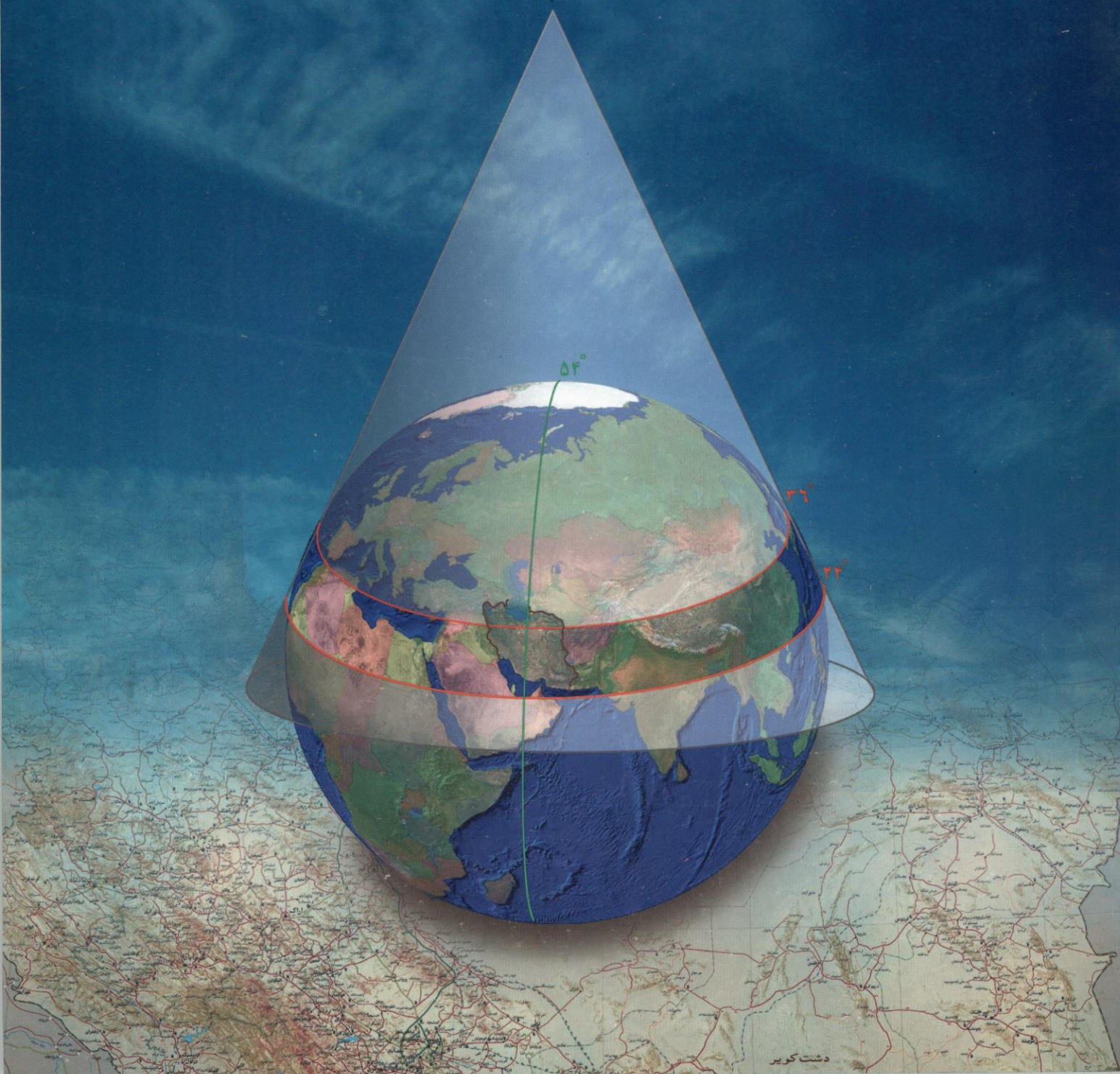
نقشه برداری

ماهنشامه علمی و فنی سازمان نقشه برداری کشور

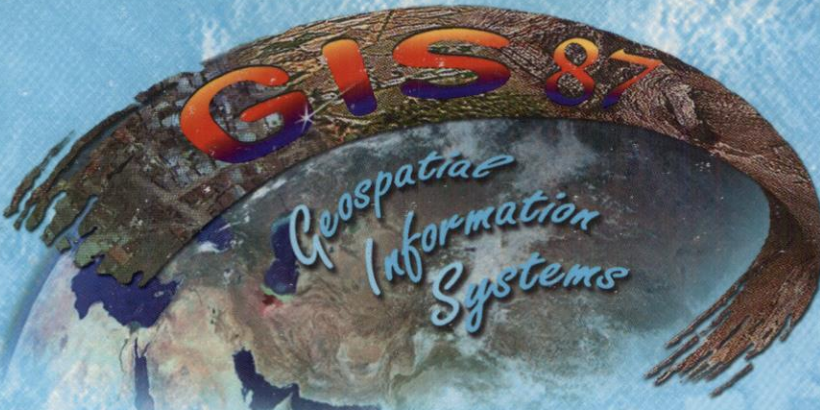
سال نوزدهم، شماره ۱۴ (پیاپی ۹۶) شهریور ماه ۱۳۸۷ شماره استاندارد بین‌المللی ۵۲۵۹ - ۱۰۴۹

۹۶

- ارزیابی تناسب کاربری آمین شهری (تصمیم‌گیری مکانی - گروهی بر مبنای GIS)
- سیستم‌های تصویر مورد استفاده در نقشه‌ها و اطلاعات مکانی کشور
- تصمیم‌گیری اثر ذرات محلق جوی در تصاویر ماهواره‌ای



دشت کویر



فرخوان ارسال مقاله و ثبت نام

همایش اطلاعات مکانی ۸۷ سماهنه های ۱۳۸۷ آذر ماه

برگزار کنندگان: سازمان نقشه برداری کشور، استانداری قزوین، دانشگاه آزاد اسلامی واحد قزوین

با سپاس و استعانت از خداوند متعال که توفيق برگزاری همایش و نمایشگاه تخصصی را عنایت فرموده، بدینوسیله به اطلاع میرساند پنجمین همایش سامانه اطلاعات مکانی (GIS87) در تاریخ چهارم آذر ماه سال ۱۳۸۷ برگزار می گردد. از تمامی استادان، پژوهشگران، کارشناسان و دانشجویان محترم شاخه های مختلف مرتبط دعوت می شود مقالات کامل خود را به صورت الکترونیکی، حول محورهای مورد بحث به دبیرخانه همایش ارسال دارند.

محل برگزاری همایش:

قزوین، بلوار نخبگان، دانشگاه آزاد اسلامی واحد قزوین

محورهای مورد بحث همایش:

- سامانه های اطلاعات مکانی در اینترنت
- خدمات مکان مبنا
- کاداستر و سامانه اطلاعات مکانی زمین (LIS)
- کاربردهای GIS در مدیریت بحران، مدیریت شهری، محیط زیست، آمایش سرزمین، مدیریت منابع آب و ...
- تازه های فناوری GIS
- زیرساخت داده های مکانی (SDI)
- نرم افزارهای GIS
- سامانه های اطلاعات مکانی تعامل پذیر (Interoperable GIS)

نحوه نگارش و ارسال مقالات:

مقالات کامل می بایست مطابق با فرم درج شده در راهنمای فرم ارسال مقاله (موجود در سایت همایش) بصورت الکترونیکی به دبیرخانه همایش ارسال گردد.

توجه: مقالات می تواند به زبان فارسی یا انگلیسی ارایه گردد. لطفاً "از ارسال چکیده مقاله خودداری فرمائید. ضمناً عین مقاله فرستاده شده در صورت پذیرش جهت ارایه شفاهی یا پوستر، در CD مجموعه مقالات درج می گردد لذا به نبود اشکالات املایی و فنی دقت کافی مبذول گردد.

زمان بندی برگزاری همایش:

- آخرین مهلت ارسال مقالات کامل فقط از طریق سایت: ۱۳۸۷/۸/۱
- اعلام نتایج پذیرش مقالات از طریق سایت: ۱۳۸۷/۸/۱۸
- آخرین مهلت ثبت نام شرکت در همایش فقط از طریق سایت: ۱۳۸۷/۸/۲۲
- تاریخ برگزاری همایش: ۱۳۸۷/۹/۴
- تاریخ برگزاری نمایشگاه: ۱۳۸۷/۹/۴ الی ۱۳۸۷/۹/۶

ثبت نام همایش:

از متقاضیان شرکت بدون ارائه مقاله در همایش، درخواست می شود فرم ثبت نام موجود در سایت همایش را تکمیل نموده و اصل یا کپی فیش بانکی به حساب جاری شماره ۹۰۰۵۵ ، بانک ملی ایران، شعبه نقشه برداری (کد ۷۰۷)، به نام سازمان نقشه برداری کشور، دبیرخانه همایش GIS87 ، به مبلغ ۲۰۰,۰۰۰ ریال (دویست هزار ریال) بابت ثبت نام شرکت در همایش را نیز حداکثر تا پایان ۱۳۸۷/۸/۲۲ به دبیرخانه همایش ارسال یا تحويل نمایند.(ارسال می تواند از طریق پست و یا دورنگار انجام پذیرد).

- دانشجویان (با ارسال تصویر کارت دانشجویی) از ۵٪ تخفیف برخوردار خواهند بود.
هزینه فوق شامل هزینه ثبت نام و شرکت در همایش، پذیرایی، ناهار همایش، مدارک مربوط به همایش و CD مقالات می باشد.(سایر هزینه های مربوط به ایاب و ذهاب به قزوین و هزینه های اقامت در شهر قزوین، در صورت نیاز، به عهده می باشد).
هزینه های اقامت در شهر قزوین، در صورت نیاز، به عهده می باشد. (دانشجویان می توانند از طریق پست و یا دورنگار انجام پذیرد).

دبیرخانه همایش: تهران : میدان آزادی، خیابان معراج، سازمان نقشه برداری کشور، اداره کل GIS، صندوق پستی ۱۶۸۴ - ۱۳۱۸۵
تلفن: ۰۷۰-۶۶۰۷۱۰۷۲، دورنگار: ۰۰-۶۶۰۷۱۰۰۰

سایت همایش: www.GIS87.com

پست الکترونیکی: GIS87@ncc.org.ir

نقشه‌برداری

شماره استاندارد بین‌المللی: ۰۲۹-۵۲۵۹

ISSN: 1029-5259

Volume 19 Number 96

September 2008

ماه‌نامه علمی - فنی

سال نوزدهم (۱۳۸۷) شماره ۴ (پیاپی ۹۶)

شهریور ماه ۱۳۸۷

صاحب امتیاز: سازمان نقشه‌برداری کشور

اللهم آمين

صفحه آرایی و گرافیک: عباس جهان‌مهر

ویرایش: سپیده زندیه

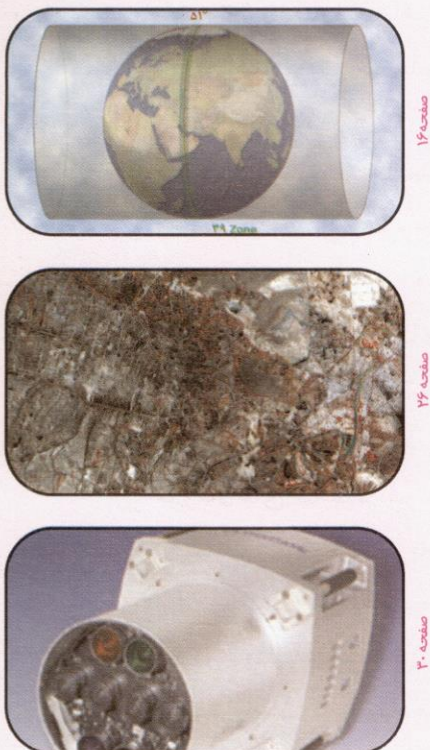
تایپ رایانه‌ای: سکینه حلاج

لیتوگرافی، چاپ و صفحه‌ای: سازمان نقشه‌برداری کشور

فهرست

■ سر مقاله

■ مقالات



نشانی: تهران، میدان آزادی، خیابان معراج،
سازمان نقشه‌برداری کشور

صندوق پستی: ۱۶۸۴-۱۳۱۸۵

تلفن اشتراک: ۰۱۰-۰۱۰-۶۶۰۷۱۰۰ (داخلی ۴۴۵)

دورنگار: ۰۱۰-۷۱۰۰

پست الکترونیکی: magazine@ncc.org.ir

نشانی اینترنتی: www.ncc.org.ir

■ مدیر مسئول:

دکری یحیی جمورو

سردیبر: مهندس سید بهداد غضنفری

هیئت تحریریه:

دکتر یحیی جمورو، مهندس سید بهداد غضنفری،
مهندس محمد سرپولکی، مهندس حمید رضا نانکلی،
دکتر غلامرضا فلاحتی، دکتر سعید صادقیان،
مهندوس مرتضی صدیقی، مهندس بهمن تاج فیروز،
مهندوس محمد حسن خدام محمدی، مهندس فرهاد
کیانی فر، دکتر علیرضا قراگوزلو، دکتر فرش توکلی،
دکتر علی سلطان پور، مهندس باک شمعی

همکاران این شماره:

اسماعیل عدیلی، عباس علیمحمدی،
محمد طالعی، محمد سرپولکی، باک شمعی،
علی غفرنی، علیرضا سالکنیا، علی اسلامی‌زاد،
سوسن حیدری جم، عباس جهان‌مهر، علیرضا طیار،
رضاحمدیه

اجرا: مدیریت پژوهش و برنامه‌ریزی

■ گزارش‌های فنی و خبری

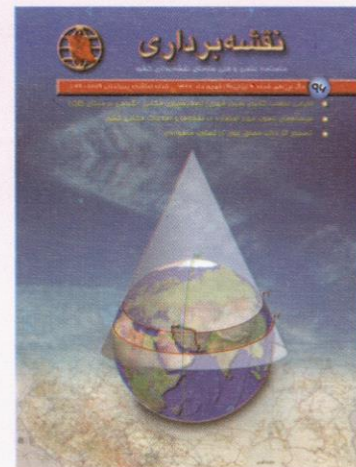
گزارش برگزاری بیست و یکمین کنفرانس
انجمن بین‌المللی فتوگرامتری و سنجش از
دور (ISPRS)

آشکارسازی سازه‌های شبه ثابت ایستگاه
رباتیک هوشمند (توتال استیشن خودکار)
(RTS Smart)

■ اخبار و تازه‌های فناوری

■ معرفی کتاب
■ سمینارها و گردهمایی‌ها

شرح روی جلد: زمین در سیستم تصویر لامبرت ایران



طراحی جلد: عباس جهان‌مهر

سرمقاله

در ادامه مباحث قبلی مربوط به جهانی شدن و نقش ما در عرصه علوم ژئوماتیک این واقعیت وجود دارد که مطالعه بنیادهای تاریخی و نظری جهانی شدن، به درک عمیق تر و شناخت دقیق تر این پدیده کمک می‌کند. لذا در «ما و جهانی شدن»، ریشه‌های تاریخی و نیروهای محرکه و پیش‌برنده این پدیده در زمینه‌هایی مختلف می‌بایست مورد بررسی قرار گیرد. از جمله این زمینه‌ها میتوان به موارد زیر اشاره کرد:

- پیشرفت فناوری ارتباطات و اطلاعات (ICT)،
- مشارکتهای بین‌المللی و ایجاد نهادهای فراملی،
- توسعه شرکت‌های چند ملیتی و تحول در مبادلات تجاری - مالی در بعد اقتصادی،
- پیشرفت کاوش‌های فضایی،
- توسعه فناوری ماهواره‌ای و وسایل ارتباط جمعی،
- از بین رفتن مرزها و تبدیل چالش‌های ملی به بحران‌های فراملی و انتقال مشکلات اجتماعی به ماورای مرزها،

• تغییر ساختار جامعه جهانی و نیاز به راه حل‌های جهانی از نظر جامعه‌شناسی.

اهمیت، گستره همه جانبی و تأثیرات شگرف جهانی شدن در ابعاد مختلف زندگی در دنیای معاصر ایجاب می‌کند که جنبه‌های گوناگون آن مطالعه و موشکافی شود. برای مثال، در جهانی شدن علم و پژوهش نقش دانشگاهها و تعامل بین آنها در کشورهای مختلف، ارتباطات بین‌الملل در توسعه و ترویج پژوهش و تولید علم، تأثیر پیشرفتهای علمی کشورها در رفاه و آسایش و امنیت جامعه جهانی می‌بایست مورد بررسی قرار گیرد. در جهانی شدن اقتصادی، نقش شرکت‌های چند ملیتی و سایر نهادها و سازمان‌های تصمیم گیرنده امور اقتصادی ارزیابی می‌شود. و باز هم به عنوان مثال در جهانی شدن اجتماعی - فرهنگی، درباره نقش گسترش فناوری اطلاعات، وسایل ارتباط جمعی و ارتباط رایانه‌ای در انتقال و تثبیت فرهنگها بحث می‌شود.

در «ما و جهانی شدن» جهانی شدن پدیده‌ای ریشه‌دار، پیچیده، مرکب، پویا و دارای اصالت عینی و ملموس است که با ابعاد مختلف همراه بوده و تأثیر تکوینی و تکاملی در زندگی بشر در دنیای امروز دارد. از طرف دیگر، پدیده جهانی شدن، مؤلفه‌های مختلفی دارد که ارتباط ساختاری با هم دارند و شناخت و تفکیک این مؤلفه‌ها، امری ضروری در ایجاد و حفظ یک تعامل مثبت و سازنده است. لذا باید آثار و عوارض هر یک از ابعاد مثبت و منفی جهانی شدن ارزیابی شود و در اتخاذ سیاست‌های راهبردی در علوم ژئوماتیک هماهنگ با توان نیروهای بالقوه و بالفعل مورد استفاده قرار گیرد.

ارزیابی تناسب کاربری زمین شهری: (تصمیم سازی مکانی-گروهی بر مبنای GIS)

نویسنده‌گان:

دانشجوی کارشناسی ارشد GIS دانشکده مهندسی نقشه‌برداری، دانشگاه صنعتی خواجه نصیرالدین طوسی
adiliges@yahoo.com

مهندس اسماعیل عدیلی

استادیار دانشکده مهندسی نقشه‌برداری، دانشگاه صنعتی خواجه نصیرالدین طوسی
alimohabb@yahoo.com

دکتر عباس علیمحمدی

استادیار دانشکده مهندسی نقشه‌برداری، دانشگاه صنعتی خواجه نصیرالدین طوسی
taleai@kntu.ac.ir

دکتر محمد طالعی

۱. مقدمه

ارزیابی تناسب کاربری زمین فرایند تعیین قابلیت یک قطعه زمین مشخص برای تخصیص یک کاربری معین است. این فرایند بیان می‌کند که یک قطعه زمین واقع در یک محدوده ساخته شده شهری تا چه اندازه با نیازمندی‌های یک نوع کاربری خاص مطابقت دارد به نحوی که کاربری اختصاص یافته حداقل کارایی را داشته باشد و نیازمندی‌های شهری را به صورت بهینه تأمین نماید. با در نظر گرفتن نوع و پیچیدگی ذاتی فعالیت‌های برنامه‌ریزی شهری و در شرایطی که ذینفع‌ها و فاکتورهای مختلفی در این فرایند تأثیرگذارند، به کارگیری همزمان برخی ابزارهای پشتیبان تصمیم نظری GIS و فن‌آوری‌های تصمیم‌گیری چند معیاره (MCDM)^۳ در فرایند برنامه‌ریزی برای مدل‌سازی و حل مسائل پیچیده می‌تواند راهگشا باشد^[۸]. به علاوه در برنامه‌ریزی شهری سنتی کنونی در کشور غالباً تنها یک کاربری بدون رقابت با کاربری‌های دیگر به یک موقعیت (زمین) اختصاص می‌یابد. این روش برنامه‌ریزی به صورت استاتیک

چکیده

ارزیابی تناسب کاربری اراضی شهری به منظور تخصیص هر کاربری به مناسب‌ترین زمین و با هدف برآورد بیشترین کارایی کاربری تخصیص یافته در ارائه خدمات به شهروندان و دیگر کاربری‌ها و فعالیت‌های شهری، انجام می‌شود. این پروسه به علت تأثیرگذاری ووابستگی شدید کاربری‌های مختلف شهری بر یکدیگر، و همچنین بر فعالیت‌های روزمره شهری، فرآیند پیچیده‌ای به شمار می‌رود. و تأثیرگذاری ذینفع‌ها و عامل‌های متعدد در فعالیت کاربری‌های شهری بر پیچیدگی مسئله می‌افزاید. چنین پیچیدگی استفاده همزمان از ابزارهای مختلف پشتیبانی تصمیم‌گیری نظری سیستم‌های اطلاعات جغرافیایی (GIS) و تحلیل‌های تصمیم چند معیاره (MCA) را ایجاد می‌نماید. از طرفی ماهیت گروهی فعالیت‌های شهری و عدم قطعیت ذاتی موجود در اولویت‌ها و عقاید تصمیم‌سازان و لزوم به کارگیری اولویت‌ها و عقاید ذینفع‌ها و تصمیم‌سازان مختلف در این فرایند به کارگیری فن‌آوری‌های تصمیم‌سازی مکانی-گروهی و استفاده از فن‌آوری‌های ارزیابی نظری Fuzzy AHP را ضروری می‌کند. در این تحقیق یک مدل ارزیابی تناسب کاربری زمین (Land Suitability Analysis) طراحی شده و کارایی آن برای تخصیص کاربری‌های مورد نیاز بر مبنای تناسب محاسبه شده برای هر قطعه زمین در بخشی از شهر اصفهان مورد ارزیابی قرار گرفته است.

واژگان کلیدی:

Fuzzy AHP ,Geographic Information Systems , Group Decision Making ,Multi- Criteria Analysis, Urban Land Use Suitability Analysis.

ارزیابی تناسب کاربری زمین در کشورهای غربی از سال ۱۹۵۰ و در کشورهای در حال توسعه اخیراً به طور گسترده در فرایند برنامه‌ریزی شهری مورد استفاده قرار گرفته است. طی بیست سال اخیر، فن آوری‌های تعیین تناسب زمین بر مبنای GIS به طور فزاینده‌ای در برنامه‌ریزی کاربری زمین شهری و منطقه‌ای مورد استفاده قرار می‌گیرند^[۲]. متاسفانه در ایران فن آوری‌های GIS و MCDM نقش ناچیزی در فرایند برنامه‌ریزی شهری دارند در حالی که این روش‌ها ارائه کننده ابزار سودمندی برای مدل‌سازی مسائل و مشکلات پیچیده شهری می‌باشند. در کشور ما از قابلیت GIS اغلب در مکانیابی تک کاربری نظری مدرسه، پارکینگ، پارک، مراکز تجاری، ایستگاه آتش‌نشانی و نظری آن استفاده شده است.

ارزیابی تناسب کاربری زمین در برگیرنده ترکیب دانش کارشناسان در سطوح مختلف تصمیم‌سازی است. نظریات کارشناسان همیشه نمی‌تواند قطعی باشد و عدم قطعیت و عدم دقیقت موجود در دانش کارشناسان را می‌توان توسط منطق فازی نشان داد. پژوهشگران زیادی منطق فازی را برای نشان دادن عدم قطعیت داده‌ها به کار برده‌اند اما عدم قطعیت مرتبط با دانش کارشناسان کمتر از حد لازم مورد توجه قرار گرفته است^{(۱)، (۲)}.

با توجه به نوافض شیوه‌های سنتی و مرسوم تخصیص کاربری‌های شهری و به منظور توسعه روشی با توجیه و مبانی علمی و رفع کاستی‌های روش‌های موجود در این تحقیق با به کارگیری همزمان قابلیت‌های GIS، تصمیم‌سازی گروهی و تحلیل چندمعیاره، مدلی برای ارزیابی تناسب کاربری زمین شهری توسعه داده شده است. پس از شناسایی زمین‌های خالی و مستعد پذیرش کاربری واقع در محدوده ساخته شده شهری و همچنین کاربری‌های شهری مورد نیاز آن محدوده با طراحی و به کارگیری مدل ارزیابی تناسب، زمین‌ها بر مبنای درجه تناسب برای کاربری‌های مختلف اولویت‌بندی می‌شوند. در مراحل مختلف اجرای مدل نظریات و عقاید کارشناسان و ذینفع‌های مختلف گردآوری، پالایش، تلفیق و در تخصیص کاربری‌ها به مناسب‌ترین موقعیت (زمین) مورد استفاده قرار می‌گیرد. همچنین منطق فازی برای سنجش عدم قطعیت و عدم دقیقت ذاتی مرتبط با عقاید و اولویت‌های کارشناسان به کارگرفته می‌شود.

انجام می‌شود و کاربری‌های مختلف برای تخصیص به یک موقعیت خاص اولویت بندی نمی‌شوند. اغلب فعالیت‌های شهری ماهیت گروهی دارند و حل آنها نیازمند مشارکت افراد با دیدگاه‌ها و سلیقه‌های گوناگون است. در حال حاضر فعالیت‌های مرتبط با برنامه‌ریزی شهری معمولاً توسط طراحان با علایق و عقاید خاص به صورت انفرادی و بدون مشارکت گروهی طراحان و کارشناسان انجام می‌شود در حالی که هر فعالیت برنامه‌ریزی شهری در برگیرنده اولویت‌ها و منافع گوناگون است و تصمیم نهایی معمولاً به اجماع آراء گروهی از تصمیم‌سازان وابسته است. لذا استفاده از نظرها و اولویت‌های گروه‌ها و ذینفع‌های مختلف ذیربسط در حل مسئله، تحلیل‌های تصمیم‌سازی گروهی (GDMA) را می‌طلبد و ملاحظه عدم قطعیت ذاتی موجود در عقاید و اولویت‌های گروه‌های ذینفع و مدل‌سازی آنها نیازمند به کارگیری فن آوری‌های ارزیابی نظری Fuzzy AHP می‌باشد.

امروزه با توسعه کلان شهرها و ارائه خدمات شهری جدید، ارتباط و وابستگی کاربری‌ها با گذشته قابل قیاس نیست و تأثیر عملکرد یک کاربری خاص بر دیگر کاربری‌ها و همچنین بر خدمات و فعالیت‌های شهری به مراتب گسترده‌تر و پیچیده‌تر از گذشته است. در نواحی ساخته شده شهری کاربری‌های متنوع با سطوح عملکرد مختلف (محله، ناحیه و منطقه) وجود دارند که هر یک بخشی از نیازهای شهر وندان را تأمین می‌کنند. در هر صورت با تغییرات فیزیکی - اجتماعی و افزایش جمعیت شهرها، ممکن است کمبودهایی در ارائه خدمات برخی کاربری‌ها وجود داشته باشند. انتخاب موقعیت مناسب برای یک کاربری در داخل نواحی ساخته شده شهری نسبت به نواحی ساخته شده پیرامون شهر پیچیده‌تر است. در این نواحی تعداد زمین‌های کاندید تخصیص برای کاربری‌های مورد نیاز انگشت‌شمار است و این زمین‌ها از بین زمین‌های خالی مستعد پذیرش کاربری و یا دارای قابلیت تغییر کاربری انتخاب می‌شوند. همچنین در این نواحی کاربری‌های مورد نیاز باید به گونه‌ای به قطعه زمین‌های انتخاب شده تخصیص یابند که علاوه بر ارائه حداکثر کارایی، حداقل اثرات منفی / خارجی بر روی عملکرد دیگر کاربری‌های موجود در منطقه را داشته باشند.

دارند. به منظور اجرای عملی مدل تحقیق، نقشه ۱:۲۰۰۰ شهری منطقه مورد مطالعه تهیه و عملیات تبدیل سیستم مختصات و آماده سازی برای استفاده در محیط GIS (GIS Ready) بر روی نقشه اعمال شد. اطلاعات توصیفی مورد نیاز در فرمتهای مختلف از سازمان های ذیر بسط گردآوری و به اطلاعات مکانی متصل شد. پس از آماده سازی نقشه مبنای منطقه، نقشه کاربری وضع موجود منطقه گردآوری و با انجام مطالعات میدانی به روزرسانی شد. فاصله بین قطعه زمین های انتخاب شده با کاربری های مختلف واقع در محدوده تحقیق از مهم ترین پارامترهای تعیین کننده درجه تناسب هر قطعه زمین برای هر کاربری است و تقریباً در آماده سازی همه لایه های مورد نیاز نقش تعیین کننده دارد. به منظور مدل سازی دقیق و محاسبه فاصله واقعی بین قطعه زمین ها با کاربری های مختلف، با تشکیل شبکه معابر بن بست ها، کوچه ها و خیابان ها فاصله تحت شبکه قطعه زمین ها با کاربری های مختلف محاسبه شد و در تهیه لایه های مورد نیاز مورد استفاده قرار گرفت.

AHP Fuzzy ۲.۳

حین فرایند ارزیابی تناسب زمین با فاکتورهای مؤثر متعدد و کارشناسان و ذینفع های با عقاید واولویت های گوناگون روبه رو می شویم که به کارگیری یک روش ارزیابی چند معیاره (MCE) برای گردآوری، پالایش و تلفیق دانش کارشناسان را اجتناب ناپذیر می سازد. اگرچه روش AHP یکی از متداول ترین روش های ارزیابی چند معیاره است که در بسیاری از مسائل تصمیم سازی مکانی برای گردآوری نظرات کارشناسان استفاده می شود، اما در AHP مرسوم شیوه تفکر و تصمیم گیری انسان به درستی لحظه نمی شود و درجه اطمینان تصمیم سازان و خطرپذیری موجود در فرایند تصمیم سازی در نظر گرفته نمی شود ([۴],[۵]). تلفیق روش AHP با منطق فازی منجر به لحظه شدن عدم قطعیت و عدم دقت (صراحت) موجود در مسائل به منظور تطبیق بیشتر با واقعیت می شود. به همین دلیل روش AHP Fuzzy در این تحقیق به کار گرفته شد. در این روش ابتدا هر یک از تصمیم سازان (D_k)، مقایسه زوجی را برای معیارها (فاکتورها) شبیه روش AHP (با استفاده از مقیاس های ۱-۹) انجام می دهد. معادله (۱)

۲. مواد و روش ها

۲.۱. محدوده تحقیق:

اجرای عملی ارزیابی تناسب کاربری زمین شهری بر روی یک محیط ساخته شده شهری در درجه اول، نیازمند انتخاب محدوده تحقیق می باشد. برای این منظور قسمتی از جنوب شهر اصفهان به عنوان محدوده تحقیق انتخاب شد. محدوده تحقیق، با مساحتی حدود ۲۳۸ هکتار در منطقه ۶ شهرداری اصفهان واقع می باشد. این محدوده از شمال به رودخانه زاینده رود، از جنوب، غرب و شرق به ترتیب به خیابان های سعادت آباد، چهار باغ بالا و مصلی محدود می شود. محدوده تحقیق از دوناچیه شهری (میر و شیخ صدوق) و هر ناحیه از چندین محله تشکیل شده است.

اوین مرحله از هر فرآیند تصمیم سازی، مرحله شناخت می باشد. شناخت دقیق ویژگی های محدوده تحقیق، شناسایی مشکلات و کمبودهای محدوده پژوهش و در نهایت استخراج اطلاعات و پارامترهای مورد نیاز در حل مسئله می تواند تصمیم سازان را در حل بهتر مسئله کمک نماید. برای شناخت دقیق محدوده تحقیق و شناسایی ویژگی های مختلف منطقه، طرح تفصیلی منطقه مورد مطالعه به دقت بررسی شد. در طرح تفصیلی منطقه وضعیت موجود منطقه برای کاربری های مختلف بررسی شده و سرانه موجود و مورد نیاز برای هر کاربری محاسبه شد. برای هر ناحیه کاربری های فضای سبز، آموزشی، ورزشی، فرهنگی و درمانی و همچنین سرانه (محله ای و ناحیه ای) موجود و مورد نیاز هر کاربری با بررسی طرح تفصیلی منطقه استخراج شد.

۲.۲. آماده سازی داده ها:

عدم دسترسی به اطلاعات مکانی به روز و قابل استفاده در محیط GIS ، فقدان و یا کمبود اطلاعات توصیفی عوارض مکانی و پراکندگی اطلاعات موجود بین سازمان های مختلف مهم ترین چالش های به کارگیری GIS در زمینه حل مسائل در کشور ما به شمار می رود. در یک تحقیق در کنار همه مدل ها و ابزارهایی که برای مدل سازی پدیده ها و مشکلات موجود در دنیای واقعی به کار می روند، فراهم سازی اطلاعات مکانی و توصیفی به روز و قابل اعتماد در ارزیابی میزان مقبولیت نتایج تحقیق نهایی نقش به سزایی

معادله‌ای برای محاسبه وزن‌های نسبی بین همه معیارها تعیین می‌شود [۴].

(۳)

$$\tilde{w}_i = \frac{\sum_{j=1}^m \tilde{b}_{ij}}{\sum_{j=1}^m \sum_{i=1}^m \tilde{b}_{ij}}$$

$i, j = 1, 2, \dots, m$

وزن هر معیار (w_i) از طریق معادله قبل محاسبه می‌شود و این وزن‌ها روی هم یک بردار وزن فازی (\tilde{w}) طبق معادله (۴) تشکیل می‌دهند.

(۴)

$$\tilde{w} = (\tilde{w}_1, \tilde{w}_2, \tilde{w}_3, \dots, \tilde{w}_n)$$

بعد از برآورده بردارهای وزن فازی، مقادیر هر بردار با به کارگیری مفهوم α -cut نتایج نهایی به فرم Crisp تبدیل می‌شوند. مقدار α بسته به درجه اطمینان تصمیم‌سازان در هنگام ارزیابی وزن معیارها تعیین می‌شود. درجه اطمینان بالاتر نشان دهنده اطلاعات و داشتن کافی تصمیم‌سازان برای تصمیم‌سازی و متناظر با عدم قطعیت کمتر است. به عبارت دیگر مقدار α بزرگ‌تر بیان کننده درجه اطمینان قوی‌تر است [۴].

۳. ارزیابی عملی

در ابتدا با بررسی میدانی محدوده تحقیق قطعه زمین‌های مستعد پذیرش کاربری‌های جدید شناسایی شدنند. این قطعه زمین‌ها در سراسر محدوده تحقیق پراکنده می‌باشند (شکل ۱). با استفاده از اطلاعات موجود در طرح تفصیلی محدوده تحقیق و با توجه به کاربری‌های موجود و سرانه کنونی هرگروه از کاربری‌ها و مقایسه آن با سرانه لازم و شناسایی کمبودهای محدوده تحقیق، کاربری مورد نیاز محدوده به شرح زیر انتخاب شدنند.

$$D_K = \begin{bmatrix} C_1 & b_{11k} & b_{12k} & \dots & b_{1mk} \\ C_2 & b_{21k} & b_{22k} & \dots & b_{2mk} \\ \vdots & \vdots & \vdots & \ddots & \vdots \\ C_m & b_{m1k} & b_{m2k} & \dots & b_{mmk} \end{bmatrix}_{i,j=1,2,\dots,m, k=1,2,\dots,p} \quad (1)$$

که رتبه (b_{ijk}) نشان دهنده اهمیت نسبی بین دو معیار است که توسط تصمیم‌ساز K ارائه شده است. در مرحله بعدی، با تلفیق همه b_{ijk} ارائه شده از سوی تصمیم‌سازان، ماتریس مقایسه زوجی جامع (D) با استفاده از معادله (۲) ساخته می‌شود [۴].

$$L_{ij} = \min(b_{ijk}),$$

$i, j = 1, 2, \dots, m$

$$M_{ij} = \frac{\sum_{k=1}^p b_{ijk}}{p}$$

$$U_{ij} = \max(b_{ijk})$$

$$\tilde{b}_{ij} = (L_{ij}, M_{ij}, U_{ij})$$

که (\tilde{b}_{ij}) بیان کننده اهمیت نسبی بین دو معیار با اعداد فازی مثلثی است.

$$D = \begin{bmatrix} C_1 & \tilde{b}_{11} & \tilde{b}_{12} & \dots & \tilde{b}_{1m} \\ C_2 & \tilde{b}_{21} & \tilde{b}_{22} & \dots & \tilde{b}_{2m} \\ \vdots & \vdots & \vdots & \ddots & \vdots \\ C_m & \tilde{b}_{m1} & \tilde{b}_{m2} & \dots & \tilde{b}_{mm} \end{bmatrix}$$

به منظور تعیین وزن (w_i) متناظر با هر معیار (c_i) ،

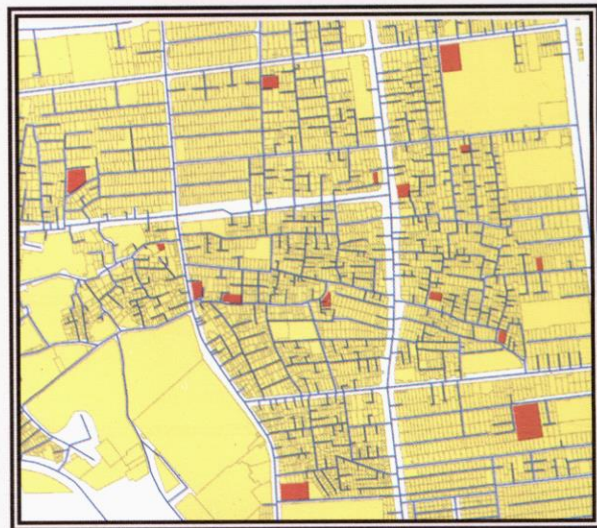
A

به طور هم زمان دسترسی دانش آموزان و تأمین شرایط مناسب برای فعالیت کتابخانه را فراهم سازد، می تواند مطلوب باشد. با این پیش زمینه شناخت و مدل سازی تأثیر مثبت منفی (سود / هزینه) کاربری های مختلف بر روی یک کاربری خاص می تواند در انتخاب موقعیت بهینه برای یک کاربری مؤثر باشد.

۳.۱. مدل سازی پارامترها

از آنجا که تأثیر کاربری های مختلف بر یکدیگر تا حدود بسیار زیادی تابعی از فاصله بین کاربری هاست، لذا برای مدل سازی تأثیر یک کاربری خاص بر کاربری های دیگر محاسبه فاصله بین آنها ضروری است. از طرفی اندازه گیری فاصله می تواند با روش های مختلفی انجام شود. استفاده از فاصله مستقیم (اقلیدسی) به عنوان فاصله دسترسی بین دو کاربری به خصوص در یک محدوده شهری که ارتباط بین کاربری ها از طریق شبکه معابر کوچه ها و خیابان ها انجام می شود، نمی تواند مدل سازی واقعی از شرایط باشد چرا که در عمل شبکه معابر و راه ها برای دسترسی به کاربری ها استفاده می شوند. به منظور مدل سازی واقعی فاصله بین دو کاربری فاصله طی شده بین دو کاربری در شبکه معابر بن بست ها، کوچه ها و خیابان ها محاسبه می شود. لذا در این تحقیق فاصله دسترسی (پیاده) تحت شبکه بین دو کاربری برای مدل سازی و تشکیل لایه های اطلاعاتی مورد نیاز استفاده شد. لایه اطلاعاتی حاصل حاوی فاصله تحت شبکه هر قطعه زمین از کاربری های مختلف است. پس از استخراج اطلاعات مربوط به ارتباط و تأثیر کاربری های دیگر برای هر یک از ۴ کاربری انتخابی، تابع تأثیر بر حسب فاصله تعریف شد. نوع تابع به رابطه و تأثیر (ثبت منفی)، موجود بین هر کاربری و کاربری انتخابی، فاصله بهینه و حداقل فاصله تأثیر بین دو کاربری مورد بررسی بستگی دارد که با استفاده از نظریات کارشناسان تعیین می شوند. به عنوان نمونه برای مدل سازی رابطه بین کتابخانه و واحد آموزشی، تابع به گونه ای تعریف می شود که در فواصل بسیار نزدیک مقدار (ارزش) کم، در فاصله بهینه ماکزیمم مقدار و با افزایش فاصله از فاصله بهینه تا فاصله حداقل مقدار تابع به تدریج کاهش پیدا کند. برای نمونه لایه های مربوط به مدل سازی تأثیر دبیرستان ها، مهد کودک ها و دبستان ها بر کارایی کتابخانه آورده شده است.

- کتابخانه (در مقیاس ناحیه)
- درمانگاه (در مقیاس ناحیه)
- زمین ورزشی (در مقیاس ناحیه)
- واحد آموزشی (مدرسه راهنمایی)



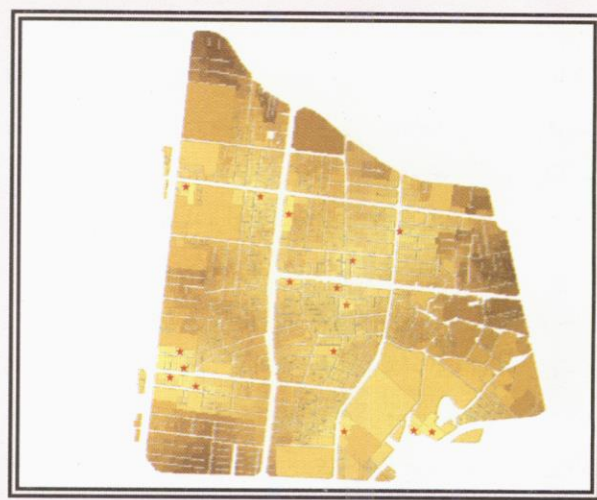
شکل ۱. محدوده تحقیق

کاربری های مختلف دارای شعاع تأثیرگذاری مختلفی هستند و اثرات (ثبت و منفی) متفاوتی بر روی دیگر کاربری ها دارند. حالی که نزدیکی برخی از کاربری ها به یک کاربری خاص می تواند باعث افزایش کارایی آنها شود. مجاورت با برخی کاربری های دیگر کارایی کاربری مزبور را کاهش می دهد. با توجه به تنوع کاربرها در محیط های ساخته شده شهری و روابط پیچیده موجود بین کاربرها، شناخت و مدل سازی تأثیر سایر کاربری ها در عملکرد کاربری خاص تأثیر زیادی دارد.

در این تحقیق با بررسی دقیق ماتریس های سازگاری و وابستگی، ارتباط دیگر کاربری های موجود در محدوده تحقیق با ۴ کاربری انتخاب شده مورد بررسی قرار گرفت. این بررسی بیانگر این نکته است که علاوه بر آنکه یک کاربری خاص می تواند در عملکرد دیگر کاربری ها تأثیر مثبت (سود) یا منفی (هزینه) داشته باشد، نوع فایده یا هزینه و مقدار تأثیر با تغییر فاصله از کاربری می تواند متغیر باشد. به طور نمونه در حالی که نزدیکی بیش از حد کتابخانه به یک واحد آموزشی (مثل دبیرستان) تأثیر منفی در کارایی آن دارد، احداث کتابخانه در فاصله ای از واحد آموزشی که



شکل ۴. لایه فاصله شبکه‌ای از مهد کودک‌ها



شکل ۲. لایه فاصله شبکه‌ای از دبیرستان‌ها



شکل ۵. لایه نهایی تأثیر مهد کودک بر کتابخانه



شکل ۳. لایه نهایی تأثیر دبیرستان بر کتابخانه

انتخاب و اعمال تابع تأثیر مهد کودک بر کتابخانه در شکل های ۴ و ۵ نمایش داده شده است.

انتخاب و اعمال تابع تأثیر دبیرستان بر کتابخانه در شکل های ۲ و ۳ نمایش داده شده است.

و محاسبه شده و به عنوان شاخصی برای تعیین کمبود زمین قابل دسترس برای هر نوع کاربری استفاده می شود^[7]. از آنجا که قطعه زمین های موجود در سراسر محدوده تحقیق پراکنده می باشد و سرانه فعلی برای یک کاربری خاص در قطعه زمین ها متفاوت است و همچنین با توجه به نقش تأثیرگذار سرانه در تخصیص بهینه کاربری ها، لحاظ کردن شاخص سرانه از اهمیت زیادی برخوردار است. در این تحقیق این شاخص برای تعیین توزیع مکانی میزان و الیت نیاز به کاربری های مختلف مورد استفاده قرار گرفت. در نقاط مختلف در تحقیق مدل سازی این عامل با تعیین مقدار سرانه موجود و ترکیب عامل سرانه و معیار فاصله (با توجه به فاصله بهینه و فاصله بی اثر سازی کاربری های مختلف تا مناطق مسکونی) برای قطعه زمین ها انجام می شود. شاخص های سرانه موجود و مورد نیاز برای کاربری های مورد نیاز از اطلاعات موجود در طرح تفصیلی و فاصله بهینه با لحاظ کردن نظریات کارشناسان محاسبه شد.

۳.۲ وزن دهنده پارامترها

پر واضح است که پارامترهای مؤثر مختلف، اهمیت و نقش همسانی در حل مسئله ندارند و بسته به میزان تأثیرشان در سطح مرتبط با اهمیت خود واقع می شوند. وزن دهنده پارامترها برای کمی سازی میزان تأثیر و اهمیت متغیرهای مختلف مورد استفاده قرار می گیرد. با این پیش زمینه و به منظور تأثیر پارامترهای مختلف متناسب با میزان اهمیت شان در نتایج نهایی، وزن دهنده پارامترها مورد توجه قرار می گیرد. لذا در این تحقیق و برای هر یک از ۴ کاربری مورد نظر، پارامترهای مؤثر در سطوح مختلف متناظر با مقدار تأثیرشان جای گذاری شده و با توجه با ساختار ساخته شده وزن دهنده می شوند. ساختار مورد نظر از چندسطح تشکیل شده است، به عنوان مثال در مورد کتابخانه، نزدیکی به مراکز آموزشی (A) سطح اول و نزدیکی به دبیرستان (A11)، مدرسه راهنمایی (A12) و دبستان (A13) در زیر سطح آن قرار می گیرند. پس از جای گذاری پارامترها در ساختار مناسب به ازای هر یک از ۴ کاربری، نظریات کارشناسان مختلف برای پارامترهای مؤثر هر کاربری به صورت مجزا گردآوری شده و در نهایت وزن دهنده



شکل ۶. لایه فاصله شبکه ای از دستان ها



شکل ۷. لایه نهایی تأثیر دستان بر کتابخانه

انتخاب و اعمال تابع تأثیر دستان بر کتابخانه در شکل های ۶ و ۷ نمایش داده شده است.

از آنجا که لایه های نهایی بر مبنای مقادیر حاصل از تابع انتخاب شده به دست می آیند، انتخاب تابع بهینه باید با دقت زیادی همراه باشد تا تأثیر دو کاربری به صورت دقیق لحظه شود. در عمل با استفاده از برازش تابع مناسب بر نقاط کنترل، می توان تابع بهینه را انتخاب کرد. مهم ترین پارامترهای مؤثر در تخصیص بهینه یک کاربری توجه به شاخص سرانه است. سرانه به عنوان زمین اختصاص یافته به یک نوع کاربری خاص، بر مبنای هر نفر تعریف

$$D = \begin{bmatrix} A & B & C & D \\ \begin{matrix} (1,1,1) \\ (0,167,0,375,0,5) \\ (0,125,0,1585,0,2) \\ D \end{matrix} & \begin{matrix} (2,3,25,6) \\ (1,1,1) \\ (0,167,0,2375,0,333) \\ D \end{matrix} & \begin{matrix} (5,6,5,8) \\ (3,4,5,6) \\ (1,1,1) \\ (0,125,0,198,0,25) \end{matrix} & \begin{matrix} (8,8,75,9) \\ (4,6,5,8) \\ (3,3,25,4) \\ (1,1,1) \end{matrix} \end{bmatrix}$$

پس از آن با استفاده از معادله (۳) وزن هر معیار محاسبه می شود.

$$\begin{aligned} \tilde{w}_1 &= \frac{(1,1,1) \oplus (2,3,25,6) \oplus (5,6,5,8) \oplus (8,8,75,9)}{\left(b_{11} \oplus \dots \oplus b_{14} \right) \oplus \left(b_{21} \oplus \dots \oplus b_{24} \right) \oplus \left(b_{31} \oplus \dots \oplus b_{34} \right) \oplus \left(b_{41} \oplus \dots \oplus b_{44} \right)} \\ &= \frac{(16,19,5,24)}{(29,944,38,115,46,741)} \\ &= (0.3423, 0.5116, 0.8014) \end{aligned}$$

$$\tilde{w}_2 = (0.1747, 0.3246, 0.5176)$$

$$\tilde{w}_3 = (0.0918, 0.1219, 0.1847)$$

$$\tilde{w}_4 = (0.0317, 0.0418, 0.057)$$

سپس بردار وزن فازی به عنوان وزن هر معیار به شرح زیر حاصل می شود.

$$w = (\tilde{w}_1, \tilde{w}_2, \tilde{w}_3, \tilde{w}_4) = \left((0.3423, 0.5116, 0.8014), (0.1747, 0.3246, 0.5176), (0.0918, 0.1219, 0.1847), (0.0317, 0.0418, 0.057) \right)$$

و در نهایت با استفاده از α -cut ($\alpha=0.85$) و شاخص ریسک $\beta=0.2$ ، بردار وزن فازی حاصل از تلفیق نظریات کارشناسان به فرم Crisp تبدیل می شود. به ازای هر یک از کاربری ها، پارامترهای مختلف واقع در سطوح مختلف سلسله مراتب به این روش وزن دهی می شوند.

۳.۳. تلفیق لایه ها

پس از شناسایی و مدل سازی پارامترهای مؤثر لایه های مرتبط برای هر یک از کاربری ها ساخته می شوند. همچنین وزن دهی پارامترها (لایه ها) بر اساس ساختار طراحی شده به ازای هر یک از ۴ کاربری انجام می شود. در نهایت با استانداردسازی لایه ها و به کارگیری وزن مربوطه، لایه های تلفیق و لایه های نهایی تولید می شود.

پارامتر ها به روش AHP Fuzzy انجام می شود.

به عنوان مثال، در مورد کتابخانه برای وزن دهی پارامترهای نزدیکی به دیبرستان(A)، مدرسه راهنمایی(B)، دبستان(C) و مهد کودک(D) به کمک روش AHP Fuzzy یک نمونه عددی ارائه شده است. ابتدا نظریات ۴ کارشناس مختلف برای مقایسه به روش AHP مرسوم گردآوری می شوند.

$$DM_1: \begin{bmatrix} A & B & C & D \\ 1 & 2 & 7 & 9 \\ 2 & 1 & 6 & 8 \\ 7 & 1 & 1 & 4 \\ 1 & 9 & 1 & 1 \end{bmatrix}$$

$$DM_2: \begin{bmatrix} A & B & C & D \\ 1 & 6 & 8 & 9 \\ 6 & 1 & 3 & 4 \\ 1 & 1 & 1 & 3 \\ 8 & 3 & 1 & 1 \\ 1 & 1 & 1 & 1 \\ 9 & 4 & 1 & 1 \end{bmatrix}$$

$$DM_3: \begin{bmatrix} A & B & C & D \\ 1 & 3 & 5 & 9 \\ 1 & 1 & 5 & 8 \\ 3 & 1 & 1 & 3 \\ 1 & 5 & 1 & 1 \\ 5 & 1 & 1 & 1 \\ 1 & 1 & 1 & 1 \\ 9 & 8 & 1 & 1 \end{bmatrix}$$

$$DM_4: \begin{bmatrix} A & B & C & D \\ 1 & 2 & 6 & 8 \\ 1 & 1 & 4 & 6 \\ 2 & 1 & 1 & 3 \\ 1 & 1 & 1 & 3 \\ 6 & 4 & 1 & 1 \\ 1 & 1 & 1 & 1 \\ 8 & 6 & 1 & 1 \end{bmatrix}$$

$$w_{DM1} = (0.524, 0.348, 0.09, 0.039)^T$$

$$w_{DM2} = (0.686, 0.178, 0.089, 0.047)^T$$

$$w_{DM3} = (0.556, 0.309, 0.093, 0.041)^T$$

$$w_{DM4} = (0.532, 0.316, 0.103, 0.050)^T$$

سپس نظریات کارشناسان با استفاده از معادله (۲) برای تشکیل ماتریس مقایسه زوجی جامع تلفیق می شوند.

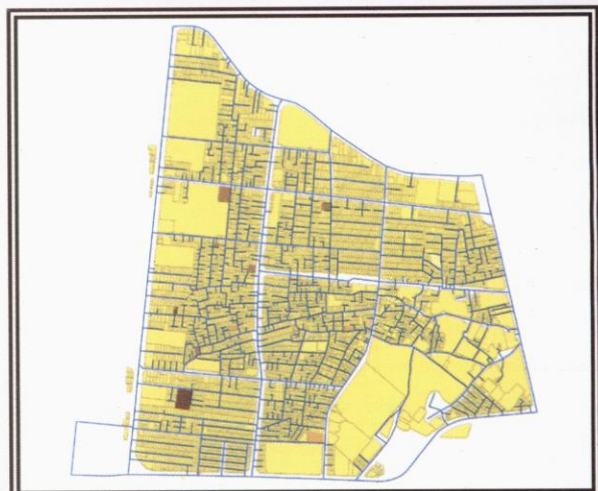
هامون نقشه پارس

اجاره/خرید و فروش/تعمیرات
تجهیزات نقشه برداری

خیابان کمیل، بین رودکی و نواب، پلاک ۲۱۱، واحد ۳
تلفن: ۰۲۶۲۷۵۵۵-۰۱۲۱۴۴۳۵-۰۷-۹۱۲۱۹۸۹۱۷۴۰۰، همراه: ۰۹۰۲۶۲۵۸۱-۰۶۶۲۷۷۵۰۵
تلекс: ۶۶۸۷۷۱۸۸
www.hamoonmappars.com

۴. نتایج

نتایج مربوط به ارزیابی تناسب قطعه اراضی مورد بررسی برای احداث کتابخانه به عنوان نمونه در شکل هشت ارائه شده است. تناسب مکان های مورد بررسی در جدول (۱) ارائه شده و بیانگر تغییرپذیری زیاد مقادیر آن می باشد. مقادیر تناسب بین ۲۲.۰۷۳ شکل (۸):



شکل ۸. لایه تناسب قطعه زمین ها برای احداث کتابخانه

برای قطعه زمین شماره (۲) تا ۹۰.۲۶۵ برای قطعه زمین شماره (۱۰) متغیراست و اهمیت روش مورد استفاده برای ارزش گذاری و تفکیک اراضی مناسب از نظر پارامترهای مورد بررسی برای احداث کتابخانه را نشان می دهد.

ردیف	مقادیر	مساحت(متر مربع)	مناسبت
۱	۱۵۵۶.۷۰۸	۵۶.۹۳۶۷	
۲	۷۰.۸۱۸	۲۲.۰۷۳	
۳	۶۵۲.۹۲۳۵	۷۸.۷۰۵	
۴	۸۱۳.۶۶۳۵	۳۰.۰۵	
۵	۳۰۶.۴۰۹۹	۸۶.۲۴۱۵	
۶	۲۶۸.۹۴۵	۳۴.۹۰۲۴	
۷	۴۱۷.۹۸	۴۰.۵۷	
۸	۱۳۰.۹.۷۰۲۸	۸۲.۱۵۴	
۹	۳۸۲.۸۲۶۹	۴۹.۰۷	
۱۰	۱۳۲۵.۴۵	۹۰.۲۶۵	
۱۱	۳۴۴.۸	۶۷.۰۴	
۱۲	۳۵۵.۴۶	۶۸.۵	

جدول ۱. مقادیر تناسب مکان های مورد بررسی برای احداث کتابخانه

۶. پانوشت‌ها

- 1 - Geographic Information Systems
- 2 -Multi- Criteria Analysis
- 3 - Multi- Criteria Decision Making
- 4 - Comprehensive Pairwise Comparison Matrix

۷. منابع

- [1] Bellman R.E. and Zadeh L.A., (1970), "Decision Making in a fuzzy environment," Management Science, 17, 141-164
- [2] Brail, R.K., Klosterman, R.E., (2001), Planning support systems , ESRI Press, Redlands, CA.
<http://www.co.mchenry.il.us/CountyDpt/plandev/PDFDocs/PrimeFarm.pdf> (2006-9-10)
- [3] Chakhar, S. and J. M. Martel (2003). "Enhancing geographical information systems capabilities with multi-criteria evaluation function." Journal of Geographical Information and Decision Analysis 7(2): 47-71.
- [4] Hung, C.C., (2004), "A Research Based on fuzzy AHP for Multi-criteria Supplier Selection in Supply chain"
- [5] Kahraman, C., Cebeci, U. and Ulukan , Z., (2003), "Multi-criteria Supplier Selection Using Fuzzy AHP," Logistics Information Management, 16, 382-394.
- [6] Malczewski, J. (1999). GIS and Multicriteria Decision Analysis. New York, John Wiley
- [7] M.Taleai, A.Sharifi, R.Sliuzas and M.Mesgari, (2007), Evaluating the compatibility of multi-functional and intensive urban land uses, International Journal of Applied Earth Observation and Geoinformation, Volume 9, Issue 4, December 2007, Pages 375-391, doi:10.1016/j.jag.2006.12.002
- [8] Jankowski, P. (1995). "Integrating geographical information systems and multiple criteria decision-making methods." International Journal of Geographic Systems 9(3): 251-273.
- [9] Jiang, H. and R. R. Eastman (2000). "Application of fuzzy measures in multi- criteria evaluation in GIS." International Journal of Geographical Information Systems 14(2): 173-184.

۵. بحث و نتیجه‌گیری

عملکرد بهینه یک کاربری اختصاص یافته به یک موقعیت، مستلزم توجه به جنبه‌های گوناگون فعالیت آن کاربری و تأمین همه پارامترها و شرایط مورد نیاز برای ارائه خدمات بهینه است که در این تحقیق با استخراج و مدل‌سازی پارامترهای مرتبط با فعالیت هر کاربری مورد توجه قرار گرفته است. همچنین به کارگیری روش AHP Fuzzy امکان استفاده از دیدگاه‌ها و سلیقه‌های گوناگون و برآیند نظریات در فعالیت‌های شهری و حل مسائل مربوط به آن همراه با توجه به عدم قطعیت ذاتی موجود در نظریات رفراهم می‌کند. بردار وزن فازی محاسبه شده از تلفیق نظریات ۴ تصمیم‌ساز

$$W = \begin{pmatrix} \tilde{w}_1 & \tilde{w}_2 & \tilde{w}_3 & \tilde{w}_4 \end{pmatrix}$$

بيانگر اختلاف بین مقادير وزن‌ها (U, M, L) برای هر بردار وزن است که در واقع نشان‌دهنده تفاوت نظریات کارشناسان مختلف در ارزیابی معیارهای مختلف می‌باشد. در تصمیم‌سازی به صورت انفرادی در واقع یکی از مقادیر (ونه برآیند آنها) در فرآیند تصمیم‌سازی تأثیر داده می‌شود و امکان خطای در برآورد تأثیر یک پارامتر خاص افزایش می‌یابد. این نکته اهمیت به کارگیری تلفیق و برآیند نظریات مختلف به شیوه‌ای گروهی را نشان می‌دهد. همچنین رقابت بین کاربری‌ها در تخصیص موقعیت‌ها با بررسی همزمان تخصیص ۴ کاربری به موقعیت‌های موجود، در مدل مورد استفاده لحاظ شده است. لذا نتایج به دست آمده علاوه بر رفع کاستی‌های روش‌های قبلی، پارامترها و جنبه‌های گوناگون در تخصیص کاربری‌ها را مورد توجه قرارداده که قابلیت اعتماد نتایج را تا حد زیادی افزایش می‌دهد.

سیستم‌های تصویر مورد استفاده در نقشه‌ها و اطلاعات مکانی کشور

تهیه کنندگان:

مشاور فنی، سازمان نقشه‌برداری کشور

sarpoulaki@ncc.org.ir

مهندس محمد سرپولکی

مدیر کارتوگرافی، سازمان نقشه‌برداری کشور

shamei@ncc.org.ir

مهندس بابک شمعی

امکان پذیر است. به عبارت دیگر تصویر عوارض سطح زمین از روی بیضوی مقایسه (بیضوی مقایسه مورد استفاده در نقشه‌های کشور WGS-84 می‌باشد) بر روی یک سطح مستوی نیازمند سیستم تصویر می‌باشد. سیستم‌های تصویر بسته به اینکه کدام یک از مشخصه‌های طول، مساحت و شکل را حفظ می‌کنند به سه گروه عمده زیر تقسیم می‌گردند:

- هم زاویه، متشابه یا کانفورمال
- هم مساحت
- هم طول

برای انجام این انتقال ریاضی، از یک سطح واسطه به نام صفحه گسترده استفاده می‌شود. این صفحه گسترده که پس از برش می‌تواند به یک سطح مسطح تبدیل شود، یکی از اشکال فضایی صفحه، مخروط یا استوانه است.

۳. سیستم‌های تصویر مورد استفاده در نقشه‌های کشور

سیستم‌های تصویر مورد استفاده برای نمایش سطح زمین بر روی صفحه در نقشه‌ها و اطلاعات مکانی سازمان نقشه‌برداری کشور از نوع متشابه یا کانفورمال بوده و متناسب با مقیاس و ابعاد منطقه مورد نظر شامل سیستم‌های تصویر زیر می‌باشد:

سیستم تصویر UTM

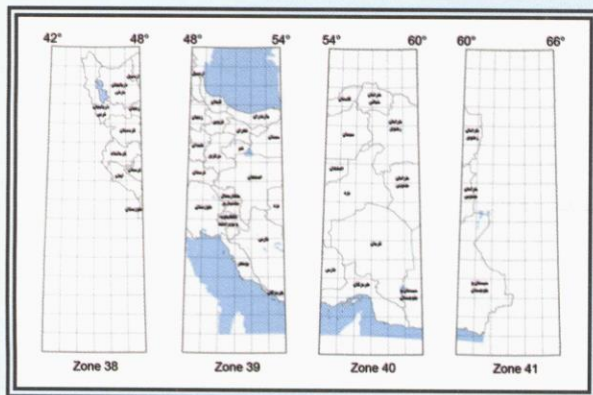
سیستم تصویر UTM سیستمی استوانه‌ای است که نصف النهارها و مدارها به جز نصف النهار مرکزی و استوا منحنی هستند و هم‌دیگر را با زاویه 90° درجه قطع می‌کنند. ضریب مقیاس در طول نصف النهار مرکزی حقیقی است ($K=1$) و با فاصله از

۱. مقدمه

انتخاب سیستم تصویر مناسب برای نمایش سطح غیر مسطح زمین بر روی سطوح مستوی نقشه‌ها امری ضروری می‌باشد. با توجه به وسعت، ابعاد، شکل، موقعیت قرار گرفتن کشورها و همچنین مقیاس مورد نظر، سیستم‌های تصویر مختلف برای نمایش نقشه‌ها و اطلاعات مکانی انتخاب می‌گردند. استفاده از سیستم تصویر نامناسب برای نمایش نقشه و یا اطلاعات مکانی می‌تواند تأثیر نامطلوبی در دقت و یا نمایش صحیح عوارض زمین بر روی نقشه داشته باشد. موضوع استفاده از سیستم‌های تصویر نامناسب در تهیه نقشه‌های عمومی کشور منجر به نمایش شکل کشور با تصویری غیر واقعی می‌گردد که اقدام مقتضی در این خصوص توسط مراجع ذی ربط از قبیل شورای عالی نقشه‌برداری کشور ضروری می‌باشد. سازمان نقشه‌برداری کشور در راستای وظایف ملی خود مبنی بر تهیه استانداردهای علوم مهندسی، ژئوماتیک و ارتقای کیفیت محصولات و خدمات نقشه‌برداری، تهیه نقشه‌های مبنایی و تعیین سیستم‌های تصویر مناسب اقدام به طراحی و استفاده از انواع سیستم‌های تصویر برای ارائه نقشه‌ها و اطلاعات مکانی تهیه شده در کشور نموده است. در این متن جزئیات سیستم‌های تصویر متشابه (کانفورمال) مورد استفاده در نقشه‌های تهیه شده توسط سازمان نقشه‌برداری کشور تشریح گردیده است.

۲. سیستم‌های تصویر

انتقال ریاضی عوارض سطح زمین روی یک سطح مسطح دو بعدی، تنها از طریق بهره‌گیری از یک سیستم تصویر مناسب



شکل ۲. نحوه نمایش کشور در ۴ قاطع سیستم تصویر UTM

نصف النهارها خطوط مستقیم و مدارها به صورت منحنی هستند. شکل زمین در این سیستم تصویر بیضوی فرض شده (بیضوی WGS-84) است. این سیستم تصویر دارای سیستم مختصات قائم الزاویه متقاضی است و مختصات بر حسب X و Y می باشد که به ترتیب در امتداد شرق و شمال هستند.

نصف النهار مرکزی افزایش می یابد. شکل زمین در این سیستم تصویر بیضوی فرض شده (بیضوی WGS-84).

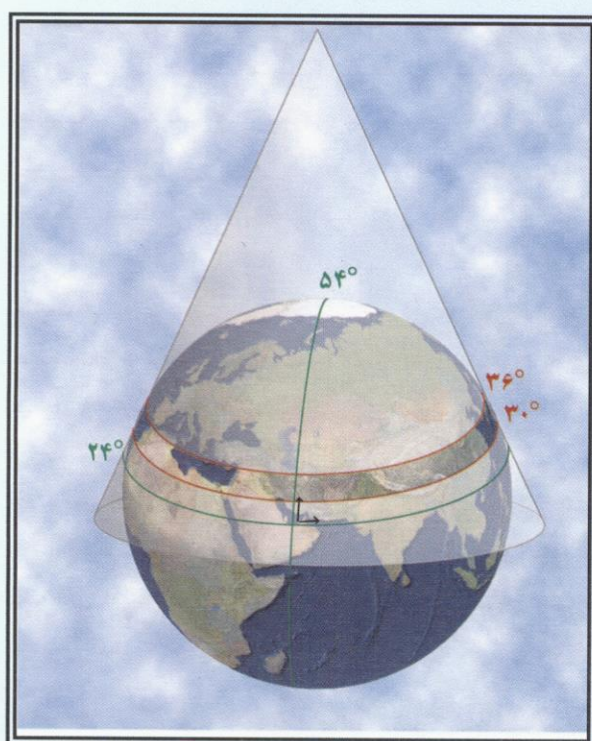


شکل ۱. نحوه قرار گرفتن زمین در سیستم تصویر UTM

در این سیستم که برای مناطق واقع در فاصله عرض های جغرافیایی 84° درجه شمالی و 80° درجه جنوبی به کار می رود، مدارات و نصف النهارات عمود بر هم هستند.

در این سیستم مختصات قائم الزاویه راستگرد است و مختصات بر حسب X (یا E) و Y (یا N) می باشد که به ترتیب در امتداد شرق و شمال هستند و مبدأ مختصات تقاطع خط استوا و نصف النهار مرکزی می باشد. در نقشه های توپوگرافی در مقیاس های $1:100000$, $1:200000$, $1:500000$, $1:1000000$, $1:2000000$, $1:5000000$ و $1:10000000$ از سیستم تصویر UTM استفاده می گردد. کشور ایران در این سیستم تصویر با چهار قاطع 6 درجه پوشش داده می شود و متناسب با موقعیت منطقه مورد نظر، برای این نقشه هایکی از چهار زون (38 (طول جغرافیایی 42° تا 48°), زون 39 (طول جغرافیایی 48° تا 54°), زون 40 (طول جغرافیایی 54° تا 60°) و زون 41 (طول جغرافیایی 60° تا 66°) مطابق شکل شماره 6 استفاده می گردد.

متأسفانه مشاهده می گردد که در برخی از نقشه هایی که کل کشور را نمایش می دهد سیستم تصویر UTM قید گردیده که این موضوع عملاً میسر نمی باشد و صرف آبیانگر این موضوع می باشد که نقشه های مذکور قادر فاقد سیستم تصویر می باشند.



شکل ۳. نحوه قرار گرفتن زمین در سیستم تصویر لامبرت ایران

سیستم تصویر لامبرت مخروطی می تواند با یک یا دو مدار

۴. سیستم تصویر لامبرت ایران

سیستم تصویر لامبرت از نوع مخروطی، متشابه می باشد که

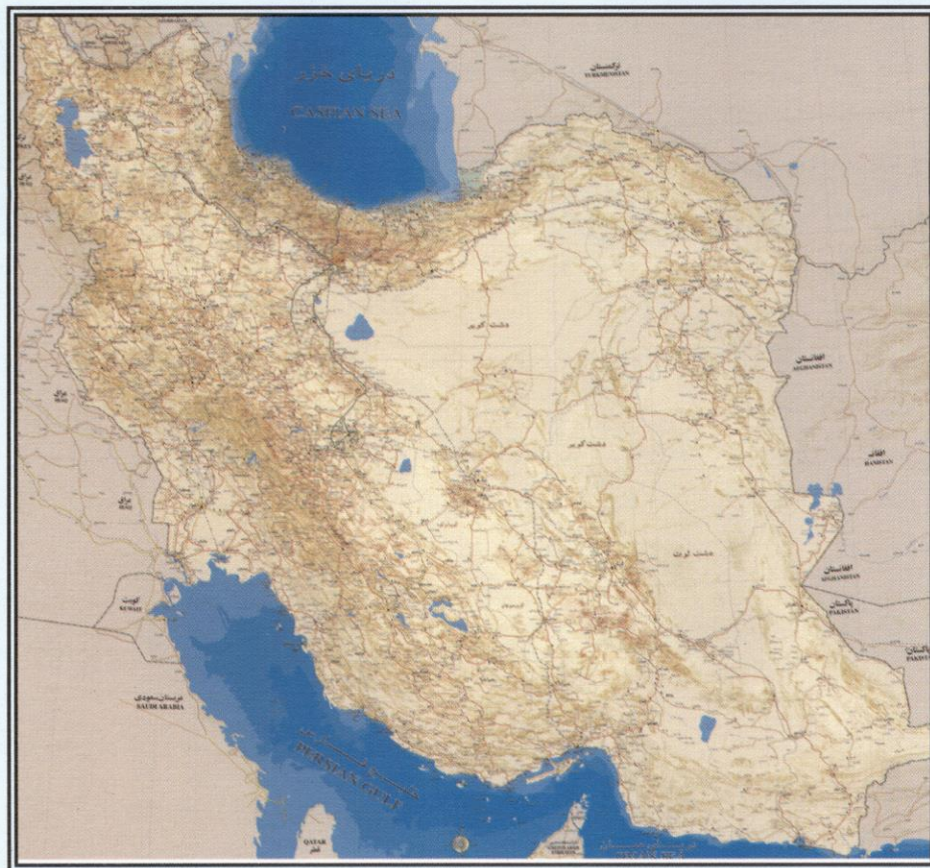
عمودی نبوده و دارای زاویه‌ای متمایل به سمت کشور عراق می‌باشد. در نقشه‌هایی که از این سیستم تصویر استفاده گردیده نقشه کشور کمی به سمت غرب مورب می‌باشد که قطعاً این وضعیت با شکل واقعی قرار گرفتن کشور در کره زمین مغایرت دارد.

۵. منابع

۱. سیستم مختصات و سیستم تصویر مورد استفاده در نقشه‌های سازمان نقشه‌برداری کشور، چاپ ۱۳۸۶ سازمان نقشه‌برداری کشور
۲. دستور العمل همسان نقشه‌برداری جلد چهارم؛ کارت‌نگاری (کلیات)، سازمان مدیریت و برنامه‌ریزی کشور
۳. استاندارد نقشه‌های توپوگرافی رقومی در مقیاس ۱:۲۵۰۰۰ سازمان نقشه‌برداری کشور
۴. استاندارد نقشه‌های بزرگ مقیاس ۱:۲۰۰۰، ۱:۱۰۰۰ و ۱:۱۵۰۰ سازمان نقشه‌برداری کشور
۵. دستور العمل جزئیه نقشه‌های نقشه‌های توپوگرافی ۱:۱۰۰۰۰، ۱:۱۵۰۰۰ و ۱:۲۵۰۰۰ سازمان نقشه‌برداری کشور

استاندارد طراحی گردد. معمولاً از این سیستم تصویر برای نمایش مناطق وسیع و یا مناطقی که به صورت شرقی-غربی گسترده می‌باشند استفاده می‌گردد.

در نقشه‌های ۷۵۰۰۰۰، ۷۷۵۰۰۰، ۷۱۰۰۰۰۰، ۷۱۲۵۰۰۰ و کوچکتر و نقشه‌های برخی از استان‌ها با مقیاس‌های بزرگتر که در دو قاطع UTM قرار می‌گیرند، از سیستم تصویر لامبرت استفاده می‌گردد. سازمان نقشه‌برداری کشور پس از بررسی‌های متعدد نسبت به طراحی یک سیستم تصویر لامبرت که کمترین اعوجاج را در نقشه‌های کشور ایجاد نماید اقدام نموده است. سیستم تصویر طراحی شده دارای دو مدار استاندارد ۳۰ و ۳۶ درجه می‌باشد و مبدأ مختصات تقاطع مدار ۲۴ درجه و نصف النهار ۵۴ درجه با مختصات: $X = 0\text{m}$ و $Y = 0\text{m}$ می‌باشد. بعضًا مشاهده می‌گردد که در نقشه‌های کشور از سیستم تصویر مرکاتور طراحی شده در زمان استعمار کشور انگلستان بر مناطق نفتی کشور عراق استفاده می‌گردد. در این نقشه‌ها نصف النهار مرکزی کشور به صورت



شکل ۴. نحوه نمایش کشور در سیستم تصویر لامبرت ایران

تصحیح اثر ذرات معلق جوی در تصاویر ماهواره‌ای

(مطالعه موردی تصویر منطقه خوزستان)

نویسنده:

کارشناس ارشد سنجش از دور دانشکده مهندسی نقشه برداری، دانشگاه صنعتی خواجه نصیرالدین طوسی

مهندس علی غفوری

ali.ghafouri@gmail.com

۱. مقدمه

[۱] ذرات معلق جوی، در غالب دود مه، غبارمه و نمک دریا در تغییر شرایط آب و هوایی و کیفیت زندگی و سلامت انسان‌ها تأثیر به سزاگی دارند. بر اساس پژوهش‌های انجام شده، ذرات معلق جوی ناشی از فوران آتش‌فشانی کوه Pinatubo در ژوئن ۱۹۹۱، انرژی دریافتی در سطح را به میزان $2/5 \text{W/m}^2$ طی ۲ تا ۴ سال پس از آن آتش‌فشانی کاهش داد [۱۱]. همچنین به اندازه $0/20-0/30^\circ\text{C}$ افت دمای هوا و حدود $0/50^\circ\text{C}$ آتش‌فشان را به همراه داشت [۷/۸]. علاوه بر این جذب و پراکنش توسط برخی ذرات معلق جویی جوی منجر به واکنش شدید نور با گازهای CFC حاصل از دستگاه‌های صنعتی ساخت دست بشر شده و تخریب لایه ازن را تشدید می‌نماید [۱]. بر اساس آتش‌فشانی کوه Pinatubo، بین ۱۵ تا 20°C درصد تخریب لایه ازن در عرض‌های جغرافیایی بالاتر تشدید شده است [۱۰]. یکی از دیگر علل عدمه گرایش به پژوهش در زمینه آشکارسازی غبار جوی، پیشگیری از سوانح هوایی است، چراکه موتور جت حين عبور

چکیده

ذرات معلق جوی غالباً بر صحبت و دقت اطلاعات استخراج شده از تصاویر ماهواره‌ای تأثیر محربی می‌گذارند. این موضوع برای کشور ما که مناطق گستردگی در آن وجود دارد بسیار حائز اهمیت است، چرا که جو مناطق حاشیه کویر، اعم از شهری و غیرشهری اغلب اوقات آلوده به غبار جوی است. همچنین آلودگی ناشی از دود در مناطق صنعتی و شهری همواره مورد توجه بوده است. علاوه بر آن، ذرات معلق جوی بر شرایط آب و هوایی منطقه، برنامه پروازهای نظامی و غیر نظامی و همچنین سلامتی انسان نیز اثراتی انکار ناپذیر دارند. با افزایش قدرت تفکیک مکانی، نیاز به اصلاحات جوی نیز افزایش می‌یابد. در این پژوهش، تصاویر ASTER در فصول مختلف سال، برای حذف اثر ذرات معلق جوی مورد استفاده قرار گرفته است. در انتخاب تصاویر سعی شده است که تصاویر مربوط به میانه هر فصل سال در ایران باشند. سیلیکات‌های موجود در ذرات غبار و شن، جذب فوق العاده‌ای در طیف $8/3$ میکرومتر یعنی باند 10° سنجنده ASTER دارند. اندازه‌گیری اختلاف دمای درخشندگی در دو طیف خاص الکترومغناطیسی منجر به آشکارسازی ذرات معلق جوی مذکور می‌گردد. برای آشکارسازی ذرات معلق جوی، از تابش خورشیدی پراکنده شده توسط ذرات معلق جوی و یا تابش نشر شده توسط ذرات معلق جوی پس از کسر عوارض سطح زمین از تصویر، استفاده شده است. در محدوده‌هایی که روزنامه‌ای جوی برای IR وجود دارد، از طیف فروسرخ برای آشکارسازی ذرات معلق جوی استفاده شده است. در طیف فروسرخ، ذرات معلق جوی تباين خوبی در تصویر از خود نشان می‌دهند. به منظور دستیابی به بهترین آشکارسازی ذرات معلق جوی که نهایتاً برای حذف اثر آنها از روی تصویر استفاده می‌شود، تاکنون روش‌های متفاوتی پیشنهاد شده که هر یک با استفاده از تفاضل دمای درخشندگی در باندهای فروسرخ سنجنده به آشکارسازی اثر این ذرات در صحنه می‌پردازند. در این پژوهش ضمن مقایسه روش‌های آشکارسازی با یکدیگر، روش مناسب برای هر فصل از سال پیشنهاد شده است.

واژگان کلیدی: سنجش از دور، تصاویر ماهواره‌ای، تصاویر ASTER، تصحیح جوی،

ذرات معلق جوی

[۵] هواویزها را بر اساس وابستگی طیفی عمق نوری به بازتابندگی و ارتفاعی که آنها در آن ارتفاع بازتاب داشته‌اند می‌توان دسته‌بندی نمود. هر نوع از ذرات معلق جوی یک دسته ویژگی طیفی مخصوص به خود دارند که می‌تواند تابع ابعاد و هندسه و یا ترکیبات شیمیایی آنها باشد. الگوریتم آشکارسازی ذرات معلق جوی، هر پیکسل را برای غبار، شن و دود و نمک دریا مورد آزمون قرار می‌دهد و در صورتی که این اطلاعات برای طبقه‌بندی صحیح در مدل، کافی نباشد از اطلاعات کمکی زمینی نیز، استفاده می‌کند.

[۶] در این پژوهش از باندهای ASTER به باندهای سنجنده VIIRS استفاده شده است. باندهای معادل باندهای مورد استفاده در سنجنده VIIRS در سنجنده ASTER به ترتیب در جدول ذیل آمده‌اند:

[۷]

جدول ۱- باندهای مورد استفاده در سنجنده VIIRS و باندهای معادل آنها در سنجنده ASTER			
محدوده طول موج در سنجنده ASTER (میکرومتر)	شماره باند در سنجنده ASTER	محدوده طول موج در سنجنده VIIRS (میکرومتر)	شماره باند در سنجنده VIIRS
۸/۷۲۰-۸/۸۲۵	۱۱	۸-۴-۸/۷۰	۱۴
۱-۹/۶-۱-۹/۹۵	۱۳	۱-۹/۶۲۵-۱/۹۶۲۵	۱۵
۱-۹/۵-۱-۹/۶۵	۱۴	۱۱/۵۳۷۵-۱۲/۴۸۲۵	۱۶

جدول ۱- باندهای مورد استفاده در سنجنده VIIRS و باندهای معادل آنها در سنجنده ASTER

ASTER

[۸] که البته برخی از آنها کاملاً بر یکدیگر منطبق نمی‌باشند. البته می‌توان فرض نمود که در صورتی که برهمکنش طیفی با هواویز در این دو محدوده (مانند جذب، عبور و یا پراکنش) مشابه باشد و یا از پهنه‌ای همپوشانی مناسبی برخوردار باشد، می‌توانند مورد استفاده قرار گیرند.

۲.۱ آشکارسازی ذرات معلق جوی به کمک دمای درخشندگی

[۹] روش‌هایی که در طیف فروسرخ تاکنون به کار گرفته شده‌اند همگی مبتنی بر این فرضیه که ذرات معلق جوی در محدوده ۸ تا ۹ میکرومتر و همین طور ۱۰ تا ۱۲ میکرومتر، برهمکنش‌های طیفی قابل توجهی را از خود نشان می‌دهند. علاوه بر این، از آنجاکه جو زمین در این محدوده‌های طیفی کاملاً شفاف است، اگر لایه ذرات معلق جوی باندازه کافی ضخیم باشد، مقدار

از ابر غبار، بر اثر خوردگی ناشی از ورود غبار به قسمت‌های متحرک موتور، دچار آسیب می‌گردد [۶].

[۲] ذرات معلق جوی بر امواج الکترومغناطیسی از ناحیه مرئی تا رادیویی، به طور مستقیم و یا غیر مستقیم اثر می‌گذارند [۶]. همچنین اثر ذرات معلق جوی بر موجودیت گازهای گلخانه‌ای نیز مطرح است و لزوم اهتمام به مطالعه این ذرات را بیشتر محائز می‌کند. اما به دلیل در اختیار نداشتن اطلاعات از چگونگی توزیع ذرات معلق جوی که در زمان و مکان متغیرند نظری دود، طوفان غبار و ذرات ناشی از زباله‌های اتمی مسئله تشخیص و برآورد آنها را پیچیده می‌کند. آشکارسازی این دسته از ذرات معلق جوی، به دلیل کم دوام بودن آنها و ابعاد کوچکشان به سادگی امکان‌پذیر نیست. همچنین این ذرات به شدت تحت تأثیر بازتاب‌های زمین و شرایط آب و هوایی قرار داشته که آشکارسازی آنها را بسیار دشوار ساخته است.

[۳] در این پژوهش روش‌های مختلفی که در بخش ۲ به آنها اشاره می‌شود، بر روی تصاویر موجود از سنجنده ASTER در فضول مختلف اعمال می‌گردد و نتایج حاصل از آنها که در بخش ۳ ارائه می‌گردد با داده‌های کنترلی که همان منحنی طیفی پوشش‌های زمینی از قبیل پوشش‌های گیاهی می‌باشد، مقایسه می‌گردد. در بخش ۴ نیز بحث و نتیجه گیری ارائه می‌شود.

۲. روش‌های آشکارسازی ذرات معلق جوی

[۴] اولین بار از طریق نمونه برداری طیفی توسط سنجنده VIIRS در محدوده ۰/۴-۰/۷۰ تا ۰/۷۷۰ میکرومتر، عمق نوری ذرات معلق جوی که کمیتی برای تعیین میزان تیرگی جو است [۲]، انجام شد [۱۱]. در الگوریتم ارائه شده از مدل پویایی برای استخراج اطلاعات هواویزی استفاده می‌شد که بیشترین انطباق را بر سیگنال دریافتی سنجنده در طول موج‌های ۴۱۲، ۴۴۵، ۴۸۸ و ۶۷۲ نانومتر بر روی خشکی و همین طور طول موج‌های ۸۶۵، ۱۲۴۰، ۱۶۱۰ و ۲۲۵۰ نانومتر بر فراز اقیانوس داشت. این الگوریتم مستقیماً ذرات معلق جوی دود و غبار را آشکارسازی می‌نمود [۱۱].

در بخش بعدی ارائه شده است.

[۱۵] معادله‌ای که برای محاسبه دمای درخشندگی در پی آن هستیم، معکوس رابطه (۲) می‌باشد. چراکه λ توسط سنجنده دریافت شده و می‌خواهیم دمای T را با فرض سیاه کامل بودن (گسیل مندی واحد) محاسبه کنیم. از طریق معکوس رابطه (۲) برای تابش‌های دریافته کوچک سنجنده به علت نوشه^۱ بالا، مقدار درستی برای T به دست نمی‌آید. با این حال روش‌های متنوعی برای معکوس کردن رابطه فوق و محاسبه جواب وجود دارد.

[۱۶] ساده‌ترین تقریب، جایگزین نمودنتابع پاسخ سنجنده با تابع دیراکی برابر با طول موج میانه باند دریافته^۲ یعنی $\lambda = \lambda_{\text{m}}$ است. بنابراین با قرار دادن رابطه (۲) در رابطه (۱) و با فرض لاپرتو

بودن سطح، خواهیم داشت:

$$T_c = \frac{c_2}{\lambda_c L_n \left(\frac{c_1}{\lambda_c^5 \pi L_s} + 1 \right)} \quad (3)$$

[۱۸] این معادله در زمان استفاده در برنامه ENVI 4.2، در قسمت به شکل کُدی به صورت زیر مورد استفاده قرار می‌گیرد:

[۱۹]

$$(4) T_c = 0.014413 / (8.3 * \ln(1.1934 * 10^{(-22)} / (\text{float}(b10) * 3.14 * 8.3^{(5)} + 1)))$$

[۲۰] در معادله (۳)، T_c دمای درخشندگی در λ طول موج مرکزی و c طول موج مرکزی باند سنجنده می‌باشد. بایستی توجه داشت که رابطه (۳) دما را با فرض سیاه بودن سطح مورد نظر محاسبه می‌کند که بسته به میزان گسیل مندی سطح، دمای آنها با دمای جنبشی (واقعی) تفاوت خواهد داشت.

[۲۱] در این پژوهه به علت اینکه بررسی‌ها در اراضی کشاورزی صورت می‌گیرند، در صورتی که جو صاف باشد گسیل مندی نزدیک به واحد بوده و دمای درخشندگی با دمای حقیقی قابل مقایسه خواهد بود.

[۲۲] روش‌های فروسرخ که پیشتر توضیح داده شد، هم برای ماهواره‌های زمین آهنگ^[۹] و هم برای ماهواره‌های قطبی^[۴] جهت آشکارسازی ذرات معلق جو زمین به کار رفته است. همچنین در شب و در غیاب نور خورشید، روش‌های فروسرخ حرارتی کاربرد ویژه‌ای می‌یابند. در نخستین موارد آشکارسازی

کمی از انرژی در طیف حرارتی تابش شده از زمین را از خود عبور داده، و انرژی رسیده به سنجنده، ترکیبی از تابش زمین و ذرات معلق جوی خواهد بود. بر عکس، اگر لایه ذرات معلق جوی، به جهت عبوردهی انرژی نورانی، لایه نازکی باشد، عوارض زمینی، تأمین کننده بخش عمده انرژی دریافته سنجنده را تشکیل می‌دهند. به همین دلیل محدوده‌های طیفی ۸ تا ۹ و ۱۰ تا ۱۲ میکرومتر به علت جذب کم گازها، برای مطالعه ذرات معلق جوی، محدوده‌های مناسبی می‌باشند. از آنجا که جذب ذرات معلق جوی، در این محدوده‌ها بالاست، تحلیل‌هایی که بر روی تصاویر حاصله صورت می‌پذیرد، بیش از آنکه بر اساس باندهای مرئی و فروسرخ نزدیک باشد، بر اساس دمای درخشندگی در باندهای حرارتی خواهد بود. لازم به ذکر است که قدر مطلق و یا علامت اختلاف دمای درخشندگی در باندهای مختلف، ممکن است به حجم ذرات معلق جوی بستگی داشته باشد^[۲].

۲.۲. محاسبه دمای درخشندگی

فیزیک مسئله

[۱۰] چگالی شار طیفی یک جسم سیاه L_{λ}^{BB} در دمای T و طول موج λ توسط معادله پلانک محاسبه می‌شود^[۲]:

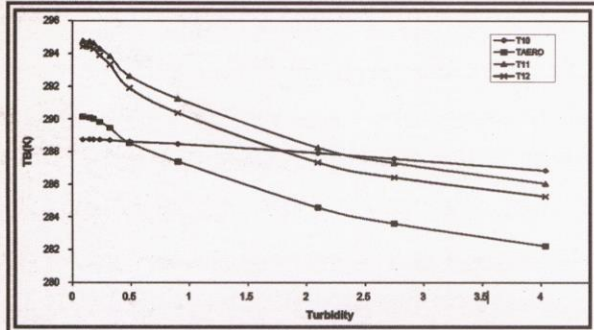
$$L_{\lambda}^{BB} = \frac{c_1}{\lambda^5 \left[e^{\lambda T} - 1 \right]} \quad (1)$$

[۱۲] در این رابطه چگالی شار طیفی بر حسب وات بر مترمربع براسترadian بر میکرون، λ طول موج بر حسب میکرومتر، T دمای جنبشی بر حسب درجه کلوین، c_1 اولین ثابت برابر 7934×10^{-22} وات مترمکعب بر میکرون و c_2 دومین ثابت تابش برابر 0.14413 متر کلوین است. با استفاده از معادله (۱) می‌توان چگالی شار طیفی نظیر به دمای درخشندگی را برای سنجنده‌ای با پاسخ‌دهی طیفی ψ به صورت زیر محاسبه نمود.

$$L_s = \int \psi(\lambda) L_{\lambda}^{BB}(T, \lambda) d\lambda \quad (2)$$

[۱۴] در این رابطه λ چگالی شار طیفی دریافته توسط سنجنده می‌باشد. توضیح ریاضی رابطه و نحوه محاسبه دمای درخشندگی

باند می باشد (اختلاف دمای درخشندگی میان باندهای ۷۵۵ و ۱۰/۸) و همچنین ۱۰/۸ و ۱۲ یعنی (BT10.8-BT12 6 BT8.55-BT10.8) [۵]. [۲۷]



شکل ۱. منحنی دمای درخشندگی برای چهار باند: ۳/۷۵ میکرومتر (T10)، ۱۰/۸ میکرومتر (TAERO)، ۱۰/۸، ۱۲/۰ میکرومتر (T11) و ۱۲/۰ میکرومتر (T12)، در هنگام شب بر حسب پارامتر تیرگی [۱۱].

[۲۸] در سال ۲۰۰۲ روشی توسط Vermote ارائه شد که مشابه روش Ackerman در ۱۹۹۷ برای آشکارسازی غبار، از طریق اختلاف دمای درخشندگی بود. این روش با استفاده از ۱ باند فروسرخ نزدیک ۳/۷۰ میکرومتر و ۳ باند حرارتی ۷۵۵ میکرومتر، ۱۰/۸ میکرومتر و ۱۲ میکرومتر سه مقدار از اختلافات دمای درخشندگی BT3.7-BT10.8 -BT3.7-BT8.55 -BT3.7-BT12.0 در عنوان شاخصی جهت شناسایی غبار را تعیین می کند. بدین وسیله برآورد حجم غبار برخاسته از زمین در یک طوفان میسر شد. شکل ۱ منحنی دمای درخشندگی را برای چهار باند مذکور در هنگام شب بر حسب پارامتر تیرگی [۲] نشان می دهد، محل های تلاقی باندهای حرارتی با باند فروسرخ نزدیک و تغییر عالمت سه تفاضل فوق ملاک اندازه گیری ذرات معلق جویست.

[۲۹] تابش سطوحی همچون سطح کویر، با رفتان از طول موج ۳/۷۵ میکرومتر به طول موج ۱۲ میکرومتر به سرعت افزایش می یابد اما بازتابندگی این سطوح با بالا رفتان طول موج در این محدوده کاهش می یابد، در شکل (۱) درصد بازتابندگی بر حسب طول موج های مختلف برای شن نشان داده شده است. بنابراین می توان نتیجه گرفت که اطلاعات تصویری سنجنده ماهواره، در این چهار باند برای یک لایه نازک ذرات معلق جوی، بیش از آنکه نتیجه

به کمک طیف فروسرخ حرارتی، شناسایی غبار بر روی سطحی که از همان جنس غبار پوشیده شده بود، با استفاده از سنجنده های ماهواره ای در باند ۱۰/۵ تا ۱۲/۰ میکرومتر انجام گردیده است [۱۲]. در واقع بر اساس مطالعات صورت گرفته بر روی طیف الکترومغناطیسی، تشخیص داده شده که تباین (کنتراست) دمای درخشندگی، در باند فروسرخ بهترین گزینه برای آشکارسازی غبار بر روی سطحی است که از همان غبار پوشیده شده باشد. اما این روش برای آشکارسازی غبار بر سطح اقیانوس مناسب نمی باشد چرا که تصاویر مربوط به این باند، بر فراز آب از تباین لازم، هنگام تشخیص برخوردار نیستند.

۲.۳. روش های آشکارسازی ذرات معلق جوی به کمک دمای درخشندگی

[۲۳] به عنوان راه حل مشکل عدم تباین کافی در فرآیند آشکارسازی و اینکه بتوان تنها با یک باند طیفی، ابر غبار را از ابریخ/آب تشخیص داد، روش های مختلفی پیشنهاد گردیده است. محدوده طیفی مورد استفاده مربوط به سنجنده VIIIRS بوده است که با توجه به جدول (۱) و نزدیک بودن محدوده های طیفی در دو سنجنده VIIIRS و ASTER، در این پژوهش از تصاویر ASTER استفاده شده است.

[۲۴] در سال ۱۹۸۹ توسط Ackerman طی پیشنهادی بر اساس شبیه سازی های انجام شده، اعلام شد که می توان از اختلاف دمای درخشندگی میان دو باند ۳/۷۰ و ۱۰/۸ میکرومتر برای مشاهدات غبار استفاده نمود [۴].

[۲۵] در سال ۱۹۹۱ توسط Legrand پیشنهاد گردید تا از یک روزنه دو گانه ۲ یعنی ۱۰/۸ میکرومتر و ۱۲ میکرومتر در طیف فروسرخ حرارتی استفاده شود [۱۰]. این روش برای آشکارسازی غبار که بر اساس اختلاف دمای درخشندگی میان دو باند طیفی انجام می شود (اختلاف دمای درخشندگی میان باندهای ۱۰/۸ و ۱۲ یا BT10.8-BT12 مورد استفاده قرار گرفت) [۹].

[۲۶] در سال ۱۹۹۷ طی پیشنهادی جدید توسط Ackerman، با یک روش سه طیفی یعنی به کمک باندهای ۷۵۵، ۱۰/۸ و ۱۲ میکرومتر آشکارسازی طوفان غبار و شن انجام گردید [۵]. در این روش، آشکارسازی بر اساس اختلاف دمای درخشندگی میان ۳

و BT3.75-BT12.0، با افزایش تیرگی، از منفی به مثبت تبدیل می شوند. حال آنکه، برای یک سطحی که سیاهرنگ و تیره در تصویر ظاهر می شود، هر سه مقدار BT3.75-BT8.55، BT3.75-BT10.8 و BT3.75-BT12.0 علامت هستند و علامت آنها نه با تغییر دما و نه حتی با تغییر تیرگی عوض نمی شود. دلیل این امر اینست که برای یک سطح تیره، بازتابندگی و پراکنش جو در مقایسه با بازتابندگی از سطح، حد اکثر است. بنابراین به طور خلاصه می توان نتایج روش ۴ طیفی را در جدول ۲ مورد ارزیابی قرار داد.

مقادیر تقاضایی دمای روشنایی برای روش ۴ طیفی	تفسیر
$BT_{3.75}-BT_{8.55} < 0, BT_{3.75}-BT_{10.8} < 0, BT_{3.75}-BT_{12.0} < 0$	غیری در صحنه وجود ندارد
$BT_{3.75}-BT_{8.55} > 0$	حجم غبار، میزان اندکی مارد
$BT_{3.75}-BT_{8.55} > 0, BT_{3.75}-BT_{12.0} > 0$	حجم متوسط غبار
$BT_{3.75}-BT_{8.55} > 0, BT_{3.75}-BT_{10.8} > 0, BT_{3.75}-BT_{12.0} > 0$	سنگین بودن حجم غبار

جدول ۲. تفسیر نتایج روش ۴ طیفی

۳. تصاویر و منطقه مورد مطالعه

تصاویر استفاده شده مربوط به منطقه خوزستان است. در انتخاب منطقه تصاویر سعی شده که در مناطقی باشند که زمین های کشاورزی در آنها قرار داشته باشد و طیف پوششی زمین به سادگی قابل دستیابی باشد. از اینرو، هرسه تصویر مربوط به مناطق شناخته شده کشاورزی هستند که نوع کشت آنها مشخص است. علاوه بر این، در انتخاب زمانی تصاویر سعی شده که علاوه بر انتخاب تصویر از فضیل گرم و سرد منطقه، از یک زمان مابین یعنی فصل بهار نیز استفاده شود. بنابراین تصاویر مورد استفاده توسط سنجنده در تاریخ های ۲۶ مارس (۲۰۰۴ فروردین ۱۳۸۳) و ۲۴ زوئن ASTER (۴ تیر ۱۳۸۵) و ۲۱ نوامبر (۱۰ آذر ۱۳۸۴) اخذ شده است. در پردازش های محاسبه دمای درخشندگی و آشکارسازی ذرات معلق جوی از همه سطح تصویر و همه باندهای حرارتی نمی شود و صرفاً از منطقه کشاورزی تصویر و باندهای حرارتی ۱۰ تا ۱۴ برای محاسبات استفاده می کنیم.

شكل ۲ تصویر اخذ شده به تاریخ ۴ تیرماه ۱۳۸۵ را نشان می دهد.

پراکنش توسط ذرات معلق جوی باشد، حاصل تابش از سطح زمین است (چنین موضوعی تنها برای یک سطح روشن، مانند بیابان اتفاق می افتد و برای تصویری که بر فراز اقیانوس است، مصدق ندارد). حاصل مقادیر BT3.7-BT10.8 - BT3.7-BT8.55 و BT3.7-BT12.0 علامت مثبت خواهد بود [۳].

[۳۰] همان طور که ملاحظه می شود، شکل ۱ دمای درخشندگی (BT12.0، BT10.8، BT8.55، BT3.75) MODTRAN شبیه سازی شده را در شب به ترتیب برای چهار باند (۳/۷۵، ۸/۵۵ و ۱۰/۸ درجه کلوین) میکرومتر) بر حسب تیرگی (ضخامت نوری هوایز در ۰/۵۵ میکرومتر) نمایش می دهد. دمای سطح (T_s) ۳۰۰ درجه کلوین است. محاسبات برای عرض جغرافیایی $20^{\circ}N$ و طول جغرافیایی 35° روی بیابان Sahara در آفریقا و در شب انجام شده است. هنگامی که غلظت ذرات معلق جویی بیابانی افزایش یابند، ملاحظه می شود که علامت مقادیر BT3.7-BT8.55، BT3.7-BT10.8 و BT3.7-BT12.0 از منفی به مثبت تغییر علامت می دهد.

[۳۱] آزمایش های انجام شده نشان می دهد که این روش از استحکام کافی برای استفاده در هر شرایط جوی و بر فراز هر پوشش سطحی برخوردار است. از طریق ترکیب علامت این سه اختلاف دمای درخشندگی، شاخصی به دست می آید که با استفاده از آن، می توان حجم غبار برخاسته از سطح را بآورد کرد.

[۳۲] برای مقادیر کوچک (T_s مثلاً ۲۹۰ درجه کلوین) و مقادیر بزرگ تیرگی، فقط BT3.75-BT8.55 مقدارش از منفی به مثبت تبدیل می شود ولی مقادیر BT3.75-BT10.8 و BT3.75-BT12.0 همیشه منفی می مانند. هنگامی که T_s بزرگ است (مثلاً ۳۳۰ درجه کلوین)، با افزایش تیرگی مقادیر BT3.75-BT10.8 و BT3.75-BT8.55 از منفی به مثبت تبدیل می شوند و همیشه مثبت می ماند. برای دمای سطح حدود ۳۱۰ کلوین، همان طور که در شکل ۵ مشاهده می شود، مقادیر BT8.55 و BT3.75-BT12.0 از منفی به مثبت تغییر علامت می دهند.

[۳۳] نتایج نشان می دهد، هنگامی که سطح با درخشش قابل توجهی در تصویر ظاهر شود، هرسه یا هردو و یا حداقل یکی از تفاضلات دمای درخشندگی BT3.75-BT10.8، BT3.75-BT8.55 از منفی به مثبت

$BT_{B9}-BT_{B14}$	$BT_{B9}-BT_{B13}$	$BT_{B9}-BT_{B11}$	تفاضل دمای درخشندگی تصویر
-+/-+٢٢٢٢	-+/-+١٠١٦	+0/+٠١٩٣	تصویر «الف»
-+/-+٥٤٣	-+/-+٣٠١٤	-+/-+١٠٧٩	تصویر «ب»
-+/-+٣٧٧١	+0/+٠٠٩٨٦	+0/+٠٠٣٠٥٦	تصویر «ج»
-+/-+٢٨٥٨	-+/-+١٠٦٦	+0/+٠٠١٣٣	تصویر «د»

جدول ۳. میانگین تفاضل دمای روشنایی برای قسمت هایی که حاصل، NaN نیست، در

تصویر شکل ۲

شکل ۳ تصویر اخذ شده مورخه ۱ آذرماه ۱۳۸۴ را نشان می دهد که در این تصویر، نیمه سمت چپ تصویر را سطوح بیابانی پوشانده است. جدول ۴ نتایج اختلاف دمای درخشندگی را برای باندهای این تصویر نشان می دهد.

$BT_{B9}-BT_{B14}$	$BT_{B9}-BT_{B13}$	$BT_{B9}-BT_{B11}$	تفاضل دمای درخشندگی تصویر
-+/-+٥٠٦	+0/+٠١١٣٩	+0/+٠٤١٤٣	تصویر «الف»
-+/-+٣٧٧٧	-+/-+١٠٣٣	-+/-+٠٩٦٩	تصویر «ب»
-+/-+٣٠٠٥	-+/-+١١٨٥	-+/-+٠٥١٠	تصویر «ج»
-+/-+١٨٨١	-+/-+٠٩٤٢	+0/+٠١٢٥	تصویر «د»

جدول ۴. میانگین تفاضل دمای روشنایی برای قسمتهایی که حاصل، NaN نیست، در

تصویر شکل ۳



شکل ۳. تصویر ۱ آذرماه ۱۳۸۴. چهار ناحیه برای مطالعه و آشکارسازی ذرات معلق

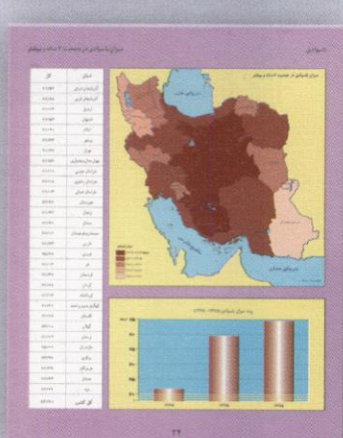
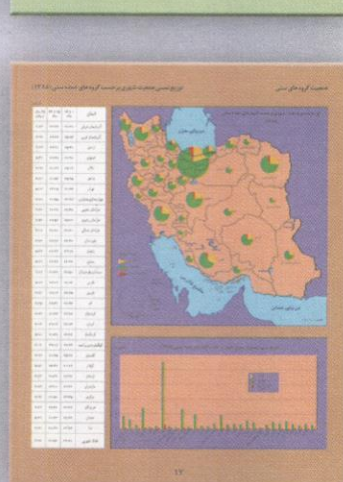
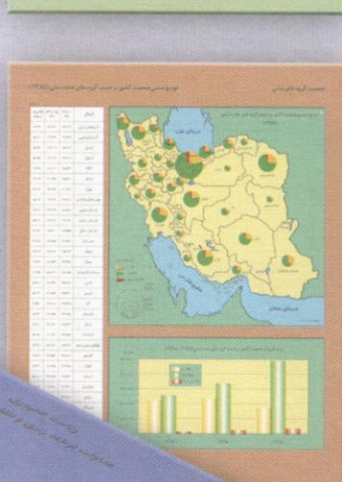
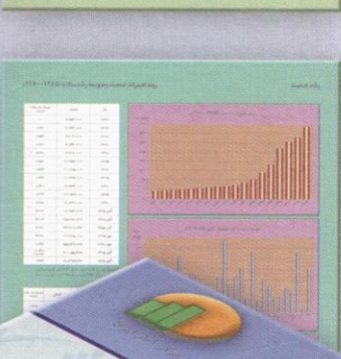
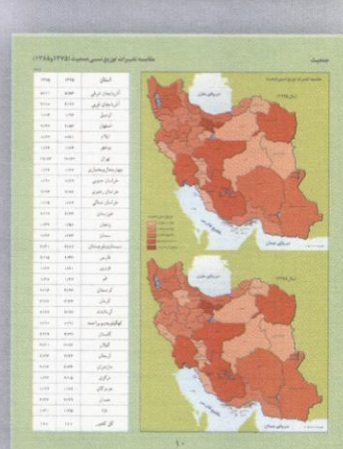
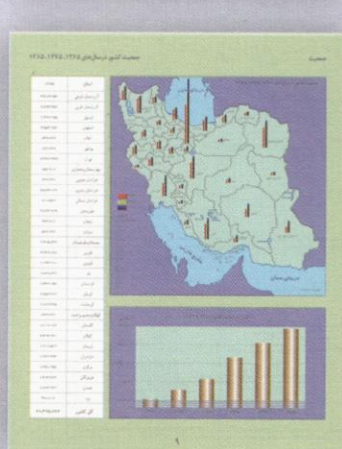
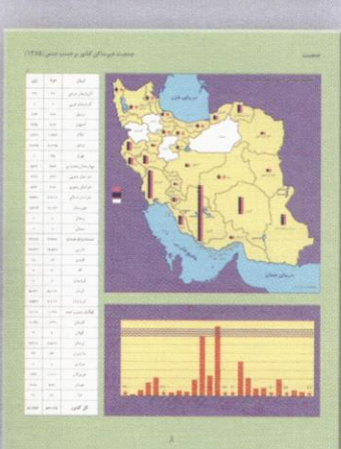
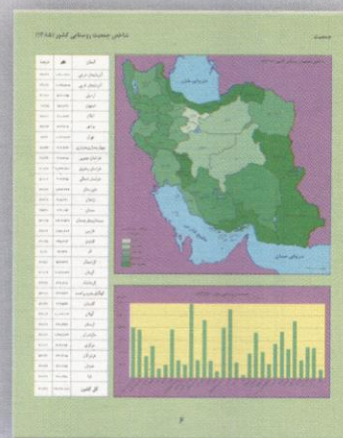
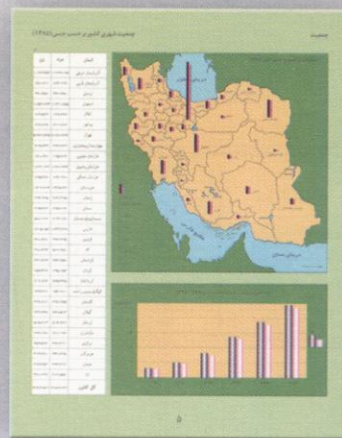
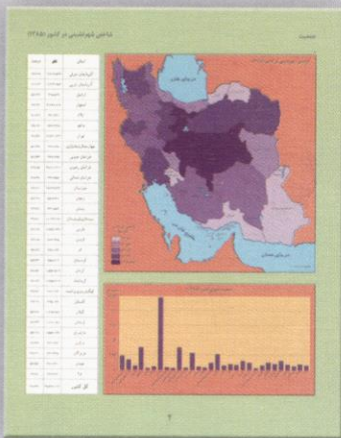
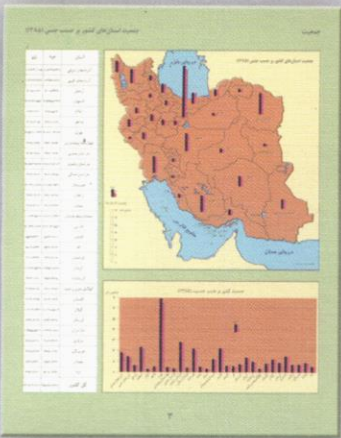
جوی انتخاب گردیده است.



شکل ۲. تصویر ۴ تیرماه ۱۳۸۵. چهار ناحیه برای مطالعه و آشکارسازی ذرات معلق

جوی انتخاب گردیده است.

در تصویر شکل ۲، سطح عمدۀ صحنه را بیابان تشکیل می دهد که با توجه به اینکه منع اصلی هوایز غبار، از سطح بیابان است، انتظار می رود که بر روی قسمت های کشاورزی، هوایز وجود داشته باشد. برای این منظور، قسمت هایی از مناطق کشاورزی جهت مطالعه حضور هوایز مطالعه گردید. به ترتیبی که در شکل ۲ ملاحظه می شود، چهار ناحیه انتخاب گردید و معادله دمای درخشندگی بر روی تصویر آن ناحیه اعمال شد. نتایج در جدول ۳ آمده است. بر اساس جدول ۳ و تفسیر خروجی ها طبق جدول ۲، در ناحیه «ب» غباری در صحنه وجود ندارد و در نواحی «الف» و «د» غبار اندکی در صحنه آشکارسازی شده است. در ناحیه «ج» حجم متوسطی از غبار در صحنه است. لازم به ذکر است که مقدار پیکسل ها در تصاویر خروجی حاصل از اعمال رابطه (۵) بر روی تصویرهای بریده شده ای که اشاره گردید، همان طور که در جدول ۳ آمده، صفر هستند که مقدار بسیار کوچک پیکسل ها قابل Stretch نیستند. در برخی از مناطق تصویر نیز، مقدار پیکسل ها NaN می باشد که در میانگین گیری از آنها صرف نظر شده است.



اطلس گزیده نتایج سرشماری عمومی نفوس و مسکن سال ۱۳۸۵ منتشر شد.

اطلس حاضر به عنوان محصول فعالیت مشترک سازمان نقشه برداری کشور و مرکز آمار ایران با هدف ارائه نتایج سرشماری با روشی متفاوت از گذشته و با بهره‌گیری از نقشه تهیه گردیده است.

در این اطلس نتایج سرشماری جمعیت علاوه بر جداول آماری و نمودارها که در سایر گزارش‌های مرکز آمار ایران متداول می‌باشد بر روی نقشه نیز نمایش داده شده اند.

مقادیر محاسبه شده در جدول ۵ را می‌توان ناشی از آلودگی‌های این منطقه عنوان کرد.

برای ارزیابی روش فوق، رابطه اشاره شده را بر روی کل تصویر سوم این پروژه، یعنی تصویر ۶ فروردین ۱۳۸۳ اعمال می‌کنیم. شکل ۴ تصویر مذکور را نشان می‌دهد و نتایج ارزیابی در جدول ۵ آمده است.

۵. پانوشت‌ها

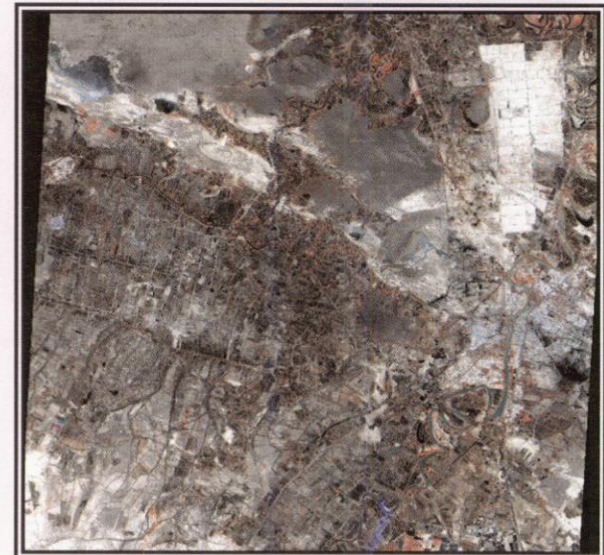
- 1- Noise
- 2- Split Window
- 3- Turbidity
- 4- Not a Number

$BT_{B9}-BT_{B14}$	$BT_{B9}-BT_{B13}$	$BT_{B9}-BT_{B11}$	تفاضل دمای درخشندگی تصویر شکل ۴
-0.000399	+0.002904	+0.002821	

جدول ۵. میانگین تفاضل دمای روشنایی برای قسمت‌هایی که حاصل NaN نیست، در تصویر شکل ۳ تفاضل دمای درخشندگی

۶. منابع

۱. مبایری، محمد رضا (۱۳۸۵)، مبانی فیزیک در سنجش از دور و فناوری ماهواره، فصل چهارم، انتشارات انتشارات دانشگاه صنعتی خواجه نصیرالدین طوسی.
۲. علی غفوری، محمد رضا مبایری (۱۳۸۶)، ارائه روشی بهینه در تصحیح اثر هوازی‌ها در تصاویر سنجنده همایش ژئوماتیک ۸۶، سازمان نقشه برداری کشور
۳. علی غفوری (۱۳۸۴)، آشکارسازی ذرات معلق جویی جوی در تصاویر ماهواره‌ای، سمینار کارشناسی ارشد، دانشگاه صنعتی خواجه نصیرالدین طوسی.
4. Ackerman S.A. (1997). Remote sensing of aerosols using satellite infrared observations.
5. Ackerman S.A. (1989). Using the radiative temperature difference at 3.7 and 11.7m to track dust outbreaks.
6. <http://www.geo.mtu.edu/department/classes/ge404/gcmayber/intro.html>
7. Barton I.J. and A.J. Prata, (1992). Identification of the Mount Hudson volcanic cloud over SE Australia.
8. Kaufman Y.J.(1992). Biomass burning Airborne and Spaceborne experiment in the Amazonas (BASA-A).
9. Legrand M. (1989). The potential of infrared satellite data for the retrieval of Saharan-dust optical depth over Africa.
10. Prata A.J. (1989). Infrared radioactive transfer calculations for volcanic ash clouds.
11. Vermote E. and B. Margerin (2001). A Global Monthly Coarse Resolution Reflectance Data Set from SeaWiFS for use in Land, Ocean, and Atmosphere applications.
12. Vermote E. D. and Tanre (1997). Second Simulation of the Satellite Signal in the Solar Spectrum (6S).
13. Volcanic Ash Clouds and Aircraft Safety <http://www.geo.mtu.edu/department/classes/ge404/gcmayber/>
14. Wald, A.E. and Y.T. Kaufman (1998). Daytime and nighttime detection of mineral dust over desert using infrared spectral contrast.



شکل ۴. تصویر ۶ فروردین ۱۳۸۳. مطالعه آشکارسازی غبار بر کل این تصویر صورت گرفته است.

۴. نتیجه‌گیری و پیشنهادات

نتایج اعمال روش ۲۰۰۲ بر روی تصاویر منطقه خوزستان که عمدتاً مناطق کشاورزی بودند، اعمال گردید و نتایج طی جداول مربوطه ارائه شد. نکته قابل توجه در مورد تصویر سوم مقادیر نسبتاً بالای حاصل از محاسبات می‌باشد. در قسمت شرق تصویر، یک منطقه شهری یا صنعتی مشاهده می‌شود که بزرگی

مشخصات فنی و ساختار دوربین‌های رقومی هوایی

نویسنده: - سردبیر نشریه Mathias Lemmens

مترجمان:

رئیس اداره تبدیل، اداره کل نقشه‌برداری هوایی، سازمان نقشه‌برداری کشور

مهندس علیرضا سالک‌نیا

saleknia@ncc.org.ir

مهندس علی اسلامی راد

eslamirad@ncc.org.ir

مشاور فنی، سازمان نقشه‌برداری کشور

می‌گیرند، تشکیل شده است. معمولاً ساختار سنجنده‌های خطی که اسکنر جارویگر^۲ نیز نامیده می‌شوند، از یک مجموعه عدسی تشکیل شده است. با قرار دادن سه آرایه خطی و یا بیشتر در صفحه کانونی و تاباندن بخش‌های مختلفی از طیف مرئی و مادون قرمز امواج الکترومغناطیسی بر روی آنها، امکان تصویربرداری رنگی (یا تصویربرداری چند طیفی) برای این نوع دوربین‌ها میسر می‌شود. این در حالیست که دوربین‌های استفاده کننده از CCD های سطحی، عموماً شامل مجموعه‌ای از چند عدسی می‌باشند. با توجه به اینکه اصلی‌ترین روش‌های مورد استفاده توسط شرکت‌های تولید کننده دوربین‌های هوایی مبتنی بر معماری خطی و سطحی می‌باشد، دوربین‌های هوایی معرفی شده در این مقاله نیز بر این اساس دسته‌بندی گردیده‌اند.

۱. دوربین‌های با سنجنده سطحی

۱.۱. شرکت Applanix

دو سیستم تولید شده توسط شرکت Applanix کانادا با نام اختصاری DSS، مجموعه‌ای یکپارچه از یک دوربین رقومی با بعد تصویر متوسط، سیستم زمین-مرجع ساز مستقیم^۳ تصاویر مبتنی بر GPS و INS با نام تجاری POS-AV و سیستم مدیریت پرواز است و قادر به تهیه سریع موزاییک‌های تصویری قائم از سطح زمین می‌باشد (شکل ۱).

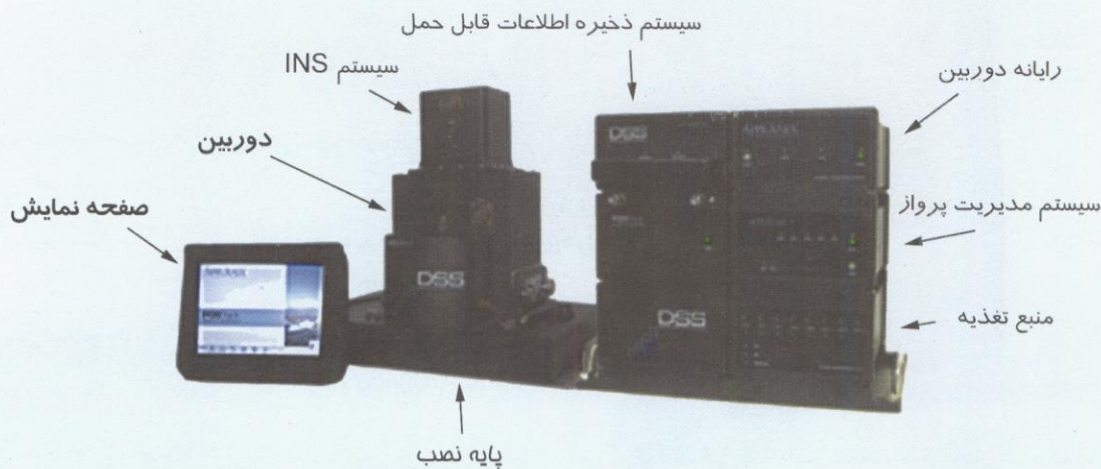
سیستم POS-AV پارامترهای توجیه خارجی تصاویر اخذ شده را به طور همزمان و یا پس از پایان عملیات عکسبرداری تأمین می‌کند. سنجنده‌های DSS اگرچه با کمک داده‌های سیستم POS-AV و همچنین مدل ارتفاعی رقومی زمین (DEM) قادر به تولید موزاییک‌های قائم با وضوح بالا به صورت رنگی و یا مادون قرمز

مهم‌ترین مزایای دوربینهای رقومی نسبت به دوربین‌های آنالوگ، کارایی بهتر رادیومتریک، حذف فرآیند ظهور فیلم و هزینه‌های مربوط به اسکن عکس‌های آنالوگ می‌باشد. دسترسی مستقیم به محتوا تصاویر در قالب تصاویر رقومی، کاربران را قادر می‌سازد تا نسبت به ایجاد روند کاری کاملاً خودکار برای تولید محصولات مختلف فتوگرامتری از قبیل ارتوفتو و موزاییک‌های تصویری در کمترین فاصله زمانی ممکن پس از عکسبرداری هوایی اقدام نمایند. این قابلیت برای پاسخگویی سریع به نیازها پس از وقوع بلایای طبیعی و حوادث غیر مترقبه بسیار مفید می‌باشد.

۱. سنجنده‌های خطی و سطحی

قدرت تفکیک رادیومتریک ۱۲ بیتی و بیشتر برای هر پیکسل، حساسیت نوری بهتری را تأمین می‌نماید به طوری که با استفاده از روش‌های بهبود تصاویر می‌توان عوارض موجود در روی زمین را در قسمت‌هایی از تصویر که به علت بازتاب شدید نور، بیش از حد روشن شده و یا به علت قرار گرفتن در سایه یا پشت پوشش ابر، بیش از حد تاریک می‌باشند، به نمایش درآورد. این مزیت تصاویر رقومی موجب گسترش دامنه زمان مناسب برای تصویربرداری در طول روز و همچنین در طول سال خواهد شد به طوری که با ایجاد قابلیت تصویربرداری در برخی روزهای ابری، موجبات افزایش بهره‌وری در پروژه‌های نقشه‌برداری را فراهم خواهد آورد.

اصلًا ساختار یک دوربین رقومی هوایی، از المان‌های تصویری CCD^۴ خطی و یا سطحی که در صفحه کانونی دوربین قرار



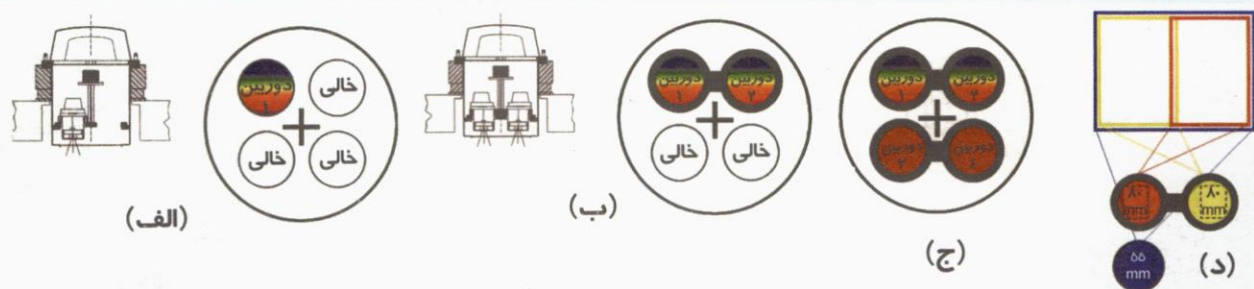
شکل ۱. ساختار کلی سنجنده DSS ساخت شرکت Applanix

دامنه تنوع کاربرد این دوربین از تولید و به روز رسانی نقشه ها و پایگاه های اطلاعاتی کاداستر تا تأمین سریع نیازهای اطلاعاتی برای مدیریت حوادث غیر مترقبه می باشد.

۱.۱.۲ شرکت DIMAC Systems

هر دوربین سیستم DIMAC با یک عدسی و CCD مستقل، تصویری رنگی یا مادون قرمز به ابعاد ۵۴۱۲ در ۷۲۱۶ پیکسل و اندازه ۶۸ میکرونی اخذ می نماید. فاصله کانونی عدسی ها ۵۵، ۸۰ و ۱۲۰ میلی متر بوده و اندازه زمینی پیکسل ها از ۲ تا ۱۰۰ سانتی متر متغیر می باشند. قاب استوانه ای شکل دوربین^۶، ترکیب حداقل ۴ مژول دوربین^۷ را در یک سیستم ممکن می سازد. ساده ترین ساختار دوربین می تواند تنها شامل یک دوربین باشد(شکل ۲-الف)، ولی در عین حال دو مژول دوربین نیز می تواند در این قاب قرار گیرند به طوری که یک تصویر رنگی باقدرت تفکیک کمتر از دو برابر ۵۴۱۲ پیکسل، یعنی ۱۰۵۰۰ پیکسل در ۷۲۰۰ پیکسل را تولید نمایند(شکل ۲-ب). دو دوربین اضافی دیگر هم می توانند در قسمت خالی این قاب قرار گیرند (شکل ۲-ج)، که نتیجه یک تصویر با قدرت تفکیک ۱۴۴۰۰ در ۱۰۵۰۰ پیکسل خواهد بود. ترکیب دیگر این سیستم با اضافه کردن سنجنده مادون قرمز در قسمت دوربین ۲ (CM2) که همان منطقه دوربین شماره یک را پوشش می دهد و یا با به کار بردن دوربین مادون قرمز با فاصله کانونی ۵۵ mm در محل دوربین ۳ (CM3) که همان منطقه تحت پوشش دوربین های شماره ۱ و ۲ را پوشش می دهد، به دست می آید(شکل ۲-د).

می باشند، ولی طراحی آنها به گونه ایست که امکان تصویربرداری سه بعدی برای استخراج DEM و سایر کاربردهای فتوگرامتری را فراهم می آورند. داده های تولید شده می توانند به طور مستقیم و یکپارچه به نرم افزارهای فتوگرامتری منتقل شده و بدین ترتیب امکان تولید سریع نقشه فراهم گردد. سنجنده DSS 322 دارای آرایه ای متشکل از ۵۴۳۶ پیکسل در جهت عمود بر خط پرواز و ۴۰۹۲ پیکسل در راستای خط پرواز بوده و تصاویر آن در کل ۲۲ مگا پیکسل است. سنجنده DSS 439 دارای آرایه ای متشکل از ۵۴۱۲ در ۷۲۱۶ پیکسل و تصاویر ۳۹ مگا پیکسلی می باشد. اندازه پیکسل سنجنده DSS 322، ۹ میکرون و اندازه پیکسل دوربین ۶/۸، DSS 439 میکرون است. میدان دید این دوربین ها یکسان و اندازه زمینی پیکسل ها از ۳۷۳ سانتی متر تا یک متر، بسته به نوع سکوی عکسبرداری و لنزهای ۴۰ و ۶۰ میلی متری مورد استفاده، متغیر می باشد. وزن دوربین DSS ، ۷ کیلوگرم است و به عنوان یک دوربین با ابعاد متوسط می تواند به عنوان مکمل دوربین هایی با ابعاد بزرگ مورد استفاده قرار گیرد. این دوربین می تواند بر روی هوایپماهای کوچک، سبک و ارزان قیمت و همچنین بالگرد نصب شود. این دوربین از سپتامبر ۲۰۰۷ تا کنون تنها دوربین هایی با ابعاد متوسط است که توسط سازمان نقشه برداری و زمین شناسی آمریکا (USGS) به عنوان یک سیستم متریک تولید نقشه با ثبات هندسی مناسب به رسمیت شناخته شده است (مجله GIM شماره سپتامبر ۲۰۰۷ تحت عنوان برنامه تضمین کیفیت سازمان نقشه برداری و زمین شناسی آمریکا برای تصاویر رقومی هوایی).



شکل ۲. ساختار مازولار دوربین شرکت DiMAC و نحوه استفاده از ترکیب های مختلف دوربین



شکل ۳. نمای ظاهری دوربین DigiCAM ساخت شرکت IGI

با حجم 115° تصویر جایگزین شود. رایانه کنترل کننده دوربین با نام تجاری DigiControl قادر دیسک سخت می باشد. عدسی های مورد استفاده از لحاظ نسبت حداقل قطر گشودگی دیافراگم به فاصله کانونی موارد زیر را شامل می شوند (بر حسب میلی متر): $4.5/300$ ، $4.5/500$ ، $3.5/800$ ، $2.2/100$ ، $2.2/150$ ، $3.5/35$ و $4.2/8$

ساختار مازولار این سیستم امکان تغییر حالت عکسبرداری برای تمام دوربین ها از حالت رنگی به مادون قرمز در چند دقیقه را فراهم نموده است. حداقل فاصله زمانی بین دو عکس متوالی در این سیستم 0.52 ثانیه می باشد. امکان دستیابی به فاصله زمانی کوتاهتر برای تعداد محدودی عکس نیز وجود دارد.

۱.۱.۴. شرکت Intergraph

ساختار دوربین عکسبرداری رقومی شرکت اینترگراف با نام تجاری DMC^{۱۰}، مشتمل از هشت آرایه CCD مستقل است (شکل ۴). هر یک از این هشت واحد دوربین دارای عدسی های جداگانه بوده و یک قاب مستحکم و یکپارچه، دقت امتدادهای محورهای نوری را تضمین می کند. چهار مازول از این هشت دوربین، مجهر به عدسی 12° میلی متری بوده و توسط چهار CCD سطحی خود با قدرت تفکیک هر یک 4000×4000 پیکسل، تصاویر سیاه و سفید

دوربین ساخت این شرکت با نام تجاری DigiCAM به ابعاد $12 \times 13 \times 10$ سانتی متر و وزن $7/8$ کیلوگرم، یک دوربین با ابعاد متوسط است که در واقع از یک دوربین رقومی حرفة ای پیشرفته به همراه رابط گرافیکی برای نمایش همزمان تصاویر و سیستم AEROcontrol مدیریت پرواز CCNS^۴ و سیستم مرجع دهی مستقیم که متعلق به شرکت IGI می باشند ترکیب شده است (شکل ۳). این سیستم دارای قابلیت استفاده همزمان از دو دوربین و یا بیشتر می باشد که نتیجه آن افزایش ابعاد تصویر می باشد. هر تراشه CCD مورد استفاده در این دوربین مشتمل بر 39 میلیون پیکسل (5412×7216 پیکسل) به ابعاد هر پیکسل $6/8$ میکرون است. تنظیمات دوربین با استفاده از تصاویر نمایش سریع^۸ و هیستوگرام های تصاویر به صورت همزمان انجام می گیرد. در مواردی که عکسبرداری هوایی با طراحی قبلی مدد نظر باشد دوربین توسط سیستم مدیریت پرواز CCNS^۴ کنترل می گردد. تیغین پارامترهای توجیه خارجی توسط سیستم مرجع دهی مستقیم مبتنی بر GPS و IMU^۹ با نام تجاری AEROcontrol که در قاب دوربین نصب شده و قابلیت کار با یک یا چند دوربین را دارد، انجام می گیرد. در مواردی که از چند دوربین برای عکسبرداری استفاده می شود، همزمانی دوربین ها با دقت چند میکرو ثانیه قابل انجام است.

این دوربین شامل دو واحد ذخیره اطلاعات با قابلیت ذخیره تصویر رنگی 16 بیتی با قدرت تفکیک کامل می باشد و به منظور افزایش حجم ذخیره تصاویر، امکان تعویض آنها در خلال پرواز نیز وجود دارد. این واحد ذخیره اطلاعات استاندارد می تواند در پروازهای با ارتفاع بالا با یک حافظه غیر مکانیکی از نوع Flash

تخلیه اطلاعات و کنترل کیفیت تصاویر به وجود خواهد آمد.



شکل ۵. دوربین Vexcel/Microsoft UltraCam x محصول شرکت

و نحوه قرار گیری دوربین آن

۱۱.۶. شرکت RolleiMetric

سری دوربین های هوایی این شرکت با نام تجاری AIC^{۱۱} برای مقاصد هوایی و صنعتی طراحی شده و به عنوان جایگزینی برای دوربین های با تصاویر بزرگ اندازه مطرح می باشند. بدنه دوربین (قسمت های الکترونیکی) و همچنین عدسی های آن ساخت شرکت Rollei می باشد. فاصله کانونی عدسی های با ابعاد متوسط شامل ۵۰، ۸۰، ۹۰، ۱۲۰، ۱۵۰ میلی متر بوده و فاصله کانونی عدسی های سری Pro به ترتیب ۳۵، ۴۷، ۶۰ و ۷۲ میلی متر می باشند. این عدسی ها با فاصله کانونی ثابت و سیستم الکترونیکی مناسب، برای مصارف فتوگرامتری طراحی گردیده اند. سرعت شاتر این دوربین ها بالاتر از ۷۱۰۰۰ ثانیه بوده و بدین ترتیب قادرند خطای ناشی از حرکت روبه جلو هواییما در زمان عکسبرداری را تصحیح نمایند. سری عدسی های Pro به صورت متقارن بوده و برای دوربین های رقومی به اندازه پیکسل کوچک طراحی گردیده اند به طوری که با استفاده از آنها عکسبرداری با قدرت تفکیک بالا و با کمترین جابه جایی رنگ در تصویر، امکان پذیر خواهد بود. در صفحه کانونی این دوربین، تراشه CCD رنگی ساخت شرکت کداک با قدرت تفکیک ۲۲ یا ۳۹ میلیون پیکسل و فیلتر های رنگی و مادون قرمز ساخت شرکت بایر که مقابله CCD نصب شده، قرار گرفته اند. با تعویض این فیلترها می توان تصاویر رنگی (RGB) و مادون قرمز نزدیک و مادون قرمز

(پانکروماتیک) از منطقه ثبت می کنند. به طور همزمان چهار دوربین دیگر هر یک با عدسی ۲۵ میلی متری (زاویه باز) و آرایه ۲۰۰۰x۳۰۰۰ پیکسلی خود، سه باند رنگی قرمز، سبز، آبی و باند مادون قرمز نزدیک را نیز ثبت می نمایند.



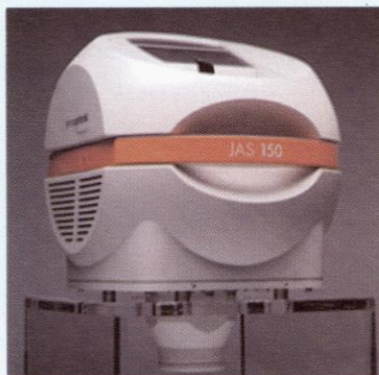
شکل ۴. اصول طراحی دوربین DMC محصول شرکت Intergraph

۱۱.۵. شرکت Microsoft/Vexcel

دوربین ساخت این شرکت با نام تجاری UltraCam x متشکل از قسمت های سنجنده، سیستم اخذ و ذخیره تصاویر، رابط ارتباطی و کنترل سیستم، سیستم قابل حمل ذخیره داده ها و نرم افزارهای کار با دوربین و پردازش تصاویر و اطلاعات ثبت شده پس از پرواز می باشد. این سیستم از هشت مجموعه دوربین مستقل تشکیل شده است که شامل چهار دوربین دیگر برای اخذ تصاویر سیاه و سفید (پانکروماتیک) و چهار دوربین دیگر برای اخذ تصاویر چند طیفی استفاده می شوند (شکل ۵). این دوربین مجموعاً از سیزده CCD که هر یک تصاویری با حجم ۱۶ مگاپیکسل اخذ می نمایند، تشکیل شده است. با این مجموعه عدسی ها امکان تهیه تصاویر ترکیبی (PanSharpened) به نسبت یک به سه و وجود دارد. سیستم ذخیره اطلاعات در این دوربین شامل دو واحد مستقل و موازی ذخیره اطلاعات می باشد که امکان تعویض هر کدام از این واحدها ظرف چند دقیقه وجود دارد. تخلیه تصاویر با استفاده از یک ایستگاه واسطه که دارای چهار کانال موازی برای انتقال اطلاعات است انجام می گیرد. با استفاده از این ایستگاه امکان تخلیه ۴۰۰۰ تصویر در مدت هشت ساعت وجود دارد که بدین ترتیب امکان ایجاد یک روند کاری ۲۴ ساعته برای پرواز،

کنترل فرامین، ثبت اطلاعات، تعیین موقعیت و توجیه دوربین و مدیریت پرواز را بر عهده دارند. این دوربین به یک سیستم کنترل کیفیت تصاویر خام (به صورت همزمان و پس از پرواز) مجهز است که می‌تواند هر خط تصویر را در خلال پرواز برسی نماید. تنظیم تمامی پارامترهای دوربین از قبیل زمان نوردهی، اعمال زاویه دریفت، فرامین سیستم INS و همچنین کنترل پارامترهای وضعیت دوربین در هنگام پرواز امکان‌پذیر است.

با این دوربین می‌توان تصاویر چند طیفی شامل مادون قرمز رنگی (CIR) با دقیق ۳ سانتیمتر از ارتفاع ۱۰۰۰ متری اخذ نمود.



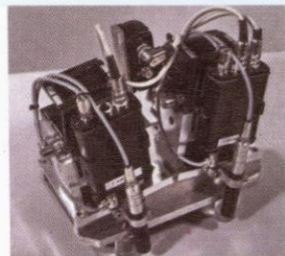
شکل ۷. نمای ظاهری اسکنر هوایی JAS 150s محصول شرکت Jena

۱.۲.۲. شرکت Leica-Geosystems

دوربین ADS 40، دومین نسل سنجنده‌های رقومی هوایی از شرکت Leica-Geosystems است که بر اساس سنجنده‌های خطی ساخته شده است (شکل ۸). این دوربین با استفاده از دوازده آرایه CCD خطی امکان اخذ ۱۱۵ میلیون پیکسل در ثانیه را دارد و با دو ترکیب اصلی بانام‌های SH51 با امکان اخذ تصاویر چند طیفی و پانکروماتیک با ۱۰۰٪ پوشش طولی برای تولید ارتوفتو و SH52 بالمقابل اخذ تصاویر پانکروماتیک، رنگی و مادون قرمز رنگی پوشش دار عرضه می‌شود. در این دوربین مجموعه عدسی‌های هم محور به همراه سیستم ثبیت درجه حرارت آن، تجهیزات صفحه کانونی و سیستم IMU در داخل یک مجموعه یکپارچه قرار گرفته‌اند تا از پایداری تنظیمات دوربین در دراز مدت اطمینان حاصل گردد. استفاده از یک مجموعه عدسی و جدایت‌نده شعاع‌های نوری جدید، اتلاف انرژی را کاهش داده و امکان تولید

رنگی (NIR) و CIR ثبت نمود.

تنظیمات هندسی این عدسی‌ها توسط شرکت Rollei Metric و تنظیمات طیفی سنجنده توسط شرکت Phase one انجام می‌گیرد. تمامی تنظیمات دوربین شامل سرعت شاتر و قطر گشودگی دهانه دیافراگم توسط رایانه متصل به سیستم انجام شده که وظیفه ارتباط با سیستم IMU/GPS (سیگنال‌های زمان عکسبرداری) و سیستم مدیریت پرواز (FMS) را به صورت الکترونیکی بر عهده دارد. ساختار دوربین‌های سری AIC اجزا ترکیب تا هشت دوربین استاندارد از این مدل را در یک قاب فراهم می‌آورد و هماهنگی بین این دوربین‌ها توسط یک برد الکترونیکی فراهم می‌شود (شکل ۶). بدین ترتیب سیستم AICx2 شامل دو دوربین و سیستم AICx4 شامل چهار دوربین مجزا است که بر اساس میزان همپوشانی مورد نظر، می‌تواند تصاویری با ابعاد 13000×10000 پیکسل اخذ نمایند.



شکل ۸. نمای ظاهری دوربین AIC محصول شرکت RolleiMetric (چپ) و ترکیب

دونایی از این دوربین (راست)

۱.۲. دوربین‌های با سنجنده خطی

۱.۲.۱. شرکت Jena

اسکنر هوایی Jena با نام تجاری JAS 150s بر اساس فن آوری اسکنرهای جارویگر (آرایه‌های خطی) طراحی شده است (شکل ۷). عرض زمینی پیکسل‌های تصویر وابسته به ارتفاع پرواز و طول زمینی آنها به سرعت پرواز بستگی دارد. برای اخذ تصاویر با پیکسل مربع شکل در روی زمین، ۲۹ میلی متری از آن می‌توان ۷۲۵ میلی ثانیه (که مترادف با فرکانس نمونه گیری ۸۰۰ هرتز بوده) تا ۱۰/۱۲ میلی ثانیه و چهار حالت تلفیق پیکسل‌ها که با استفاده از آن می‌توان تا هشت پیکسل را در یک پیکسل تلفیق نمود، در نظر گرفته شده است. این موضوع باعث انعطاف‌پذیری مناسبی در انتخاب ارتفاع و سرعت پرواز خواهد شد. چهار سیستم فرعی وظیفه

فناوری جدید استفاده شده و امکان ارتقا آن همگام با توسعه فناوری و نیازهای آینده وجود دارد.

انتقال اطلاعات تصویری از بخش الکترونیک سیستم به رایانه از طریق سیستم ارتباطی استاندارد PCI-X ۶۴ بیتی انجام می‌گیرد. در این ارتباط یک کانال برای کنترل و همچنین امکان ارتفاع نرم افزار نیز در نظر گرفته شده است.



شکل ۹. دوربین 3-DAS-1 ساخت شرکت Wehrli

تصاویر با وضوح یکسان در پنج طیف را فراهم نموده و بدین ترتیب نیازی به تولید تصاویر رنگی از طریق تلفیق تصاویر سیاه و سفید (pan sharpening) نمی‌باشد. سیستم تعیین موقعیت و وضعیت 10 IPAS متعلق به شرکت Leica، امکان زمین مرجع نمودن مستقیم تصاویر را با دقت کمتر از یک پیکسل فراهم می‌آورد. بسته به دقت مورد نیاز، تصاویر می‌توانند بدون نیاز به نقاط کنترل زمینی و ایستگاه‌های مرجع پردازش شوند. کاربردهای این سیستم شامل تولیدات ارتوفتو، استخراج عوارض و سنجش از دور می‌باشد.



شکل ۸. سیستم نصب شده سنجنده ADS40 محصول شرکت Leica Geosystems

۴. پانوشت‌ها

1. Charge Coupled Device
2. Pushbroom
3. Digital Sensor System
4. Direct Georeferencing System
5. Ground Pixel Size (GSD)
6. Camera Cylindrical Frame (CCF)
7. Camera Module
8. Quick View
9. Inertial Measurement Unit
10. Digital Mapping Camera
11. Aerial Industrial Camera

۵. منبع

مجله ۲۲ - آوریل ۲۰۰۸ - شماره GIM International

۱۲.۳. شرکت Wehrli

دوربین هوایی شرکت Wehrli با نام تجاری 3-DAS-1 متشکل از سه دوربین می‌باشد که هر یک دارای عدسی با فاصله کانونی ۱۱۰ میلی‌متری نصب شده بر روی پایه خنثی کننده حرکت‌های زاید است. یک IMU به صورت کاملاً متصل به دوربین مستقیماً در بالای آن نصب شده و یک آنتن GPS در بالای دوربین با یک فاصله ثابت بدون زاویه نسبت به آن نصب می‌شود. دوربین وسط به صورت عمودی، دوربین جلو با زاویه ۲۶ درجه و دوربین عقب با زاویه ۱۶ درجه نسبت به محور قائم نصب شده‌اند (شکل ۹). هر دوربین دارای ۳ آرایه خطی رنگی کذاک برای تصویربرداری با ۸۰۰۲ پیکسل با ابعاد ۹×۹ میکرون می‌باشد. به جای استفاده از یک عدسی برای پوشاندن کل میدان دید سنجنده‌های عقب، جلو و عمودی، در این سیستم از سه مجموعه عدسی جداگانه برای هر دوربین استفاده شده است. نرم افزار این سیستم تحت سیستم عامل ویندوز Vista کار می‌کند. در سیستم الکترونیک این دوربین از

گزارش برگزاری بیست و یکمین کنفرانس انجمن بین‌المللی فتوگرامتری و سنجش از دور (ISPRS)

«پکن ۱۲ تا ۲۲ تیرماه ۱۳۸۷»

نویسنده‌گان:

مهندس علی اسلامی راد

مشاور فنی، سازمان نقشه‌برداری کشور

eslamirad@ncc.org.ir

مهندس محمد سرپولکی

مشاور فنی سازمان نقشه‌برداری کشور

sarpoulaki@ncc.org.ir



سال ۱۳۸۷ در شهر پکن برگزار گردید.

مقدمه

انجمن بین‌المللی فتوگرامتری و سنجش از دور (ISPRS) سازمانی بین‌المللی غیر دولتی است که با هدف گسترش و پیشبرد علوم فتوگرامتری و سنجش از دور و همچنین کاربردهای آن ایجاد شده است. فعالیت‌های اصلی این انجمن بر طبق اساسنامه عبارتند از:

- برگزاری دوره‌ای کنفرانس‌های بین‌المللی جهت ارائه مقالات، بحث و تبادل نظرهای علمی و فنی، برگزاری نمایشگاه، بازدیدهای فنی و ایجاد ارتباط بین کارشناسان.
 - تشویق متخصصان به انجام تحقیقات و فعالیت‌های علمی در زمینه فتوگرامتری و سنجش از دور از طریق ایجاد کمیته‌های فنی و گروه‌های کاری.
 - نشر نتایج تحقیقات و فعالیت‌های علمی در زمینه‌های مرتبط در سطح بین‌المللی از طریق ایجاد و انتشار بایگانی بین‌المللی فتوگرامتری و سنجش از دور.
 - همکاری در جهت ایجاد انجمن‌های ملی فتوگرامتری و سنجش از دور و ایجاد ارتباط مستمر و مناسب بین این انجمن‌ها.
- در این راستا، کنفرانس‌هایی با دوره‌های زمانی چهار ساله در یکی از کشورهای عضو برگزار می‌شود. این کنفرانس‌ها علاوه بر فراهم آوردن فضای مناسب جهت ارتباط متخصصان مرتبط، زمینه‌ساز برگزاری مجمع عمومی انجمن و اتخاذ تصمیمات مقتضی برای ادامه کار انجمن و گروه‌های کاری وابسته در دوره زمانی چهار ساله آینده می‌باشد. مجموعه حاضر گزارش برگزاری بیست و یکمین کنفرانس بین‌المللی این انجمن است که در تیر ماه

۱. بیست و یکمین کنفرانس انجمن بین‌المللی**فتوگرامتری و سنجش از دور**

بیست و یکمین کنفرانس انجمن در سال ۲۰۰۸ در روزهای ۱۲ تا ۲۲ تیرماه با شرکت جمع کثیری از متخصصان علوم وابسته از کشورهای مختلف در مرکز همایش‌های بین‌المللی شهر پکن برگزار گردید. این کنفرانس به مدت ده روز با شعار "Silk Road for Information from Imagery" برگزار گردید. این شعار با توجه به برگزاری کنفرانس سال ۲۰۰۴ در کشور ترکیه به عنوان یکی از نقاط مشخص جاده ابریشم و برگزاری آن در سال ۲۰۰۸ در کشور چین به عنوان نقطه پایانی جاده ابریشم انتخاب گردیده است. ایده اصلی این شعار برگرفته از تلاش‌هایی که برای ایجاد شاهراهی از اطلاعات تصویری با تلفیق سیستم‌های مختلف تصویربرداری ماهواره‌ای در جریان است، می‌باشد. این شاهراه

- جهانی توسط آقای Stig Enemark رئیس انجمن FIG از دانمارک،
- ایجاد زیرساختهای اطلاعات مکانی: زمینه‌های تحقیقاتی و چالش‌های پیش رو برای جامعه اطلاعات مکانی توسط آقای Mike Jackson از دانشگاه ناتیگهام کشور انگلستان،
 - اینترنت به عنوان کاربری اصلی داده‌های مکانی سه بعدی توسط آقای Leberl Franz از انسٹیتوی گرافیک کامپیوتری و دید ماشینی کشور اتریش،
 - تفسیر خودکار تصاویر: چالش‌های پیش رو برای تحقیقات آینده توسط آقای Wolfgang Forstner از دانشگاه بن آلمان،
 - شبیه‌سازی همزمان پدیده‌های طبیعی توسط آقای Peng Qunsheng از دانشگاه Zhejiang چین،
 - آینده سیستم‌های سنجش از دور زمینی توسط آقای John Townshend از دانشگاه مریلند ایالات متحده آمریکا،

۳. مجموعه مقالات و کتب منتشر شده

نسخه کاغذی مجموعه مقالات کنفرانس بیست و یکم به صورت سخت با پرداخت هزینه ارائه می‌گردید و یک عدد DVD حاوی فایل‌های رقومی حدود ۱۰۳۴۴ برگ مقالات در فرمت pdf به کلیه ثبت نام کنندگان همایش عرضه شد. در طول کنفرانس دو کتاب جدید با عنوانین کتاب کنفرانس ۲۰۰۸ انجمن ISPRS که حاوی پیشرفت‌های جدید در زمینه‌های فتوگرامتری، سنجش از دور و علوم اطلاعات مکانی در دوره چهار ساله ۲۰۰۴ تا ۲۰۰۸ و همچنین کتاب فتوگرامتری و سنجش از دور در چین "که به ارائه وضعيت اين علوم در کشور چين از جنبه‌های مختلف مي‌پردازد ارائه گردید.

۴. شرکت کنندگان ایرانی و مقالات ارائه شده

تعداد زیادی از متخصصان به نمایندگی از سازمان‌ها، دانشگاه‌ها و مؤسسات مختلف ایرانی شامل سازمان نقشه‌برداری کشور، دانشگاه خواجه نصیرالدین طوسی، دانشگاه تهران، دانشگاه شهید رجایی، شرکت‌های مهندسان مشاور مهاب قدس، نماپرداز رایانه، فرازمین و ... در کنفرانس شرکت کرده بودند.

اطلاعاتی همانند جاده ابریشم محلی برای تبادل دانش و علوم برای ایجاد شرایط بهتر برای زندگی انسان‌ها خواهد بود. بر اساس گزارش ارائه شده توسط رئیس کنفرانس، تعداد کل شرکت کنندگان در کنفرانس در حدود ۳۰۰۰ نفر از ۷۶ کشور جهان و تعداد بازدید کنندگان از نمایشگاه حدود ۱۰۰۰۰ نفر بودند. پذیرش مقالات در اکثر بخش‌های این کنفرانس بر اساس خلاصه مقاله صورت گرفته و مقالات ارائه شده بر اساس موضوع و کلمات کلیدی ارائه شده توسط مؤلف به ۸ کمیسیون اصلی انجمن ارجاع و این کمیسیون‌ها نیز به نوبه خود مقالات را به گروه‌های کاری مربوطه ارجاع داده‌اند. در مجموع بیش از ۲۸۱۵ خلاصه مقاله به دیپرخانه کنفرانس ارسال گردیده که در بررسی‌های انجام شده تعداد ۱۷۷۶ مقاله پذیرفته شدند. در طی ده روز برگزاری کنفرانس، ۱۴۰ جلسه ارائه مقاله به صورت شفاهی برگزار و به طور متوسط روزانه در ۲۰ جلسه موازی تعداد ۶۵۶ مقاله، ارائه شد. با توجه به عدم امکان ارائه شفاهی تمامی ۱۷۷۶ مقاله، حدود ۱۱۰ مقاله طی ۶ روز به صورت پوستری ارائه شد. به منظور استفاده بهتر شرکت کنندگان از این مقالات، در زمان ارائه مقالات پوستری، مقالات شفاهی ارائه نمی‌گردید.

۲. مقالات دعوت شده

- از نکات مثبت این کنفرانس برگزاری ۳ جلسه عمومی برای ارائه مقالات از متخصصان مدعو بود. در این ۳ جلسه تعداد ۹ مقاله به شرح زیر ارائه گردید:
- همکاری بین المللی برای ایجاد سیستم جامع سیستم‌های مشاهده زمینی (GEOSS) توسط آقای Jose Achache از Dold مشاور سوئیس،
 - ارزیابی سیستم‌های اسکنر لیزری (LIDAR) در بازار نقشه‌برداری و سیستم‌های اطلاعات مکانی توسط آقای Juergen Leica Geosystems AG سوئیس
 - سیستم واکنش سریع در زلزله اخیر چین (زلزله Wenchuan) با استفاده از فتوگرامتری و سنجش از دور توسط آقای Li Deren از دانشگاه Wuhan چین،
 - ظرفیت سازی برای مدیریت بهتر زمین در راستای توافقات

اطلاعات مکانی، نقشه‌برداری، فتوگرامتری، سنجش از دور، پردازش داده‌ها، تصویر برداری، پردازش تصاویر رقومی، دید ماشینی، گرافیک کامپیوتری و بسیاری از زمینه‌های کاربردی دیگر عرضه گردید. شرکت‌های شرکت کننده معمولاً از فرصت نمایشگاه برای رونمایی از محصولات جدید خود استفاده می‌کنند و در این نمایشگاه نیز دو دوربین رقومی D RMK-D از شرکت اینترگراف آمریکا و AIC-4 از شرکت Rollei Metric آلمان عرضه گردید.

۷. مجمع عمومی انجمن بین‌المللی فتوگرامتری و سنجش از دور

یکی از اهداف برگزاری کنفرانس‌های بین‌المللی دوره‌ای انجمن ISPRS، گردآوری اعضای این انجمن و برگزاری مجمع عمومی با شرکت تمامی اعضای انجمن است. این مجمع، وظيفة سیاست‌گذاری، تعیین خط مشی و نظارت بر عملکرد هیات رئیسه انجمن را بر عهده دارد. در طول کنفرانس بیست و یکم، مجمع عمومی طی چهار جلسه و ظایف خود را پیگیری نمود. در جلسات مجمع عمومی آقایان مهندسان محمد سرپولکی و علی اسلامی راد به عنوان نماینده‌گان رسمی کشور جمهوری اسلامی ایران در جلسات حضور داشتند.



لازم به یادآوری است که انجمن در حال حاضر دارای ۸۷ عضو عادی (Ordinary Member)، ۱۰ عضو وابسته (Member)

به طور کلی کشور جمهوری اسلامی ایران با ۴۹ نفر شرکت کننده در کنفرانس به صورت مشترک با کشور کانادا مقام هشتم تعداد شرکت کننده‌گان در کنفرانس را دارا بود. شایان ذکر است که ۹ مقاله شفاهی و ۵۶ مقاله پوستری از طرف محققان و متخصصان ایرانی در کنفرانس پذیرفته شده بود که برخی از آنها به دلیل عدم شرکت افراد در کنفرانس ارائه نشده ولی در مجموعه مقالات به چاپ رسیده است.

۵. سازمان جوانان

در سال ۲۰۰۴ میلادی در طی بیستمین کنفرانس انجمن در کشور ترکیه، بخش ویژه‌ای به جوانان فعال در زمینه‌های علمی انجمن اختصاص یافت. این بخش تحت عنوان Youth Forum در بیست و یکمین کنفرانس نیز برگزار شد. هدف از این جلسات حمایت از پژوهشگران جوان و همچنین تشویق ایشان به فعالیت هر چه بیشتر در زمینه‌های مورد نظر انجمن می‌باشد. این بخش از کنفرانس شامل ۴ جلسه ارائه شفاهی مقالات برای ارائه ۱۹ مقاله برگزیده، یک بخش ارائه مقالات پوستری برای ارائه ۵۰ مقاله پوستری، یک بخش آموزشی برای آشنایی محققان جوان با روش‌های تهیه پایان نامه، پیشنهاد تحقیق و ارائه مقالات بود. همچنین یک میزگرد تحت عنوان "چگونه می‌توان حضوری بهتر در فعالیت‌های علمی جامعه داشت" در پایان برگزار گردید.

۶. نمایشگاه کنفرانس

مطابق معمول در کنار کنفرانس بیست و یکم، یک نمایشگاه تجاری در زمینه‌های فتوگرامتری، سنجش از دور و علوم اطلاعات مکانی از ۱۰ تا ۱۷ جولای ۲۰۰۸ در محل کنفرانس برگزار گردید. این نمایشگاه فرصت بازدید از آخرین محصولات و خدمات و پیشرفت‌های موجود در زمینه‌های ذکر شده توسط حدود یک صد شرکت، سازمان و مؤسسه را فراهم نمود. بر اساس گزارش رئیس کنفرانس، در طول چهار روز برگزاری نمایشگاه بیش از ده هزار نفر از نمایشگاه بازدید نمودند. در این نمایشگاه جدیدترین تولیدات، خدمات، اختراعات و پیشرفت‌ها در زمینه‌های سیستم‌های

مجموعه به چاپ رسیده است.
مجمع عمومی تصمیم‌گیری نمود که در یکصدمین سال تأسیس انجمن، جلسه مجمع عمومی در شهر وین کشور اتریش محل تأسیس اولیه انجمن برگزار شود. مجمع عمومی در بخش دیگری از جلسات نسبت به انتخاب هیأت رئیسه جدید انجمن برای دوره چهار ساله ۲۰۰۸ تا ۲۰۱۲ اقدام نمود. این اعضاء عبارتند از:
- آقای پروفسور Orhan Altan از کشور ترکیه به عنوان رئیس انجمن

- آقای پروفسور Jun Chen از کشور چین به عنوان دبیر کل
- آقای پروفسور Ian Dowman از کشور انگلستان به عنوان نایب رئیس اول
- آقای دکتر Peledez Ammat از رژیم اشغالگر قدس به عنوان نایب رئیس دوم
- آقای Mike Renslow از کشور بریتانیا به عنوان خزانه دار
- آقای دکتر Cliff Ogleby به عنوان رئیس کنگره بیست و دوم قطعنامه پایانی کنفرانس بیست و یکم نیز مانند کنفرانس‌های قبلی توسط گروه تدوین قطعنامه متشکل از هیات رئیسه، نمایندگان کمیسیون‌های انجمن و اعضای کمیسیون مشاوره علمی ISAC تهیه گردید. مجموعه قطعنامه‌های پایانی کنفرانس بیست و یکم شامل یک قطعنامه عمومی و ۲۷ قطعنامه تخصصی که در ۹ بخش تقسیم شده است، می‌باشد. این موارد منعکس کننده نظرات و تاکیدات انجمن در مورد فعالیت‌های کمیسیون‌های فنی هشت گانه است. مجمع عمومی به منظور تعیین خط مشی انجمن

و همسو کردن فعالیت‌های مربوطه، برای اولین بار بیانیه‌ای نیز تحت عنوان بیانیه پکن به تصویب رسید. متن کامل قطعنامه و بیانیه پکن در سایت سازمان نقشه‌برداری کشور قرار داده شده است.

۸. پیشنهادات

کمیسیون‌های فنی انجمن محل بسیار مناسبی برای تبادل نظرات کارشناسی با

۱۲ عضو منطقه‌ای (Associate Member) و ۷۷ عضو پشتیبان (Sustaining Member) می‌باشد و سازمان نقشه‌برداری کشور به نمایندگی از کشور جمهوری اسلامی ایران عضو عادی انجمن از نوع ۳ می‌باشد.

باتوجه به سپری شدن دوره چهارساله فعالیت رؤسای کمیسیون‌های فنی هشت گانه انجمن، نامزدهای جدید احراز این پست‌ها به دفاع از برنامه‌های خود پرداخته و سپس بر اساس رأی گیری افراد زیر انتخاب گردیدند:

در جلسات مجمع عمومی کشور استرالیا برای میزبانی کنفرانس بیست و دوم اعلام آمادگی نموده و برنامه‌های پیشنهادی و امکانات برگزاری کنفرانس را ارائه نمود. مجمع عمومی با توجه به مطالب ارائه شده با میزبانی کشور استرالیا و شهر ملبورن برای برگزاری کنفرانس بیست و دوم انجمن ISPRS در سال ۲۰۱۲ موافقت نمود. بنابر گزارش ارائه شده به مجمع عمومی در چهار سال گذشته، ۲۸ شماره از نشریه RS، ISPRS Journal of PE به چاپ رسیده و ۶۳ جلد شامل مجموعه مقالات سمپوزیوم‌ها، کارگاه‌های آموزشی و کنفرانس‌های انجمن‌های وابسته مانند CIPA به آرشیو بین‌المللی انجمن اضافه شده است. ضمناً در این مدت ۱۶ شماره از نشریه ISPRS Highlights به عنوان نشریه داخلی انجمن منتشر شده است. علاوه بر موارد فوق، از سال ۲۰۰۳ میلادی تصمیم گرفته شد یک مجموعه کتاب تخصصی در زمینه‌های فتوگرامتری، سنجش از دور و علوم اطلاعات مکانی توسط انجمن تهیه و منتشر شود که تا به حال شش جلد از این

عنوان	ریسین جدید
کمیسیون یک: اخذ اطلاعات تصویری، سنجندها و سکوها	آقای Naser El Sheimy از کانادا
کمیسیون دو: توری و اصول کار با داده‌ها و اطلاعات مکانی و زمانی	آقای John Shi Wenzhong از چین-هنگ کنگ
کمیسیون سه: دید کامپیوتی فتوگرامتری و آنالیز تصویر	آقای Nikilas Paparoditis از کشور فرانسه
کمیسیون چهار: پایگاه‌های اطلاعات مکانی و تهیه نقشه‌های رقومی	آقای Marguerite Madden از ایالات متحده آمریکا
کمیسیون پنجم: سنجش برد کوتاه-آنالیز و کاربردها	آقای Jonathan Philips Mills از بریتانیا
کمیسیون ششم: آموزش و ارتباطات	آقای Martien Molenaar از هلند
کمیسیون هفتم: پردازش، آنالیز و مدل‌سازی موضوعی داده‌های سنجش از دور	آقای Wolfgang Wagner از اتریش
کمیسیون هشتم: کاربردها و سیاست‌های سنجش از دور	آقای Haruhisa Shimoda از ژاپن

دعوت به عمل آمده است. همچنین از سال ۲۰۰۵ میلادی تلاش های بین المللی برای ایجاد شبکه ای منسجم از سیستم های فضایی مشاهده زمین آغاز شده است. این شبکه که سامانه یکپارچه سامانه های مشاهده زمین یا GEOSS نام دارد، بنا دارد تا اطلاعات لازم برای فعالیت های صلح آمیز جهانی در زمینه های بلایای طبیعی، بهداشت، انرژی، آب، تغییرات آب و هوایی، اکوسیستم، کشاورزی و تنوع زیستی را تأمین نماید. تاکنون جمما ۷۴ کشور عضو این سامانه می باشند که بر اساس سایت رسمی GEOSS جمهوری اسلامی ایران نیز در بین این ۷۴ کشور می باشد. بدیهی است که استفاده بهینه از اطلاعات این شبکه و تریق صحیح این اطلاعات به کاربردهای مورد نظر مستلزم ارتباط نظام نقشه برداری کشور اعم از بخش های تحقیقاتی و اجرایی این نظام با شبکه مورد بحث می باشد. بدین منظور تشکیل گروه های کاری مختلفی به منظور شناسایی موارد کاربرد و تعیین نحوه استفاده به موقع از اطلاعات این سیستم بسیار مؤثر خواهد بود.

متخصصان مربوطه است. لذا همکاری بیشتر و نزدیک تر متخصصان و مراکز دانشگاهی با این کمیسیون ها باعث اعتلای کلی این رشته در کشور خواهد شد. با توجه به نوع عضویت سازمان نقشه برداری کشور و همکاری های اخیر صورت گرفته با انجمن، می توان با برنامه ریزی قبلی حضور پرنگ تری را در فعالیت های علمی آن رقم زد که این امر مستلزم فعالیت جدی تر مراکز دانشگاهی کشور می باشد. شایان ذکر است که سازمان نقشه برداری کشور می تواند به عنوان عضو رسمی انجمن افرادی را برای تصدی پست های مختلف انجمن مانند ریاست کمیسیون های فنی و یا ریاست کار گروه های فنی پیشنهاد نماید. البته این کار مستلزم همکاری نزدیک تر علمی و فعالیت بیشتر با انجمن می باشد. شایان ذکر است که به منظور ایجاد ارتباط نزدیک تر با این انجمن از ریاست جدید انجمن آقای پروفسور Altan برای شرکت در کنفرانس های مختلف و آشنایی بیشتر ایشان با فعالیت های مرتبط و توان علمی و فنی بالقوه موجود در کشور،

برگ درخواست اشتراک نشریه علمی و فنی نقشه برداری



امور مشترکین نشریه نقشه برداری

به پیوست قبض شماره به مبلغ ریال بابت اشتراک نشریه علمی و فنی نقشه برداری ارسال می گردد.

لطفاً اینجانب / شرکت را جزء مشترکین نشریه نقشه برداری محسوب و تعداد نسخه از هر شماره را به آدرس زیر ارسال نمایید:

.....
نشانی:
.....

کد پستی: تلفن:

محل امضاء



متلقی محترم: لطفاً برای اشتراک نشریه علمی و فنی نقشه برداری در تهران و شهرستانها مبلغ موردنظر را به حساب شماره ۹۰۰۳ بانک ملی ایران، شعبه سازمان نقشه برداری کشور، کد ۲۰۷ (قابل پرداخت در کلیه شعب بانک ملی) واریز نموده و اصل رسید بانکی را به همراه درخواست تکمیل شده به نشانی زیر ارسال نمایید:

تهران، میدان آزادی، خیابان معراج سازمان نقشه برداری کشور، صندوق پستی: ۱۴۸۴-۱۶۸۵ «دفتر نشریه نقشه برداری».

تلفن دفتر نشریه: ۶۶۰۷۱۱۲۴

تلفن سازمان: ۶۶۰۷۱۰۰۱-۹

(داخلی دفتر نشریه: ۴۳۵)

دورنگار: ۶۶۰۷۱۰۰۰

(ضمیمه حداقل مبلغ اشتراک برای ارسال ۱۲ نسخه نشریه ۶۰۰۰۰ ریال است.)

آشکارسازی سازه های شبه ثابت (RTS Smart) (توتال استیشن خودکار)

نویسنده: واسیلیس گیکاس، یونان دانشگاه فنی ملی آتن

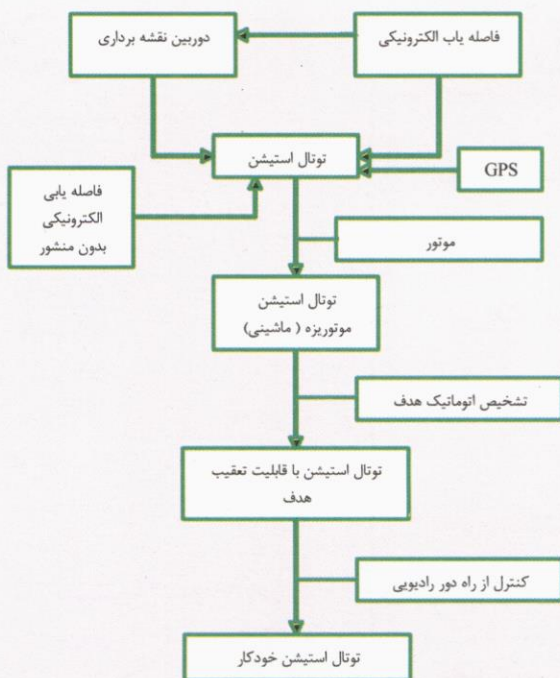
مترجم:

سوسن حیدری جم

کارشناس بخش فیزیکال ژئودزی، اداره کل نقشه برداری زمینی، سازمان نقشه برداری کشور

s-heidari@ncc.org.ir

یا شبه ایستا باشند و یا به صورت آهسته حرکت کنند. تحقیقات تجربی سال های اخیر مزایای استفاده از ایستگاه های رباتیک را در بسیاری از زمینه های مهندسی نظری مترولوزی راهنمای ماشینی و نقشه برداری صنعتی آشکار نموده است. بعضی از مزایای ایستگاه های رباتیک عبارتند از شناخت خودکار هدف، رصد شیء متوجه، امکان اندازه گیری در فضای بسته و انجام عملیات اندازه گیری به طور کاملاً خودکار.



شکل ۱. نمایش شماتیک از تکامل در سیستم های اندازه گیری زاویه و طول در نقشه برداری

چکیده

نظر به سرعت و پیشرفت علوم و فنون مختلف در جهان، صنعت نقشه برداری و ابزار آن همگام با سایر علوم پیشرفت چشمگیری کرده است و سرعت و دقیقت در این زمینه هر روز توسعه می یابد. براین اساس آقای دکتر واسیلیس گیکاس با مقاله ذیل استفاده از سیستم (RTS) هوشمند را به منظور کشف جایه جایی های اهداف پویا ارائه می دهد. محدودیت ها در میزان نمونه برداری و شناسایی خطاهای بزرگ (outlier) (دینامیکی) ایستگاه های رباتیک RTS برای کاربردهای با پویایی بالا (دینامیکی) را دشوار می سازد. نیاز دستیابی به چنین الزاماتی نویسنده مقاله را برآن داشت که سیستم موجود را بهبود بخشدیده و تنظیم مجدد نماید. آزمون مربوطه، امکان پذیری و سودمندی این نمونه آزمایشی را از لحاظ عملکرد و کارکرد و حذف خطاهای بزرگ اثبات می نماید.

۱. مقدمه

طی بیست سال گذشته صنعت نقشه برداری شاهد پیشرفت های قابل توجهی در روش های کار و ابزار آلات مورد استفاده بوده است (شکل ۱).

توtal استیشن های با قابلیت ردیابی (Tracking) هدف اساسا برای ثبت موقعیت رفلکتورهایی که بر روی شیء متوجه قرار می گیرند، مورد استفاده قرار می گیرند. اما محدودیت های مربوطه که ناشی از پایین بودن میزان نمونه گیری متغیر بوده و همچنین حساسیت آنها به خطاهای بزرگ (outlier)، سبب گردید که این اشیا

تصحیحات مربوط به servomotor را اعمال نماید. البته مهم ترین مزیت این سیستم اندازه گیری با بالاترین میزان نمونه برداری با ثبت دقیق زمان می باشد. با استفاده از دستگاه (سری TPC1000) در حالت استاندارد می توان روند نمونه برداری یک هرتز یا ثبت یک ثانیه را به دست آورد. با استفاده از حالت Tracking (ردیابی هدف) این عدد به ۶ هرتز و زمان نمونه برداری به میزان قدرت تفکیک ساعت دستگاه (۰۰۰٪ ثانیه) خواهد رسید. این ویژگی برای سیستم های با پویایی بالا (دینامیک) بسیار حائز اهمیت است و سیستم توانایی ثبت حرکت هارمونیک تا فرکانس ۳ هرتز (tracker) (فرکانس Nyquist) را دارد می باشد. اخیرا سیستم ردیابی (RTS 5605DR200+) مورد اصلاح قرار گرفته است.

۳. آزمایش

به منظور اندازه گیری رفتار دینامیکی دودکش هایی با ارتفاع بیش از ۱۵۰ متر که تحت تأثیر نیروی باد قرار دارند (شکل ۴)، نوعی منشور دایره ای بر رأس این دودکش نصب گردید.

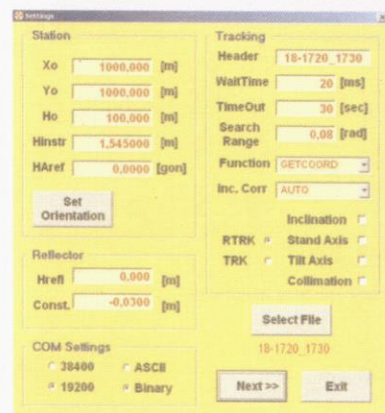


شکل ۴. دودکش به عنوان یک جسم متحرک جهت تست نمونه آزمایشی

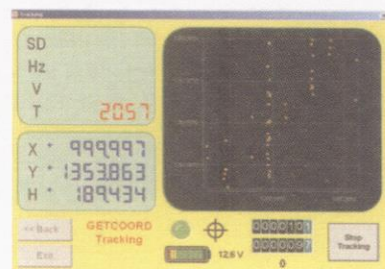
۲. نمونه آزمایشی

نمونه آزمایشی اولیه به منظور اتصال به توتال استیشن های (TCA 1800، TCA 5005) Leica کمک یک رایانه همراه از درگاه (پورت) سریال قابل استفاده است. نرم افزار مورد استفاده به زبان VC++ و تحت پروتکل GEO COM توسط شرکت "Leica Geo/systems" طراحی شده است که به انجام موارد ذیل قادر می باشد:

- کنترل تنظیمات سیستم ثبات (پارامترهای ایستگاه و رفلکتور، توابع ردیابی هدف و تنظیم ارتباط بین سیستم و کامپیوتر، ویرایش داده ها و غیره)
- کنترل کیفیت عملیات سیستم QC، QA، کنترل کیفیت و تضمین کیفیت مشاهدات ثبت شده، وضعیت باطری و غیره)
- فرم های مختلف پردازش داده ها و نمایش نتایج به ترتیب در شکل های ۲ و ۳ نمایش داده شده است.



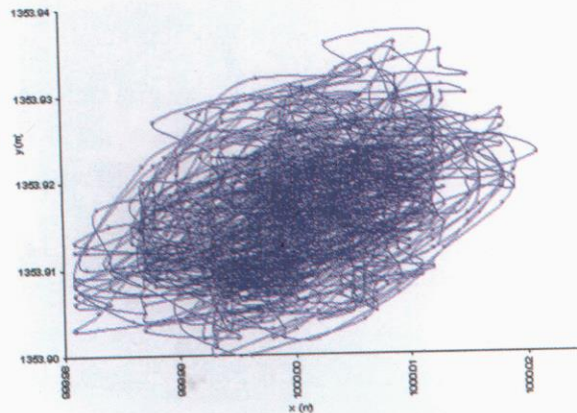
شکل ۲. صفحه تنظیم پارامترها



شکل ۳. پنل مشاهده اطلاعات

این سیستم با استفاده از windows می تواند در حالت ردیابی (RTRK) و در حالت ردیابی سریع (TRK) عمل نموده و فرامین و

سیستم های RTS امکان رصد کردن اشیا متحرک (دینامیک) را که کاربرد بسیاری در علوم مهندسی مختلف دارد فراهم نموده است.



شکل ۴. اندازه گیری های ثبت شده از بالای دودکش در بیش از ۱۰ دقیقه با دقیقیت در حد ۱ میلی متر سرعت باد در حدود ۵۰ کیلومتر در ساعت . همسویی جهت اصلی حرکت دودکش و جهت باد بهوضوح دیده می شود.



شکل ۵. سیستم ردیابی: Total Station (خودکار)

سپس دستگاه نمونه، در مکانی مناسب و در فاصله ۱۵۰ متری از آن قرار گرفت (شکل ۵). داده ها طی چند روز و در شرایط مختلف جوی (سرعت متغیر باد) و با میزان نمونه برداری بین ۵ تا ۶ هرتز اندازه گیری شدند. مشاهدات خام به منظور حذف خطاهای بزرگ مورد بررسی قرار گرفته و داده های اصلاح شده از حيث زمان و فرکانس مورد پردازش بعدی قرار گرفتند. به رغم زاویه نسبتاً زیاد (۸۴°) این سیستم مشاهدات معتمد و قابل قبولی را (بیش از ۹۵٪) ارائه داده است به طوری که دامنه حرکت آن بین مثبت و منفی یک سانتی متر و مثبت و منفی سه سانتی متر به دست آمد (شکل ۶).

۵. پانوشت ها

1. Robotic Total Station
2. Quality control , Quality assurance
3. Tracking
4. Mode Tracking Rapid

۶. منبع

GIM International Jun , 2008

۴. نتیجه گیری

افزایش تعداد نمونه برداری با دقت زیاد توسط نسل جدید

هشتم شهریور ماه سال جاری تکمیل گردید. این ماهواره‌ها از ایستگاه فضائی بایکنور قزاقستان به فضا پرتاب گردیده و تجهیزات تصویر برداری ساخت شرکت Jena-Optronik آلمان را به همراه دارند. این ماهواره‌ها از نوع ماهواره‌های تجاری سیک وزن می‌باشند که به منظور کنترل سطح زمین و ارائه اطلاعات به هنگام با کیفیت بالا برداری) کاربردهای متنوعی برای تصاویر ماهواره می‌توان به کشاورزی، جنگلداری، سوانح و بلایای طبیعی، محیط زیست و تهیه نقشه اشاره نمود. هر ۵ ماهواره در یک مدار خورشید آهنگ به ارتفاع ۶۳۰ کیلومتر به فاصله مساوی ۱۹ دقیقه از یکدیگر قرار دارند. این مجموعه می‌تواند هر نقطه از سطح زمین در فاصله عرض‌های جغرافیایی ۷۵ درجه جنوبی تا ۷۵ درجه شمالی را در یک روز تصویر برداری نماید. سنجنده چند طیفی این ماهواره‌ها امکان تصویر برداری با وضوح هندسی ۶/۵ متر با عرض ۷۸ کیلومتر در ۵ طیف ۴۰۰ تا ۸۵۰ نانومتر (آبی، سبز، قرمز، مادون قرمز نزدیک و مادون قرمز) را فراهم می‌نماید. ابعاد پیکسل تصاویر این ماهواره پس از پردازش به ۵ متر تبدیل می‌گردد. امکان تهیه مدل رقومی زمین از تصاویر این ماهواره نیز وجود دارد.

می‌باشد. تصاویر این ماهوره پس از تغییر ابعاد به ۵۰ سانتی متر می‌تواند در اختیار کلیه کاربران قرار گیرد. تصاویر این ماهواره بدون نیاز به نقاط کنترل زمینی با دقیقی در حدود سه متر زمین مرجع می‌باشند. این ماهواره می‌تواند هر سه روز از هر نقطه بر روی سطح زمین تصویر برداری می‌نماید. با توجه به وضوح زمانی بالا (دوره تکرار تصویر برداری) کاربردهای متنوعی برای تصاویر ماهواره وجود خواهد داشت. عرض تصاویر این ماهواره ۱۵/۲ کیلومتر می‌باشد و این ماهواره امکان تصویر برداری در تمام جهات را دارد و روزانه ۷۰۰ هزار کیلومتر مربع تصویر برداری می‌نماید. عمر این ماهواره بیش از ۷ سال طراحی شده و سوخت موجود در این ماهواره برای ۱۵ سال در نظر گرفته شده است.

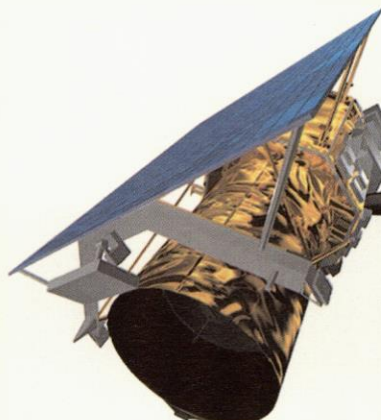


ماهواره GeoEye-1 در مدار قرار گرفت

مترجم: مهندس محمد سربولکی

منبع: <http://geoeye.mediaroom.com>

ماهواره GeoEye-1 به عنوان یک ماهواره غیرنظامی با امکان تصویر برداری بالاترین وضوح با موفقیت در مدار قرار گرفت. این ماهواره در روز شنبه ۶ شهریور ماه سال جاری از پایگاه فضائی ندربرگ در سواحل کالیفرنیا به وسیله راکت دلتا با موفقیت به فضا پرتاب و در مدار خود قرار گرفت. این ماهواره با وضوح هندسی ۴۱ سانتی متر بالاترین وضوح هندسی را در بین ماهواره‌های غیرنظامی دارا می‌باشد و تصاویر آن که پیش‌بینی می‌شود تا اواسط آبان ماه به کاربران عرضه گردد در موارد مختلفی از جمله تهیه انواع نقشه‌ها، مسائل دفاعی و کشاورزی مورد استفاده قرار می‌گیرد. این ماهواره به وزن ۱۹۵۰ کیلوگرم در مداری خورشید آهنگ با ارتفاع ۶۸۱ کیلومتر و زاویه میل ۹۸ درجه قرار گرفته و با سرعت ۷/۵ کیلومتر در ثانیه هر روز ۱۵ بار به دور زمین گردش می‌نماید. ابعاد پیکسل تصاویر سیاه و سفید این ماهواره ۴۱ سانتی متر و تصاویر رنگی آن ۱۶۵ سانتی متر



اطلاعات جغرافیایی بدون مرز

منبع: www.ign.fr

کارتografi از ابتدا به عنوان ابزاری برای اخذ مالیات، کاربردهای نظامی و مسائل ملی مورد استفاده قرار گرفته است. با توجه به اینکه بسیاری از پدیده‌ها طبیعی و

پرتاب سری ماهواره‌های Rapideye تکمیل شد.

منبع: www.spacemart.com

پرتاب مجموعه ماهواره‌های Rapideye که متشکل از ۵ ماهواره می‌باشد در روز

دارای کاربردهای گسترده‌ای از قبیل عملیات امداد و نجات، طراحی شبکه‌های مخابراتی، ارائه خدمات مختلف، تجزیه و تحلیل های زیست محیطی، محاسبه مسیرها و ... می‌باشد.

این بانک‌های اطلاعات براساس اطلاعات رسمی کشورها و بر اساس مشخصات توافق شده توسط کلیه کشورهای اتحادیه تهیه می‌گردند. شرایط بهره‌برداری از این اطلاعات برای کلیه کشورهای عضو یکسان می‌باشد. به منظور ایجاد تعامل بین بانک‌های اطلاعات بزرگ مقیاس کشورهای عضو، اتحادیه اروپا نسبت به تهیه مشخصات، قیمت‌گذاری یکسان و ابر داده‌های مشترک و نحوه مشارکت سازمان‌های مربوطه در قالب مشخصات اروپایی (Eurospect) اقدام نموده‌اند. این مشخصات در قالب نقشه راه‌های اروپا EuroRoads پیاده‌سازی شده و مورد ارزیابی قرار می‌گیرد.

مجموعه مربوط به ۳۵ کشور تهیه گردیده و در مسائل مختلف از قبیل برنامه‌ریزی، نمایش و کنترل سیاست‌های محیط زیست، بازاریابی، تجزیه و تحلیل شبکه‌ای، محاسبه مسیرها، برنامه‌ریزی شهری در سطح اروپا و ... مورد استفاده قرار می‌گیرد. ایده ایجاد این بانک اطلاعات همزمان با ایده تهیه نقشه جهانی آغاز گردیده است.

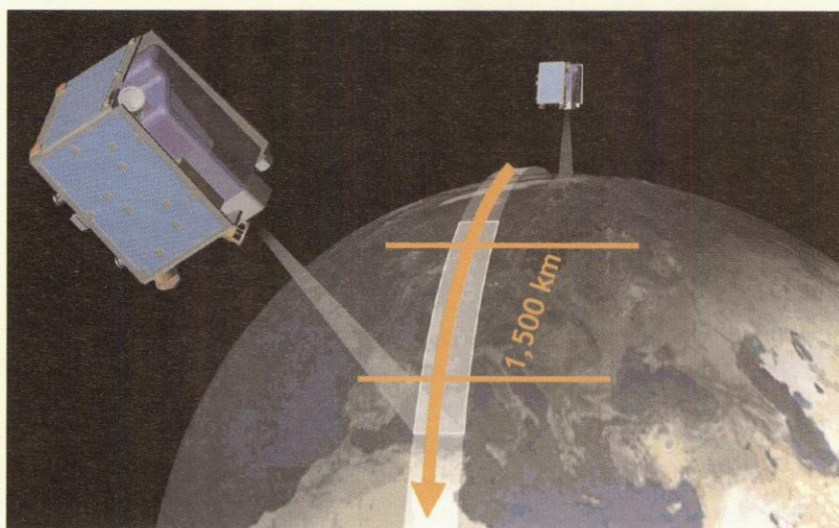
ERM بانک اطلاعات توپوگرافی اروپا در مقیاس یک دویست و پنجاه هزارم این بانک اطلاعاتی برای ۷ کشور اروپایی شامل فرانسه تهیه شده که در ازا پرداخت هزینه در اختیار استفاده کنندگان قرار می‌گیرد. این بانک اطلاعات شامل موضوعاتی از قبیل: تقسیمات کشوری، هیدرولوگی، حمل و نقل، جمعیت، پوشش گیاهی، اسمای جغرافیایی و عوارض جانی (آثار تاریخی، خطوط انتقال نیروی فشار قوی، برج‌ها و ...) می‌باشد. گسترش ایجاد این بانک برای سایر کشورهای عضو نیز در آینده انجام می‌گیرد. این بانک اطلاعات

غیرطبیعی مانند محیط‌زیست، انواع آلودگی، تغییرات آب و هوایی، حمل و نقل بین‌المللی و ... به مرزهای کشورها محدود نمی‌گردد، موسسه جغرافیایی اروپا (Eurogeographics) به عنوان موسسه‌ای مشکل از سازمان‌های ملی کشورهای اروپایی از ابتدای دهه ۸۰ میلادی تأسیس گردیده تا نیاز به داده‌های جغرافیایی کشورهای اروپایی را تهیه نماید. این مؤسسه قصد دارد تا با ایجاد بانک‌های اطلاعات متعدد مربوط به تمامی کشورهای عضو اتحادیه اروپا نسبت به تامین نیازهای اطلاعاتی این اتحادیه اقدام نماید. این بانک‌های اطلاعاتی عبارتند از:

SABE تقسیمات کشوری یکپارچه اروپا بانک اطلاعات تقسیمات کشوری یکپارچه ۳۵ کشور اروپایی شامل استان‌ها می‌باشد که به عنوان مرجع در نقشه‌های آماری، سیاست اقتصادی و مسائل مدیریتی مورد استفاده قرار می‌گیرند. این بانک اطلاعات عمده‌تاً توسط موسسه آماری اروپا EUROSTAT مورد استفاده قرار می‌گیرد. آخرین ویرایش این اطلاعات در سال ۲۰۰۱ انجام گرفته و حاوی اطلاعات سرشماری‌های سال‌های ۲۰۰۰ و ۲۰۰۱ کشورهای اروپایی می‌باشد.

EGM بانک اطلاعات توپوگرافی اروپا در مقیاس یک میلیونیم

این بانک اطلاعاتی شامل ۶ موضوع تقسیمات کشوری، هیدرولوگی، حمل و نقل، جمعیت، ارتفاعات و اسمای جغرافیایی می‌باشد. نسخه اولیه این



نمی تواند به تنهایی وجود داشته باشد بلکه نیاز به سازمان منسجمی از نیروی انسانی، تجهیزات و تسهیلات است تا مسئولیت پیاده سازی و نگهداری GIS را برعهده گیرد. در چنین سازمانی، هدف از به کارگیری GIS باید کاملاً روشن باشد. در غیر اینصورت تردید پیش می آید که هزینه گزارف پیاده سازی GIS به چه منظور انجام شده است و آیا اصولاً پیاده سازی GIS موفقیت آمیز ارزیابی خواهد شد یا خیر؟

این کتاب تلاش می کند تا بهره وری از نرم افزار ARC GIS 9.2 را نزد خوانندگان خود افزایش دهد و قابلیت های جدید این نرم افزار را علاوه بر امکانات نسخه های قبل مورد بررسی و آموزش قرار می دهد.

استفاده از این کتاب به دوستداران و استفاده کنندگان فن آوری سیستم های اطلاعات مکانی پیشنهاد می شود.



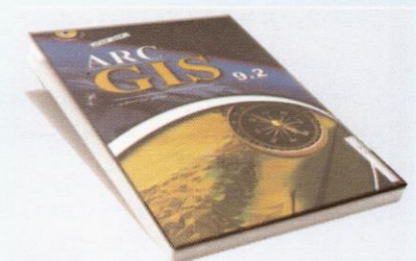
نام کتاب: ERDAS IMAGINE
تألیف و ترجمه: حسین عقیقی
 فائزه فضل الله
ناشر: انتشارات جهاد دانشگاهی واحد
 دانشگاه تربیت معلم

مروری بر کتاب
 به طور کلی Remote Sensing یا سنجش

مدیریت، تجزیه و تحلیل و مدل سازی نیز می گردد که مارادر جستجو (search) و تهیه فضای پرسش و پاسخ (Query) بر روی حجم بالای از اطلاعات و نمایش داده های توصیفی در مدت زمان بسیار کوتاه یاری می دهد.

سیستم های اطلاعات مکانی سیستم های کامپیوتری هستند که جهت ذخیره و به کارگیری بهینه اطلاعات جغرافیایی از آنها استفاده می شود. به طور کلی یک سیستم اطلاعات مکانی برای جمع آوری، ذخیره و تجزیه و تحلیل داده هایی استفاده می شود که موقعیت جغرافیایی آنها یک مشخصه اصلی و مهم محسوب می شود. حجم داده های جغرافیایی بسیار زیاد است لذا قدرت سیستم های اطلاعات مکانی، یک عامل حیاتی در تحلیل این داده ها محسوب می شود. حجم داده های جغرافیایی به این علت زیاد است که ممکن است با صدھا یا هزاران نوع عارضه سر و کار داشته باشیم و صدھا مشخصه به یک عارضه نسبت داده شوند.

این اطلاعات ممکن است به صورت نقشه، جداولی از داده ها و یا فهرست هایی از اسمی یا آدرس ها باشند و کار کردن با این حجم زیاد داده ها با روش معمولی و غیر کامپیوتری بسیار مشکل و وقت گیر و در بعضی موارد حتی غیر ممکن است. هنگامی که همین داده ها وارد یک GIS می شوند، می توان بر احتی انواع پردازش ها و تجزیه و تحلیل هارا با صرفه جویی در هزینه و زمان انجام داد. یک GIS هرگز



نام کتاب: ARC GIS 9.2
مؤلف: مهندس سارا سنجری
ناشر: انتشارات عابد

مروری بر کتاب

توسعه و پیشرفت سیستم های اطلاعاتی در جهان کونسی و افزایش پویندگان و کاربران این سیستم ها مستلزم ایجاد امکانات، تسهیلات و تجهیزات بهینه می باشد.

یکی از سیستم های اطلاعاتی که در سال های اخیر استفاده از آن رواج روز افزون یافته و در زمینه هایی از علوم گوناگون کاربرد پیدا نموده است سیستم اطلاعات مکانی یا به اختصار GIS می باشد. سیستم اطلاعات مکانی نوعی عملیات بر روی داده هاست که به کمک آن بتوان سریع تر، دقیق تر و بهینه تر بر روی مسائل مربوط به این داده ها تصمیم گیری کرد. این مراحل از جمع آوری داده، تغییر فرمت و ذخیره سازی آنها آغاز شده و شامل مسائل

«راهنمای تهیه و ارسال مقالات در نشریه علمی و فنی نقشه‌برداری»

۱. حداقل تعداد صفحات مقالات، ۱۰ صفحه کاغذ A4 است که می‌باید فایل کامل آن به صورت تایپ شده به همراه نسخه رقومی آن (دیسکت یا CD) و یک نسخه کاغذی به نشانی: سازمان نقشه‌برداری کشور، تهران، میدان آزادی، بلوار معراج، صندوق پستی ۳۱۸۵-۱۶۸۴، دفتر نشریه نقشه‌برداری (دورنگار: ۶۶۰۰۱۹۷۲) و یا توسط پست الکترونیکی (email) به نشانی magazine@ncc.org.ir ارسال شود.
۲. فایل بایستی در محیط Word 2000 یا 2003 با فونت Word باز نازک و اندازه ۱۳ تایپ و شکلها با فرمت tif و رزولوشن 300dpi (بدون بزرگ کردن) در فایلهای جداگانه از متن ارسال شود.
۳. مقالات می‌باید در عین علمی، فنی یا تحقیقی بودن، ساده و روان و همراه ۱۰ کلید واژه فارسی و انگلیسی باشد.
۴. موضوع مقالات می‌باید در مورد مهندسی نقشه‌برداری و ژئوماتیک و علوم مربوطه و ساختار آن شامل چکیده، مقدمه، هدف، پیشنهاد، روش و داده‌های تحقیق، بحث نظری-علمی، نتیجه‌گیری و منابع باشد.
۵. در عنوان مقالات می‌باید نام و نام خانوادگی نگارنده، میزان تحصیلات، سمت، آدرس پستی محل کار و آدرس پست الکترونیکی (e-mail) ذکر شده باشد.
۶. در ترجمه مقالات انگلیسی بایستی تصویر کامل مقاله و تصویر جلد کتاب یا نشریه‌ای که مقاله در آن به چاپ رسیده، ارسال گردد.
۷. نحوه مرجع نویسی در متن مقاله می‌باید به یکی از صورتهای زیر رعایت شود:

نام نویسنده، سال، مانند: (Muller, 2005) (پورکمال ۱۳۸۰)

نام سازمان (در صورت عدم وجود نام نویسنده)، سال، مانند "سازمان نقشه‌برداری کشور، ۱۳۸۵"

عنوان نشریه (در صورت عدم وجود نام نویسنده)، سال، شماره، مانند "نشریه نقشه‌برداری، ۱۳۸۴" شماره ۷۰
۸. نحوه درج منابع و مأخذ در انتهای مقاله باید به یکی از صورتهای زیر رعایت شود:

کتاب: نام خانوادگی و نام نویسنده، سال نشر، عنوان کتاب، نام ناشر، جلد، شماره چاپ، محل نشر.

مانند (رفاهی فیروز، ۱۳۸۰)، مبانی توپوگرافی، انتشارات سازمان نقشه‌برداری کشور، چاپ اول، تهران

ترجمه: نام خانوادگی و نام نویسنده، نام خانوادگی و نام مترجم، سال، عنوان کتاب، جلد، شماره چاپ، سال نشر، محل نشر.

مقاله: نام خانوادگی و نام نویسنده، سال، عنوان مقاله، عنوان نشریه، شماره نشریه، محل نشر، از صفحه تا صفحه.

نشریه (در صورت نداشتن نام نویسنده): عنوان مقاله، سال، عنوان نشریه، شماره نشریه، محل نشر، از صفحه تا صفحه.

پایان‌نامه کارشناسی ارشد یا دکترا: نام خانوادگی و نام نویسنده، عنوان، سال، نام خانوادگی و نام استاد راهنمای، عنوان دانشگاه و گروه مربوطه.

توجه: منابع و مأخذ فهرست منابع فارسی و لاتین بایستی جداگانه و به ترتیب حروف الفبا تنظیم گردد.

۹. نوشتن معادل لاتین اسماء و اصطلاحات غیرفارسی متن در پاپوشت با شماره گذاری بی دربی در انتهای مقاله آورده شوند.

۱۰. شکلها، جداول، نمودارها، تصاویر و نقشه‌ها همراه با زیرنویس دقیق آنها به ترتیبی که در متن آمده‌اند، شماره گذاری شوند.

۱۱. مقالات در صورت تأیید هیأت تحریریه به ترتیب اولویت در نوبت چاپ قرار گرفته و به منظور تأمین بخشی از هزینه‌های تهیه و ارائه مقاله، پس از چاپ در نشریه مبلغی به عنوان حق التأییف به نگارنده مقاله پرداخت می‌گردد.

از دور رامی توان تکنولوژی کسب اطلاعات و تصویربرداری از زمین با استفاده از تجهیزات هوانوردی نامید. به عبارت دیگر سنجش از دور علم و هنر به دست آوردن اطلاعات در مورد هر موضوع تحت بررسی به وسیله ابزاری است که در تماس فیزیکی با آن نباشد. مزیت برتر اطلاعات ماهواره‌ای نسبت به سایر منابع اطلاعاتی، پوشش تکراری آنها از نواحی معین با فاصله زمانی مشخص است.

تجزیه و تحلیل کننده به کمک این نرم افزار و با کمک داده‌هایی که توسط سنجنده جمع آوری شده اطلاعات مربوط به نوع، میزان، موقعیت و شرایط منابع مختلف زمین را استخراج می‌نماید، سپس این اطلاعات به صورت نقشه‌ها، جداول چاپی یا فایل‌های کامپیوترا با لایه‌های دیگر اطلاعات در یک سیستم اطلاعات مکانی ادغام و برای مصرف در اختیار کاربران قرار می‌گیرد.

ERDAS IMAGINE
تجزیه و تحلیل تصاویر ماهواره‌ای و داده‌های مکانی، تصویرسازی و تصحیح اطلاعات زمینی است. نرم افزار فوق امکان دسترسی به پایگاه داده‌های ایجاد شده را توسط نرم افزارهای ARCSDE و ORACLE برقرار می‌سازد.
این کتاب به نحوی تدوین شده است که فقط یک کتاب نرم افزار محض نباشد و کاربر بتواند از آن به عنوان یک کتاب پایه استفاده نماید.

استفاده از این کتاب به دوستداران سنجش از دور در رشته‌ها و گرایش‌های مختلف علوم زمین پیشنهاد می‌شود.

DECEMBER	FEBRUARY	GEOFORM+	MAY
2nd International Conference on Natural Disaster Management & Rehabilitation (GIT4NDM&R) Bangkok, Thailand 01-02 December For more information: T: +66 (2) 524 6392 F: +66 (2) 524 5597 E: nitink@ait.ac.th W: http://www.e-geoinfo.net	15th International Geodetic Week Obergurgl, Österreich 08-14 February For more information: T: +43 (512) 507 6755/6757 F: +43 (512) 507 2910 E: geodaetischewoche@uibk.ac.at W: www.uibk.ac.at/geodesie/obergurgl.html	GEOFORM+ Moscow, Russia 10-13 March 2009 For more information: T: +7 (495) 995 0594 E: lnu@mvk.ru W: www.geoexpo.ru	FIG Working Week 2009 Eilat, Israel 03-08 May For more information: T: +45 3886 1081 F: +45 3886 0252 E: fig@fig.net W: www.fig.net/fig2009
GeoExpo 2008 Shanghai, China 02-04 December For more information: T: +31 (6) 1095 1287; +31 (514) 561 854 F: +31 (514) 563 898 E: victor.van.essen@reedbusiness.nl W: www.chinageo-expo.com	Map World Forum 2009 Hyderabad, India 10-13 February For more information: T: +91 (120) 426 0800 - 808 F: +91 (120) 426 0823 - 24 E: vaishali.dixit@gisdevelopment.net W: www.GISdevelopment.net	MARCH ASPRS 2009 Annual Conference Baltimore, MD, USA 08-13 March For more information: T: +1 (301) 493 0290 F: +1 (301) 493 0208 E: asprs@asprs.org W: www.asprs.org	Remote Sensing Arabia Riyadh, Saudi Arabia 08-11 May 2009 For more information: T: +1 (608) 204 9122 F: +1 (661) 420 5127 W: www.remotesensingarabia.com/
Pacific GIS and RS User Conference Suva, Fiji 2-5 December For more information: F: +679 332 0800 E: info@picisoc.org W: www.picisoc.org/	1st Global Summit on Positioning and Navigation - Location Summit 2.0 Hyderabad, India 11-13 February For more information: T: +91 (120) 426 0800-808 F: +91 (120) 426 0823-824 E: anamika.das@GISdevelopment.net W: location.net.in	APRIL Geospatial Infrastructure Solutions Conference 2009 Tampa, FL, USA 19-22 April For more information: T: +1 (303) 337 0513 F: +1 (303) 337 1001 E: info@gita.org W: www.gita.org/gis	JUNE TIEMS 16th Annual Conference Istanbul, Turkey 09-11 June 2009 For more information: T: +90 (212) 285 3782 F: +90 (212) 285 3782 E: sahinh@itu.edu.tr W: www.tiems2009.org
JANUARY GIS Ostrava 2009 Ostrava, Czech Republic 25-29 January For more information: T: +420 (595) 227 121 F: +420 (595) 227 110 E: info@gis2009.com W: www.gis2009.com	ACSM-MARLS-UCLS-WFPS Salt Lake City, UT 20-23 February 2009 For more information: E: conference@wfps.org W: www.wfps.org	GEO Siberia 2009 Novosibirsk, Russian Federation 21-23 April For more information: T: +7 (383) 210 6290 F: +7 (383) 225 9845 E: nenash@sibfair.ru W: www.geosiberia.sibfair.ru	SEPTEMBER 6th International Symposium on Digital Earth Beijing, China P.R. 09-12 September 2009 For more information: T: +86 (10) 5888 7297 F: +86 (10) 5888 7302 E: ISDE6@ceode.ac.cn W: www.isde6.org


www.ncc.org.ir
نیشنل کاربری نکسوس

SEPTEMBER	CARLS 2008, Make a Spatial Connection	OCTOBER	International Symposium on GNSS, DGNSS
Mapping 2008: Making the Most of Maps Newport Pagnell, United Kingdom 03-06 September For more information: T: +44 (1223) 880 077 W: www.cartography.org.uk	Bath, UK 22-26 September For more information: T: +1 (506) 458 8533 F: +1 (506) 459 3849 E: caris2008@caris.com W: www.caris.com/	Versailles, France 01-02 October For more information: T: +33 (1) 4623 6066 E: jmcabon@esrifrance.fr W: www.esrifrance/sig2008/	Berlin, Germany 11-14 November For more information: T: +49 (30) 9012 7412 E: anette.blaser@senstadt.berlin.de W: www.eupos.org
SPIE Europe Remote Sensing 2008 London, United Kingdom 08-11 September For more information: T: +1 (360) 685 5407 F: +1 (360) 647 1445 E: PeterB@SPIE.org W: www.SPIE.org	AGI-GeoCommunity '08 Stratford, United Kingdom 23-25 September For more information: E: info@agi.org.uk W: www.agi2008.com	ESRI Latin American User Conference Santiago, Chile, South America 01-03 October For more information: T: +56 2 481900 E: info@esri-chile.com W: www.esri-chile.com/lauc2008	Digital Earth Summit on Geoinformatics: Tools for Global Change Research Potsdam, Germany 12-14 November For more information: E: koppers@afg.hs-anhalt.de W: www.isde-summit-2008.org
10th International Symposium on High Mountain Remote Sensing Cartography Kathmandu, Nepal 08-11 September For more information: T: +977 (1) 500 3222 F: +977 (1) 500 3299 E: pmool@icimod.org W: menris.icimod.net/HMRSC-X/	GIS Conferentie 2008 Rotterdam, The Netherlands 24-25 September For more information: W: www.gisconferentie.nl	GEOINT 2008 Nashville, TN, USA 27-30 October For more information: T: +1 (703) 793 0109 W: www.geoint2007.com	3rd International Workshop on 3D Geo-Information Seoul, South Korea 13-14 November For more information: T: +82 (2) 2210 5072 E: 3DGeoInfo@uos.ac.kr W: 3DGeoInfo.uos.ac.kr/
Congress of the European Surveyors Strasbourg, Germany 17-19 September For more Information: E: contact@geometre-strasbourg2008.eu W: www.geometre-strasbourg2008.eu	14th Australasian Remote Sensing and Photogrammetry Conference Darwin, Australia 29 September - 03 October For more information: T: +61 (2) 6282 2282 E: info@spatialsciences.org.au W: www.14arspc.com/	7th AARSE Conference 2008 Accra, Ghana 27-31 October For more information: T: +233 (21) 500 301/501 796 F: +233 (21) 500 310 E: info@cersgis.org W: www.aarse2008.org	The 17th William T. Pecora Memorial Remote Sensing Symposium Denver, CO, USA 17-20 November For more information: T: +1 (301) 493 0290 F: +1 (301) 493 0208 E: asprs@asprs.org W: www.asprs.org
1st Intern. Conf. on Remote Sensing Techniques in Disaster Management and Emergency Response in the Mediterranean Region Zadar, Croatia 22-24 September For more information: E: secretariat@earsel.org W: www.earsel.geosat.hr	FOSS4G 2008 Cape Town, South Africa 29 September - 03 October For more information: E: foss4g2008@peoplesa.co.za W: www.foss4g2008.org	ESRI Europe, Middle East & Africa User Conference London, United Kingdom 28-30 October For more information: T: +44 (0) 1296 745666 E: EMEAenquiries@esriuk.com W: www.esriuk.com/emea2008	GEO Tunis 2008 Tunis 26-30 November For more information: E: atigeo_num@yahoo.fr W: www.geotunis.org
	Intergeo 2008 Bremen, Germany 30 September-02 October For more information: T: +49 (721) 9313 3740 F: +49 (721) 9313 3710 E: ofreier@hinte-messe.de W: www.intergeo.de	NOVEMBER Collaborative Mapping & Space Technology Gandhinagar, Gujarat, India 04-06 November For more information: E: yprana@sac.isro.gov.in	

CALL FOR PAPERS

5th GIS Conference(GIS87)

24 November 2008



Overview:

Geospatial Information Technology have offered a great potential to capture data through variety of Earth, and integrate/relate them through their common spatial denominator. They also offer appropriate technology for data management, information extraction, routine manipulation and visualization; however, they lack necessary analytical capabilities to support decision and management processes. For improved decision-making, the required tools, techniques, models and decision-making procedure have to become integrated in a user friendly information processing system called "Integrated Spatial Planning and Decision Support System". This Conference will create a forum to enhance the role of GIS in management activities, such as planning, decision making, monitoring and evaluation of processes supporting sustainable development of resources.

Conference Location:

Islamic Azad University, Nokhbegan Blv., Qazvin, Iran.

Topics:

- Innovations in GIS Technology
- Spatial Data Infrastructure (SDI)
- GIS Softwares
- Interoperable GIS
- Web GIS
- Location Base Services (LBS)
- Cadastre & Land Information System (LIS)
- GIS Applications in Disaster Management, Urban Management , Environment, Land use Planning, ...

Registration:

You can register via Conference website.

(Authors, don't need to registration.)

Registration fee is 100 Euro for International participants (200,000 Rials for local participants). It covers the participation in all conference sessions, proceedings, welcome reception, lunches and coffee breaks during the conference and a half price registration fee is considered for students.

Accommodations, dinner, technical visits and tours will not be included in the registration fee.

Participants will be responsible for their own expenses.

Important Dates:

- Deadline for full papers submission: 22 October 2008
- Acceptance notification of full papers: 8 November 2008
- Early Registration: 12 November 2008
- Conference: 24 November 2008
- Exhibition: 24-26 November 2008

Paper Publication and Submission :

Academicians, professionals and industrialists are kindly invited to submit the electronic copies of their full papers of not more than 10 pages addressing any of the topics through the email (GIS87@ncc.org.ir) or the website (<http://www.GIS87.com>).

The hardcopies of the full papers and proceedings CD-ROM will be available during the conference. All materials can also be downloaded from the National Cartographic Center (NCC) website (www.ncc.org.ir) after the conference.

Organizers:

1. National Cartographic Center
2. Qazvin State Government Office
3. Islamic Azad University- Qazvin



National Cartographic Center
(NCC)



وزارت کشور
استانداری قزوین



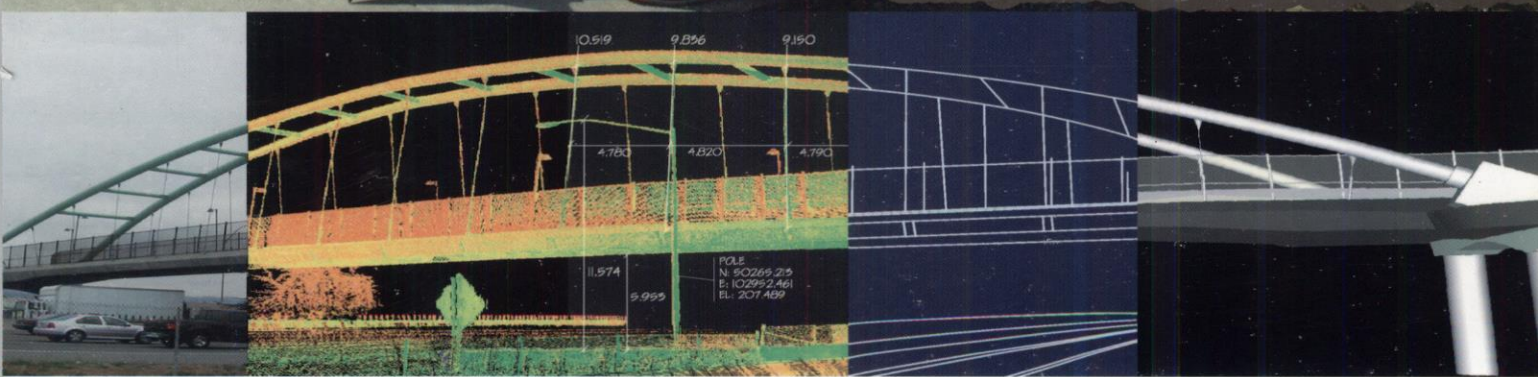
Conference Information:
For further information please visit
the website at
<http://www.GIS87.com>

Postal address:
P.O Box 13185-1684, Meraj Ave.,
Azadi Sq., Tehran, Iran
Telephone:+(98)(21) 66 07 10 70
+(98)(21) 66 07 10 72
Fax: +(98)(21) 66 07 10 00



سریعترین لیزر اسکنر جهان

- سرعت برداشت ۵۰۰۰ نقطه در ثانیه
- دامنه دید وسیع ۳۶۰ درجه
- دقیق ۲mm در فاصله ۵۰ متری پس از پردازش
- برد ۳۰۰ متر - قطر لیزر ۴mm در فاصله ۵ متری
- دارای امکانات تو قال استیشن شامل توجیه، ترفیع و پیمایش
- امکان پیاده کردن نقاط با نور لیزر مرئی سبز رنگ
- کمپانساتور دو محوره دقیق و دوربین دیجیتال داخلی
- مجموعه نرم افزارهای پردازش ابرنقاط Leica cyclone



آدرس : تهران - خ آپادانا - خ مرغاب - خ ایازی - پ ۵

تلفن : ۰۹۱۳-۰۵۵۷۸۸۷۸-۰۹ و ۰۹۱۳-۰۵۵۷۸۸۷۸-۰۹

GEOBITE

www.geobite.com

شرکت ژئوبایت

نماینده اتحادی شرکت لایکائی سوئیس در ایران